

**MASTER**

**Onderzoek naar het geometrisch niet-lineair gedrag van constructies**

Beijers, A.P.A.M.

*Award date:*  
1971

[Link to publication](#)

**Disclaimer**

This document contains a student thesis (bachelor's or master's), as authored by a student at Eindhoven University of Technology. Student theses are made available in the TU/e repository upon obtaining the required degree. The grade received is not published on the document as presented in the repository. The required complexity or quality of research of student theses may vary by program, and the required minimum study period may vary in duration.

**General rights**

Copyright and moral rights for the publications made accessible in the public portal are retained by the authors and/or other copyright owners and it is a condition of accessing publications that users recognise and abide by the legal requirements associated with these rights.

- Users may download and print one copy of any publication from the public portal for the purpose of private study or research.
- You may not further distribute the material or use it for any profit-making activity or commercial gain

Opdracht

Onderzoek naar het geometrisch  
niet-lineair gedrag van  
constructies

A. P. A. M. BEIJERS. WE 71-8

# Inhoud

## Inleiding

- I Beschrijving van het balkelement
- II Niet-lineaire Theorie
- III Oplossingsmethoden voor een stelsel niet-lineaire vergelijkingen
- IV Toepassing van de oplossingsmethodieken voor niet-lineaire stelsels in de elementmethode
- V Het balkelement bij geometrisch niet-lineariteit met de afleiding van  $\frac{\partial \epsilon_i}{\partial u_p}$  en  $\frac{\partial^2 \epsilon_i}{\partial u_p \partial u_p}$
- VI Typische interpretatie van de gebruikte matrices van het balkelement
- VII Beschrijving van het element TRIAX3
- VIII Het element TRIAX3 bij geometrische niet-lineariteit.
- IX Beschrijving van het programma 05064600
- X Lineaire Stabiliteit.
- XI Resultaten en opmerkingen

## APPENDIX I Grafieken

- II  $\int_{\bar{x}=0}^{\bar{x}=\bar{x}_0} \left(\frac{d\bar{w}}{d\bar{x}}\right)^2 d\bar{x}$
- III procedure CHOLBD beschrijving
- IV methode om  $\epsilon_2$  en  $\epsilon_3$  continue functies van de verplaatsingen te maken.
- V afleiding  $\frac{\partial \epsilon_i}{\partial u_p}$ ,  $\frac{\partial^2 \epsilon_i}{\partial u_p \partial u_p}$ ,  $\frac{\partial^2 \epsilon_q}{\partial u_p \partial u_p}$  en  $\frac{\partial^2 \chi_{2q}}{\partial u_p \partial u_p}$  van TRIAX3
- VI Computerprogramma's

## Literatuurlijst

- I Het in rekening van particuliere oplossingen bij ANA-elementen.  
D.H. van Campen en C.H. Hencken.  
PRGL-ANA-R70-1 KR-273
- II Het het,, IUTAM Symposium on High Speed Computing  
of elastic structures - Liege - Belgium  
25 August 1970  
de volgende delen:
- 1) Geometrically nonlinear static and dynamic  
analysis of shells of revolution  
James A. Stricklin
  - 2) Effective use of the incremental stiffness matrices  
in nonlinear geometric analysis.  
G.A. Delpuis, D.D. Hoffinger, P.V. Marcal
  - 3) Geometrically nonlinear structural analysis by  
the direct stiffness method  
J.A. Stricklin, W.E. Haibler, W.P. von Riesenmann
- III Stabiliteitsonderzoek A.P.R.H. Beijers  
WE 71-5
- IV Collegecursus Technische Mechanica III  
Prof. ir. W.L. van Meijers
- V Numerieke Methoden in de Mechanica dr. ir. J.D. Janssen
- VI Recent advances in matrix methods of structural  
analysis  
J.H. Bergyris.  
pergamon press N.Y. 1964
- VII Numeriek spanningen en billingsonderzoek  
9-13 sept. 1968  
Lergang te Delft.

VIII Matrix methods in structural mechanics  
J.S. Przemieniecki, R.H. Bader, W.F. Bozich,  
J.R. Johnson, W.J. Mykytow.

IX Journal of the structural division  
"Numerical formulation of nonlinear elasticity  
problem" by T. Oden (June 1967)

X International journal for numerical methods in  
engineering, vol. 2, 229-241 (1970)  
"Finite element solution to an elastica  
problem of beams."  
J. Tada, G. L. Lee.

XI Colloquium Elastische elementen Prof. dr. ir. J. R. Haringa.

## Inleiding

Als afsluideropdracht heb ik in de groep Technische Mechanica een onderzoek ingesteld naar het geometrisch niet-lineaire gedrag van constructies. Deze opdracht is uitgewerkt in een computerprogramma voor geometrisch niet-lineaire balkconstructies. Het verslag behandelt verder de afleiding van het lineaire en het geometrisch niet-lineaire balkelement. Tijdens het onderzoek bleek, dat het probleem zich hoofdzakelijk rond de oplossingsmethodieken voor stelsels niet-lineaire vergelijkingen toespitste, vandaar dat hiernaan een hoofdstuk gewijd is, met daaropvolgend een hoofdstuk over de toepassing van deze methodieken in de methode der eindige elementen. In de berekende voorbeelden zijn een aantal reeds in de literatuur bekende problemen geverifieerd. Ten slotte wordt nog een hoofdstuk gewijd aan de stabiliteit van balkconstructies in het lineaire gebied. Het verslag wordt besloten met de afleiding van het lineaire rotatorisch symmetrische element TRIAX3 en een afleiding van het geometrisch niet-lineaire TRIAX3 element.

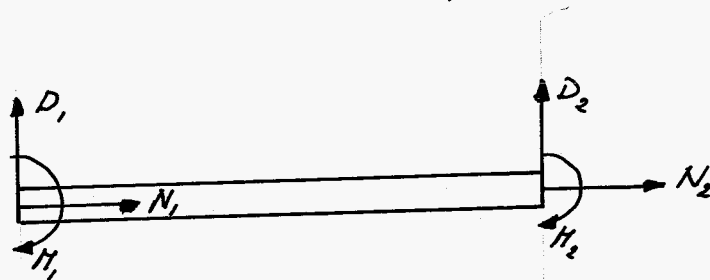
## I Beschrijving van het balkelement

We beschouwen een balk met constante dwarsdoorsnede, waarvan de hoofdraagheidsas met het kleinste oppervlakte-traagheidsmoment loodrecht op het vlak van rekening staat. Verder maken we gebruik van de klassieke balkentheorie, zodat de hypothese van Bernoulli geldig blijft. De belastingen en de verplaatsingen treden alleen in het vlak van rekening op. Uit voorgaande aannames volgt, dat de verplaatsingen van de uiteinden van het balkelement, de knooppunten, klein moeten zijn. We definiëren de verplaatsingsvektor  $u$  als volgt:



$$u = [u_1, w_1, \psi_1, u_2, w_2, \psi_2]$$

Verder definiëren we de belastingvektor van het element als volgt:



$$f = [N_1, D_1, H_1, N_2, D_2, H_2]$$

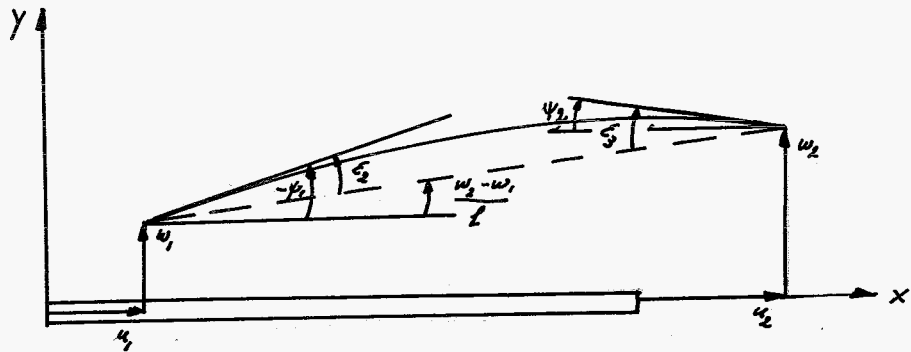
Uit deze definitie voor de belastingvektor blijkt, dat we het element uitsluitend met krachtgrootheden in de knooppunten kunnen belasten. Willen we bijvoorbeeld een gelijkmatige belasting in rekening brengen, dan moeten we deze door equivalente knooppuntkrachten vervangen. (zie litt. I). Deze knooppuntkrachten moeten dan eindelijk de hoeveelheid arbeid verrichten dan de gelijkmatige belasting.

Omdat we een twee-dimensionaal balkelement bestuderen zijn we in staat om door middel van 3 rek- en 3-spanningsgrootheden het geheel te beschrijven, de zogenaamde gegeneraliseerde spannings- en rekgrootheden. De gegeneraliseerde rekgrootheden worden als volgt gedefinieerd:

$$\epsilon_1 = u_2 - u_1$$

$$\epsilon_2 = -\psi_1 - \frac{w_2 - w_1}{l} \quad (I1)$$

$$\epsilon_3 = \psi_2 + \frac{w_2 - w_1}{l}$$



De rekvektor heeft de volgende gedaante:

$$\epsilon' = [\epsilon_1 \quad \epsilon_2 \quad \epsilon_3]$$

We gaan nu op het balkelement het principe van minimale potentiële energie toepassen. Volgens de klassieke theorie kunnen we de inwendige elastische energie ten gevolge van normaalkracht en buigend moment als volgt opschrijven:

$$U = \int_{x=0}^l \left[ \frac{EI}{2} \left( \frac{d^2 w}{dx^2} \right)^2 + \frac{EF}{2} \left( \frac{du_2}{dx} \right)^2 \right] dx$$

$w$  = het verplaatsingsveld in  $y$ -richting van het element  
 $u_2$  = het verplaatsingsveld in  $x$ -richting van het element

Voor de potentiaal voor de uitwendige krachten kunnen we, met voorgaande belasting- en verplaatsingsvektor,



schrijven als het product van:

$$f \cdot u$$

Totaal verkrijgen we nu voor de potentiële energie de volgende uitdrukking:

$$V = \int_{x=0}^{x=l} \left[ \frac{EI}{2} \left( \frac{d^2 w}{dx^2} \right)^2 + \frac{EF}{2} \left( \frac{du_2}{dx} \right)^2 \right] dx - \int f u \quad (I_2)$$

We nemen nu voor de verplaatsingsvelden  $u_2$  en  $w$  de volgende polynomen aan:

$$u_2 = a_1 + a_2 x$$

$$w = a_3 + a_4 x + a_5 x^2 + a_6 x^3$$

Deze verplaatsingsvelden moeten aan de volgende randvoorwaarden voldoen:

$$\begin{array}{ll} x=0 & u_2 = u_1 \\ & w = w_1 \\ & \frac{dw}{dx} = -\psi_1 \\ x=l & u_2 = u_2 \\ & w = w_2 \\ & \frac{dw}{dx} = -\psi_2 \end{array}$$

We kunnen nu de verplaatsingsvelden als volgt schrijven

$$w = w_1 \left\{ 1 - \frac{x}{l} \right\} + w_2 \frac{x}{l} + \varepsilon_2 x \left\{ 1 - \frac{x}{l} \right\}^2 + \varepsilon_3 \frac{x^2}{l} \left\{ 1 - \frac{x}{l} \right\}$$

$$u_2 = u_1 + \varepsilon_1 \frac{x}{l}$$

Met behulp van de uit de klassieke theorie bekende relaties

$$N = EF \left( \frac{du_2}{dx} \right)$$

$$M = -EI \frac{d^2 w}{dx^2}$$

kunnen we de gegeneraliseerde

Spanningsvector als volgt definiëren:

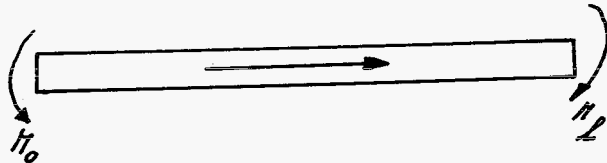
$$N = EF \frac{\epsilon_1}{L}$$

$$M_{x=0} = M_0 = -EI \left\{ -\frac{4\epsilon_2}{L} + \frac{2\epsilon_3}{L} \right\} \quad (I3)$$

$$M_{x=L} = M_L = -EI \left\{ \frac{2\epsilon_2}{L} - \frac{4\epsilon_3}{L} \right\}$$

de spanningsvector:  $\sigma = [N \ M_0 \ M_L]$

De knoopafspraken zijn als volgt:

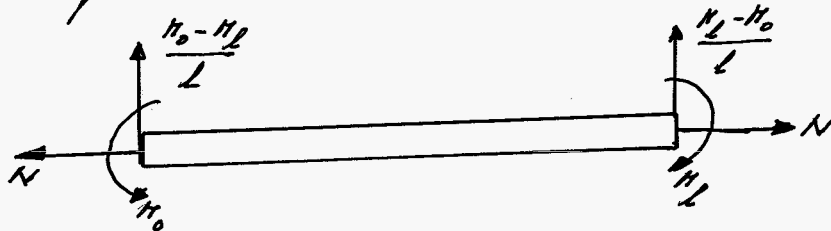


De berekening van de dwarskracht in het element geschiedt met de klassieke relatie

$$\frac{dM}{dx} = D$$

$$D = \frac{M_L - M_0}{L}$$

De knooppuntskrachten zijn nu als volgt met de spanningsvector  $\sigma$  te berekenen:



We kunnen relatie (I3) ook in matrixvorm schrijven:

$$\sigma = S \epsilon \quad (I4)$$

$$S = \begin{bmatrix} \frac{EF}{L} & 0 & 0 \\ 0 & \frac{4EI}{L} & -\frac{2EI}{L} \\ 0 & -\frac{2EI}{L} & \frac{4EI}{L} \end{bmatrix}$$

Met behulp van formule (I4) zijn we in staat om de spanningen te berekenen, als de rekken bekend zijn. De rekken kunnen we uit de verplaatsingsvektor  $u$  met (I1) berekenen. De verplaatsingsvektor  $u$  berekenen we uit de relatie

$$Q_e u = f \tag{I5}$$

waarin  $Q_e$  de stijfheidsmatrix van het element is, welke we hierna uit het principe van minimale potentiële energie zullen afleiden.

$$\delta V = 0$$

$$\int_{x=0}^{x=L} \left[ EI \frac{d^2 w}{dx^2} \delta \left( \frac{d^2 w}{dx^2} \right) + EF \frac{du_2}{dx} \delta \left( \frac{du_2}{dx} \right) \right] dx - f \delta u = 0$$

In eerste instantie gaan we nu  $\delta \left( \frac{d^2 w}{dx^2} \right)$  en  $\delta \left( \frac{du_2}{dx} \right)$  nader bekijken:

$$\delta \left( \frac{d^2 w}{dx^2} \right) = \frac{d}{dE} \left( \frac{d^2 w}{dx^2} \right) \delta E = \frac{d}{dE} \left( \frac{d^2 w}{dx^2} \right) \frac{\partial E}{\partial u} \delta u \tag{I6}$$

$$\delta \left( \frac{du_2}{dx} \right) = \frac{d}{dE} \left( \frac{du_2}{dx} \right) \delta E = \frac{d}{dE} \left( \frac{du_2}{dx} \right) \frac{\partial E}{\partial u} \delta u$$

We zijn in staat om formule (I6) in matrixnotatie als volgt te schrijven:

$$\delta \left( \frac{d^2 w}{dx^2} \right) = \begin{bmatrix} 0 & \frac{6x}{L^2} - \frac{4}{L} & -\frac{6x+2}{L} + \frac{2}{L} \end{bmatrix} \frac{\partial E}{\partial u} \delta u$$
$$\delta \left( \frac{du_2}{dx} \right) = \begin{bmatrix} \frac{1}{L} & 0 & 0 \end{bmatrix} \frac{\partial E}{\partial u} \delta u$$

met  $\frac{\partial E}{\partial u}$  de volgende matrix:

$$\frac{\partial E}{\partial u} = \begin{bmatrix} -1 & 0 & 0 & 1 & 0 & 0 \\ 0 & \frac{1}{L} & -1 & 0 & -\frac{1}{L} & 0 \\ 0 & -\frac{1}{L} & 0 & 0 & \frac{1}{L} & 1 \end{bmatrix} \tag{I7}$$

11

Substitutie in formule van minimale potentiële energie levert de volgende betrekking:

$$\int_{x=0}^L EI \varepsilon^2 \begin{bmatrix} 0 \\ \frac{6x-y}{l^2} \\ \frac{-6x+y}{l^2} \end{bmatrix} \begin{bmatrix} 0 & \frac{6x-y}{l^2} & -\frac{6x+y}{l^2} \\ & 1 & 1 \\ & & 1 \end{bmatrix} + EF \begin{bmatrix} \frac{1}{l} \\ 0 \\ 0 \end{bmatrix} \begin{bmatrix} \frac{1}{l} & 0 & 0 \end{bmatrix} \delta u = \int \delta u$$

oftewel:

$$\varepsilon \int EI \frac{\partial \varepsilon}{\partial u} \delta u = \int \delta u$$

$$\varepsilon \int EI \frac{\partial \varepsilon}{\partial u} = \int \delta u \quad (I 8)$$

Tenslotte zijn we in staat om het verband tussen de rekken en de verplaatsingen te leggen met relatie (I 1)

$$\varepsilon = C u \quad (I 9)$$

De matrix  $C$  heeft precies dezelfde gedaante als de matrix  $\frac{\partial \varepsilon}{\partial u}$ , hetgeen te verklaren is uit het lineair blijven van de relatie (I 1).

Relatie (I 8) kunnen we nu als volgt schrijven:

$$u^T C^T S C = \int$$

$$C^T S C u = \int \quad (I 10)$$

Relatie (I 10) is de gezochte relatie tussen belasting- en verplaatsingsvektor. De stijfheidsmatrix  $Q_e$  is nu gedefinieerd als:

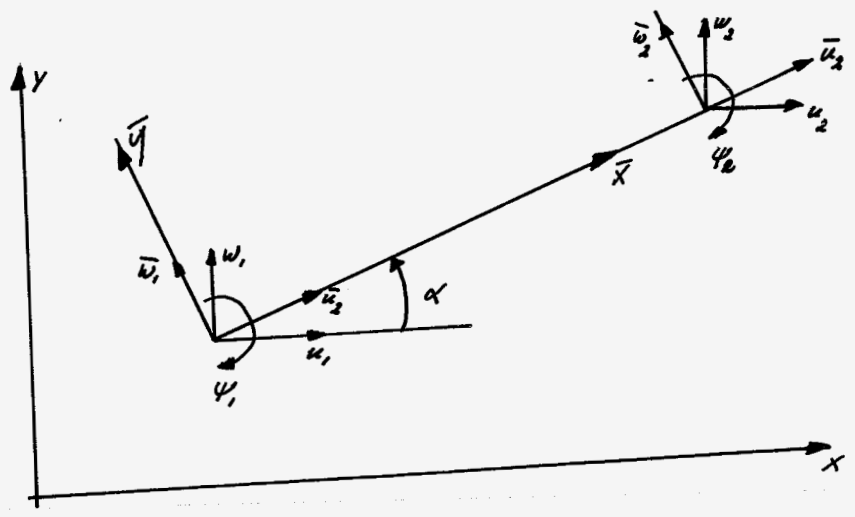
$$Q_e = C^T S C$$

dit alleen geldt voor een balk-element, waarvan de staafas samenvalt met de x-as.

$$Q_e = \begin{bmatrix} S_1 & 0 & 0 & -S_1 & 0 & 0 \\ & 12S_2 & -6S_2L & 0 & -12S_2 & -6S_2L \\ & & 4S_2L^2 & 0 & 6S_2L & 2S_2L^2 \\ & & & S_1 & 0 & 0 \\ & & & & 12S_2 & 6S_2L \\ & & & & & 4S_2L^2 \end{bmatrix}$$

$$S_1 = \frac{EF}{L} \quad S_2 = \frac{EI}{L^3}$$

In het <sup>(algemeen)</sup> zal de staafas van het balkelement niet met de x-as van het globale assensysteem samen vallen. We voeren dan een transformatie uit. We nemen aan, dat het element een hoek  $\alpha$  met de positieve globale x-as maakt.



Stel nu dat de verplaatsingsvektor u, dit is de verplaatsingsvektor t.o.v. het globale assensysteem, bekend is. Willen we om de richvektor te bepalen relatie (I) hanteren, dan moeten we de verplaatsingsvektor u transformeren naar het lokale x̄-ȳ-assensysteem.

$$\bar{u} = T u \quad (I'')$$

$$T = \begin{bmatrix} \cos \alpha & \sin \alpha & 0 & 0 & 0 & 0 \\ -\sin \alpha & \cos \alpha & 0 & 0 & 0 & 0 \\ 0 & 0 & 1 & 0 & 0 & 0 \\ 0 & 0 & 0 & \cos \alpha & \sin \alpha & 0 \\ 0 & 0 & 0 & -\sin \alpha & \cos \alpha & 0 \\ 0 & 0 & 0 & 0 & 0 & 1 \end{bmatrix}$$

Passen we relatie (I9) op het lokale assensysteem toe dan verkrijgen we:

$$\bar{E} = C \bar{u}$$

$$\bar{E} = C T u$$

mits s.o.v. globale assensysteem als volgt kunnen schrijven: <sup>nodat we de stijfheidsma-</sup>

$$T^T C^T C T u = f.$$

$$\text{of: } Q u = f.$$

(I 12)

(I12) is de relatie tussen belasting- en verplaatsingsvektor s.o.v. globale assensysteem.

## II Niet-Lineaire Theorie

Ovenricht van uitwendige belastingen en inwendige spanningen wordt gekarakteriseerd door gelijkheid van uitwendige arbeid en inwendige arbeid bij willekeurige kinematisch toelaatbare randvoorwaarden.

$$\int_V \bar{\sigma}_{ij} \delta \epsilon_{ij} dV = \int_V f_i \delta u_i dV + \int_A p_i \delta u_i dA$$

Passen we deze virtuele arbeidvergelijking uit de continuummechanica toe op het discrete model van de constructie, die we uit een aantal elementen samengesteld denken, dan verkrijgen we:

$$\sum_{k=1}^N \bar{\sigma}_{ij}^k \delta \epsilon_{ij}^k = \int_k f_k \delta u_k \quad (\text{II } 1)$$

In dit hoofdstuk zullen we ons beperken tot het beschrijven van een element:

$$\bar{\sigma}_{ij} \delta \epsilon_{ij} = f_i \delta u_i$$

Stel nu, dat we de relatie tussen verplaatsingsvektor en rekvektor kennen, dan kunnen we de volgende relatie afleiden:

$$\epsilon_i = \epsilon(u_p) \quad p=1 \dots 6 \quad i=1 \dots 3$$

$$\delta \epsilon_i = \frac{\partial \epsilon_i}{\partial u_p} \delta u_p$$

$$\bar{\sigma}_i \frac{\partial \epsilon_i}{\partial u_p} \delta u_p = f_p \delta u_p \quad (\text{II } 2)$$

Formule (II 2) is een algemene relatie, die we in principe voor allerlei niet-lineaire problemen kunnen toepassen.

Bestuderen we het lineaire elastische element, dan

kunnen we de volgende relaties opschrijven voor een element:

- 1) Het verband tussen de rekvektor en de verplaatsingsvektor is lineair en wordt gekarakteriseerd door een "overdrachtsmatrix"  $D$

$$\varepsilon_i = D_{ij} u_j \quad j=1 \dots 6$$

- 2) Bovendien weten we, dat het verband tussen de gegeneraliseerde rekken en spanningen ook lineair is:

$$\sigma_i = S_{ij} \varepsilon_j \quad i=1 \dots 3 \quad j=1 \dots 3$$

Substitueren we voorgaande relaties in (I 2), de algemene virtuele arbeidsvergelijking, dan verkrijgen we de reeds bekende betrekking (I 8)

$$\varepsilon_i S_{ij} \frac{d\varepsilon_j}{du_p} = f_p \quad i=1 \dots 3 \quad j=1 \dots 3 \quad p=1 \dots 6$$

Om het niet-lineaire gedrag van de constructie te bestuderen maken we onderscheid tussen 2 vormen van niet-lineair gedrag:

Ⓐ fysische niet-lineariteit.

Dit kan zijn, met lineair gedrag bij kleine vervormingen, zoals kruip, plasticiteit, en niet-lineair gedrag bij grote vervormingen, zoals rubberelasticiteit, grote plastische deformatie.

Ⓑ Geometrische niet-lineariteit

Bij geometrische niet-lineariteit gaan kleine vervormingen gepaard met grote verplaatsingen, terwijl de lineaire relatie tussen de gegeneraliseerde rek- en spanninggrootheden gehandhaafd blijft.

Wij beperken ons tot geometrische niet-lineariteit. Zoals gezegd blijft de relatie

$$\sigma_i = S_{ij} \varepsilon_j \quad \text{geldig.}$$



Het verband tussen rekken en verplaatsingen mag niet meer gelineariseerd worden nodat geldt:

$$\delta \varepsilon_i = \frac{\partial \varepsilon_i}{\partial u_p} \delta u_p$$

Substitutie in (II 2) levert:

$$\varepsilon_i s_{ij} \frac{\partial \varepsilon_j}{\partial u_p} = f_p \quad (\text{II 3})$$

Formule (II 3) is een stel niet-lineaire vergelijkingen voor een element, dat het geometrische niet-lineair gedrag van dat element beschrijft.

Voor de gehele constructie geldt:

$$\sum_{k=1}^N \varepsilon_i s_{ij} \frac{\partial \varepsilon_j}{\partial u_p} = f_k \quad (\text{II 4})$$

$$i = 1 \dots 3$$

$$j = 1 \dots 3$$

$$p = 1 \dots 6$$

$$k = 1 \dots \text{aantal vrijheidsgraden van de constructie.}$$

### III Oplossingmethoden voor een stelsel niet-lineaire vergelijkingen.

In literatuur (II) worden verschillende methodes aangegeven hoe men een niet-lineair stelsel vergelijkingen kan oplossen. We zullen in dit hoofdstuk de verschillende methodes behandelen.

#### a) De Newton-Raphson methode.

Stel het stelsel niet-lineaire vergelijkingen heeft de volgende gedaante.

$$\begin{aligned} F_1(x_1, \dots, x_n) &= b_1 \\ F_2(x_1, \dots, x_n) &= b_2 \\ &\vdots \\ F_n(x_1, \dots, x_n) &= b_n \end{aligned} \quad (\text{III } 1)$$

$$A_{NL}(x_p) = b_\alpha \quad (\text{III } 2)$$

$A_{NL}$  = niet-lineaire matrix  
 $b_\alpha$  = voorgeschreven rechterlid  
 $x_p$  = de onbekende vektor.

We schrijven nu voor het stelsel (III 2)

$$E_\alpha = A_{NL}(x_p) - b_\alpha \quad (\text{III } 3)$$

Formule (III 3) zal dan slechts gelijk aan nul zijn, als we voor de vektor  $x_p$  de exacte oplossing hebben gevonden. Stel dat we deze kennen, dan willen we de oplossing kennen voor een kleine stap verder in de voorgeschreven vektor  $b_\alpha$ . Hiervoor gaan we formule (III 3) in een Taylorreeks ontwikkelen.

$$\begin{aligned} E_\alpha + \Delta E_\alpha &= E_\alpha + \frac{\partial E_\alpha}{\partial x_q} \Delta x_q + \dots \\ &= A_{NL}(x_p) - b_\alpha + \frac{\partial A_{NL}(x_p)}{\partial x_q} \Delta x_q + \dots \quad (\text{III } 4) \end{aligned}$$

Vergelijking (III 4) moet voor de exacte oplossing voor  $x_p$  gelijk aan nul zijn.

$$\frac{\partial F_{NL}(x_p)}{\partial x_q} \Delta x_q = b_\alpha - F_{NL}(x_p) \quad (\text{III } 5)$$

Met formule (III 5) zijn we nu in staat om het niet-lineaire stelsel voor een bepaalde vektor  $b$  op te lossen. De werkwijze gaat dan als volgt:

- 1) Kies een startwaarde  $x_0$ .
- 2) Los (III 5) op voor deze waarde  $x_0$ .
- 3) Los stelsel (III 5) dan weer op voor  $x_1 = x_0 + \Delta x$ .  
 $\Delta x$  is de correctie op  $x_0$  gevonden met
 
$$\Delta x = \left[ \left( \frac{\partial F_{NL}(x_p)}{\partial x_q} \right)_{x_0} - b_\alpha \right] * \frac{-1}{\frac{\partial F_{NL}(x_p)}{\partial x_q}}$$
- 4) etc.

Het zal duidelijk zijn, dat het hiervoor beschreven proces een iteratief proces is, waarbij bij iedere iteratiestap de term  $\frac{\partial F_{NL}}{\partial x_q}$  als constant wordt beschouwd.

## b) "Incremental approach"

Hierbij lossen we het stelsel (III 2) op, door de vektor  $b_\alpha$  stapsgewijs op te bouwen met een vektor  $\Delta b_\alpha$  en de bij deze incrementvektor behorende  $\Delta x_q$  te bepalen.

We gaan weer uit van het stelsel (III 2)

$$F_{NL}(x_p) = b_\alpha$$

$$F_{NL}(x_p + \Delta x_p) = b_\alpha + \Delta b_\alpha$$

$$F_{NL}(x_p) + \frac{\partial F_{NL}(x_p)}{\partial x_q} \Delta x_q = b_\alpha + \Delta b_\alpha$$

$$F_{NL}(x_p) - b_\alpha = 0$$

$$\frac{\partial F_{NL}(x_p)}{\partial x_q} \Delta x_q = \Delta b_\alpha$$

Stel nu dat we  $n$  stappen gedaan hebben, dan verkrijgen we:

$$\left\{ \frac{\partial F_{NL}(x_p)}{\partial x_q} \right\}_{x_p = x_p^n} \Delta x_q = \Delta b_\alpha \quad (\text{III 6})$$

Het increment  $\Delta b_\alpha$  hoeft in principe niet constant te blijven. De oplossing wordt:

$$x_p^{n+1} = x_p^n + \Delta x_q$$

### c) De gemodificeerde Newton-Raphson methode

Deze methode is een combinatie tussen de "Newton-Raphson" en de "incremental approach". We schrijven nu de oorspronkelijke relatie in een zodanige vorm, dat bij elk increment een slag Newton-Raphson wordt uitgevoerd, oftewel bij elk increment een iteratieslap.

$$F_{NL}(x_p) = b_\alpha$$

$$F_{NL}(x_p) + \frac{\partial F_{NL}(x_p)}{\partial x_q} \Delta x_q = b_\alpha + \Delta b_\alpha$$

$$\frac{\partial F_{NL}(x_p)}{\partial x_q} \Delta x_q = \Delta b_\alpha + b_\alpha - F_{NL}(x_p)$$

We schrijven voorgaande formule weer na  $n$  stappen op:

$$\left\{ \frac{\partial F_{NL}(x_p)}{\partial x_q} \right\}_{x_p = x_p^n} \Delta x_q = \Delta b_\alpha + \left\{ b_\alpha \right\}_n - \left\{ F_{NL}(x_p) \right\}_{x_p = x_p^n} \quad (\text{III 7})$$

De oplossing na  $n$  stappen is nu:

$$b_n = \sum_{i=1}^n \Delta b_i$$

$$x_n = \sum_{i=1}^n \Delta x_i$$

Het zal duidelijk zijn, dat na  $n$  stappen de relatie  $F_{NL}(x_p) - b_d$  niet gelijk aan nul is, omdat het een benaderingsmethode is. Als we nu dit verschil berekenen en als correctie bij het volgende increment in de voorgeschreven vektor  $b_d$  toevoegen, dan is dit de slag Newton-Raphson.

IV Toepassing van de oplossingsmethodieken voor niet-lineaire stelsels in de elementenmethode

In hoofdstuk II is gesteld, dat we ons zullen beperken tot geometrisch niet-lineaire problemen. We worden daar het volgende stelsel, genoteerd met indexnotatie:

$$\sum_{k=1}^N \epsilon_i s_{ij} \frac{\partial \epsilon_j}{\partial u_p} = f_k \quad (IV 1)$$

We zullen nu de oplossingsmethodieken zoals beschreven in hoofdstuk III toepassen op dit stelsel. Voor elke methode is een computerprogramma gemaakt, aan de hand waarvan de beslissing is genomen welke methode voldoende nauwkeurige resultaten geeft.

a) "Incremental approach"

Het niet-lineaire stelsel heeft nu de volgende gedaante

$$\left\{ \sum_{k=1}^N \epsilon_i s_{ij} \frac{\partial \epsilon_j}{\partial u_p} \right\} = f_k$$

De incrementale vergelijking wordt nu:

$$\left\{ \sum_{k=1}^N \frac{\partial \epsilon_i}{\partial u_q} s_{ij} \frac{\partial \epsilon_j}{\partial u_p} + \epsilon_i s_{ij} \frac{\partial^2 \epsilon_j}{\partial u_q \partial u_p} \right\}_{u_k = u_k^n} \Delta u_k = \Delta f_k$$
  

$$\left\{ \sum_{k=1}^N \frac{\partial \epsilon_i}{\partial u_q} s_{ij} \frac{\partial \epsilon_j}{\partial u_p} + \sigma_j \frac{\partial^2 \epsilon_j}{\partial u_q \partial u_p} \right\}_{u_k = u_k^n} \Delta u_k = \Delta f_k \quad (IV 2)$$
  
*i=1...3, j=1...3, p=1...6, q=1...6, k=1... vrijheidsgraden*

Aan de verschillende componenten in deze vergelijking zal in hoofdstuk V aandacht worden besteed.

b) De "gemodificeerde Newton-Raphson" methode

Het stelsel (IV 1) kunnen we nu met behulp van formule (III 7) als volgt schrijven:

$$\left\{ \sum_{k=1}^N \frac{\partial \varepsilon_i}{\partial u_q} s_{ij} \frac{\partial \varepsilon_j}{\partial u_p} + \sigma_j \frac{\partial \varepsilon_j}{\partial u_q \partial u_p} \right\}_{u_k = u_k^n} \Delta u_k = \Delta f_k + f_k^n - \left\{ \sum_{k=1}^N \varepsilon_i s_{ij} \frac{\partial \varepsilon_j}{\partial u_p} \right\}_{u_k = u_k^n} \quad (IV 3)$$

In deze formule is  $f_k^n$  de belastingvektor na  $n$  stappen.

Ook hier zal in hoofdstuk V aandacht besteed worden aan de componenten.

### c) De "Newton-Raphson" methode

In deze laatste methode is in principe het stapsgewijs proces verdwenen. De uitwendige belastingvektor wordt in één keer aangebracht en we itereren naar de verplaatsingsvektor  $u_k$  met de volgende formule:

$$\left\{ \sum_{k=1}^N \frac{\partial \varepsilon_i}{\partial u_q} s_{ij} \frac{\partial \varepsilon_j}{\partial u_p} + \sigma_j \frac{\partial \varepsilon_j}{\partial u_q \partial u_p} \right\}_{u = u_k^t} \Delta u_k = f_k - \left\{ \sum_{k=1}^N \varepsilon_i s_{ij} \frac{\partial \varepsilon_j}{\partial u_p} \right\}_{u = u_k^t} \quad (IV 4)$$

$u_k^t$  = verplaatsingsvektor van de constructie na  $t$  iteratiestappen.

Deze Newton-Raphson methode, waarbij de uitwendige belasting in één keer wordt opgebracht, levert in het algemeen moeilijkheden op, omdat het iteratieproces divergeert. Om dit te voorkomen, brengen we de uitwendige belasting nu ook in een aantal stappen aan, waarbij na elke stap geïtererd wordt naar de exakte oplossing. Is de benadering voldoende nauwkeurig, dat wil zeggen, dat het verschil

$$f_k - \left\{ \sum_{k=1}^N \varepsilon_i s_{ij} \frac{\partial \varepsilon_j}{\partial u_p} \right\}_{u = u_k^{n,t}} \quad \text{voldoende dicht bij nul ligt, dan eindigt het iteratieproces.}$$

$u_k^{n,t}$  = verplaatsingsvektor van de constructie na  $n$  stappen in de belastingvektor en  $t$  iteratiestappen na de laatste belastingstap

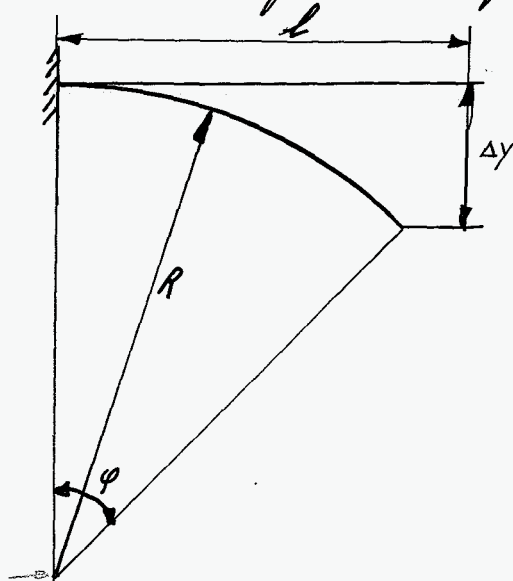
De toelatable afwijkingen kan men zelf bepalen. Als aan de hiervoor gestelde criteria wordt voldaan, dan wordt de uitwendige belasting met een stap verhoogd.

$$f_k^{n+1} = f_k^n + \Delta f_k$$

Volledigheidshalve moet nog opgemerkt worden, dat de incrementele belastingvectoren niet voor elke stap dezelfde grootte behoeft te hebben. In het computerprogramma, dat in hoofdstuk VIII beschreven zal worden, is de grootte van het increment afhankelijk gesteld van het aantal iteratiestappen dat na elke stap uitgewoerd moet worden. In appendix I GRAF. n<sup>o</sup> I zijn de resultaten van de hiervoor beschreven oplossingsmethoden vergeleken aan de hand van een voorbeeld, wat exact berekend kan worden.



Het voorbeeld bestond uit een eenvoudig ingeklemde balk, welke door een uitwendig moment wordt belast. We weten dat de balk t.g.v. het buigend moment volgens een cirkelboog uitbuigt.





$$\Delta y = R - R \cos \varphi$$

$$\varphi = \frac{l}{R}$$

$$\pi = -EI \kappa = -\frac{EI}{R}$$

$$\Delta y = -\frac{EI}{\pi} (R - R \cos \varphi)$$

Wij hebben nu 2 controle-mogelijkheden:

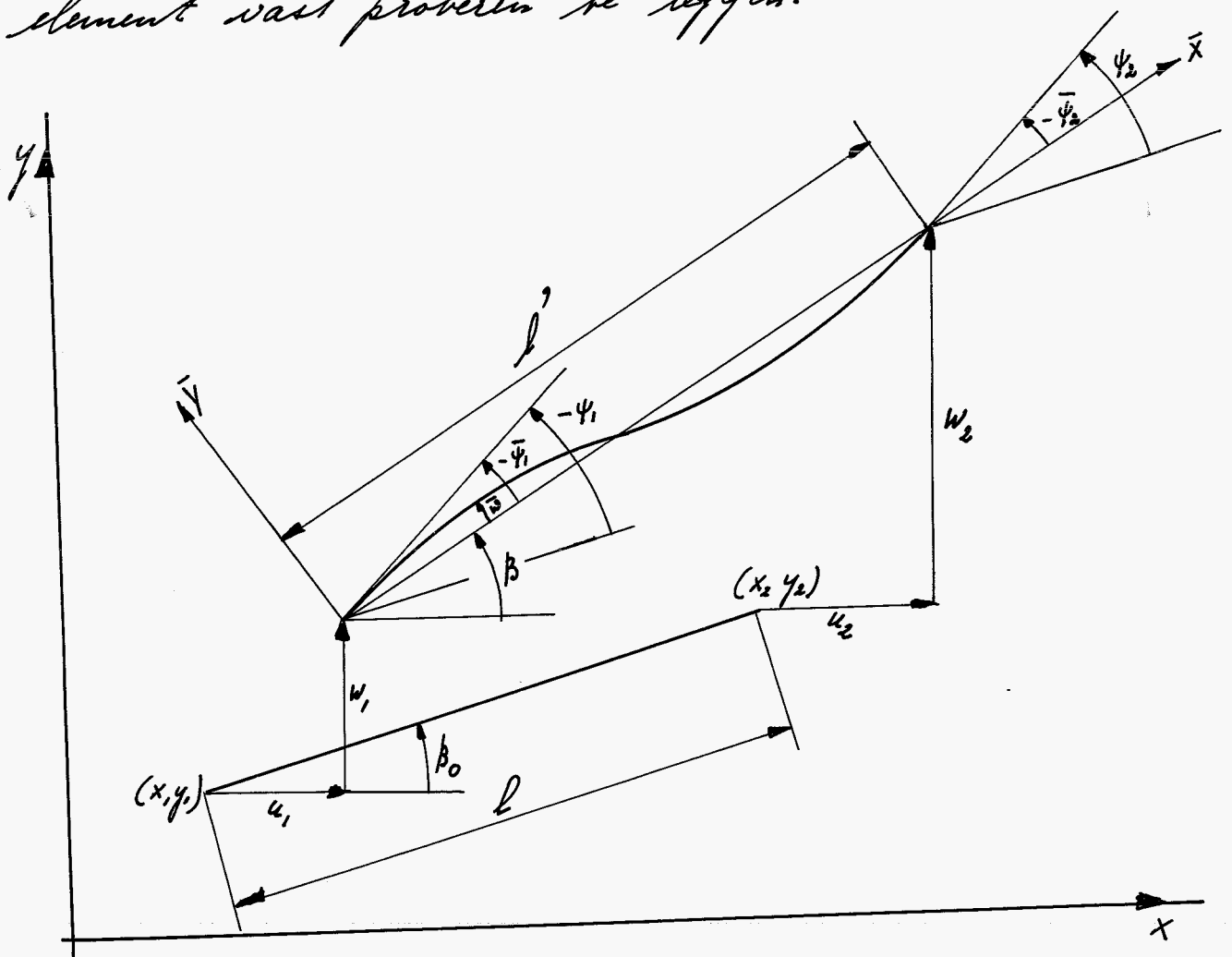
- 1) De exakte  $\Delta y$  vergelijken met de benaderde  $\Delta y$  uit de verschillende oplossingsmethodes.
  - 2) Verder kunnen we controleren of de knooppunten van de elementen allemaal op een cirkel liggen.
- Deze controles zijn gedaan voor de verschillende oplossingsmethodes en het bleek dat de Newton-Raphson methode inderdaad de exakte oplossing benaderde, terwijl de andere 2 methodes steeds verder van de exakte waarde gingen afwijken. Op grond hiervan is besloten om het Newton-Raphson proces toe te passen.

V Het balkelement bij geometrisch niet-lineariteit  
met de afleiding van  $\frac{\partial \epsilon_i}{\partial u_p}$  en  $\frac{\partial^2 \epsilon_i}{\partial u_q \partial u_p}$ .

Bij geometrische niet-lineariteit blijven de rekspanningsrelaties

$$\sigma = S \epsilon$$

lineair, terwijl de rekken geen lineaire functies meer van de verplaatsingen zijn. We moeten dus in eerste instantie de niet-lineaire relaties tussen rekken en verplaatsingen van het element vast proberen te leggen.



We definiëren nu de rekgrootheden als volgt:

$$\epsilon_1 = \left[ (x_2 - x_1 + u_2 - u_1)^2 + (y_2 - y_1 + w_2 - w_1)^2 \right]^{1/2} + \frac{1}{2} \int_{\bar{x}=0}^{l'} \left( \frac{d\bar{w}}{d\bar{x}} \right)^2 d\bar{x} - l \quad (V_1)$$

$$\epsilon_2 = \left[ -\psi_1 + \arctan \frac{y_2 - y_1}{x_2 - x_1} - \arctan \frac{y_2 - y_1 + w_2 - w_1}{x_2 - x_1 + u_2 - u_1} \right]$$

$$\varepsilon_3 = \left[ \psi_2 - \arctan \frac{y_2 - y_1}{x_2 - x_1} + \arctan \frac{y_2 - y_1 + w_2 - w_1}{x_2 - x_1 + u_2 - u_1} \right]$$

$\bar{w}$  is het verplaatsingsveld van het balkelement in de  $\bar{y}$ -richting van het  $\bar{x}$ - $\bar{y}$  assenkruis.

Wij zijn in staat om  $\int_{\bar{x}=0}^{\bar{x}=\bar{l}} \left( \frac{d\bar{w}}{d\bar{x}} \right)^2 d\bar{x}$  in de componenten van de verplaatsingsvector  $u$  van het element uit te drukken, zie appendix II.

$$\frac{1}{2} \int_{\bar{x}=0}^{\bar{x}=\bar{l}} \left( \frac{d\bar{w}}{d\bar{x}} \right)^2 = \frac{\bar{l}}{30} \left[ 2\bar{\psi}_1^2 - \bar{\psi}_1 \bar{\psi}_2 + 2\bar{\psi}_2^2 \right]. \quad (\text{V2})$$

Substitueerem we relatie (V2) in (V1) dan verkrijgen we het volgende stel vergelijkingen voor de rekken:

$$\varepsilon_1 = \left[ (x_2 - x_1 + u_2 - u_1)^2 + (y_2 - y_1 + w_2 - w_1)^2 \right]^{\frac{1}{2}} \left[ 1 + \frac{1}{30} (2\bar{\psi}_1^2 - \bar{\psi}_1 \bar{\psi}_2 + 2\bar{\psi}_2^2) \right] - 1$$

$$\varepsilon_2 = \left[ -\psi_1 + \arctan \frac{y_2 - y_1}{x_2 - x_1} - \arctan \frac{y_2 - y_1 + w_2 - w_1}{x_2 - x_1 + u_2 - u_1} \right] \quad (\text{V3})$$

$$\varepsilon_3 = \left[ \psi_2 - \arctan \frac{y_2 - y_1}{x_2 - x_1} + \arctan \frac{y_2 - y_1 + w_2 - w_1}{x_2 - x_1 + u_2 - u_1} \right]$$

Zoals in hoofdstuk IV gesteld is, kunnen we nu vrij eenvoudig uit (V3) de relaties

$$\frac{\partial \varepsilon_i}{\partial u_p} \quad \text{en} \quad \frac{\partial^2 \varepsilon_i}{\partial u_q \partial u_p} \quad \text{afleiden.}$$

$$\frac{\partial \mathcal{E}_1}{\partial u_p} = \begin{bmatrix} -\cos\beta - \frac{\cos\beta}{30} [2\bar{\psi}_1^2 - \bar{\psi}_1\bar{\psi}_2 + 2\bar{\psi}_2^2] + \frac{\sin\beta}{10} [\bar{\psi}_1 + \bar{\psi}_2] \\ -\sin\beta - \frac{\sin\beta}{30} [2\bar{\psi}_1^2 - \bar{\psi}_1\bar{\psi}_2 + 2\bar{\psi}_2^2] - \frac{\cos\beta}{10} [\bar{\psi}_1 + \bar{\psi}_2] \\ \frac{L^3}{30} [4\bar{\psi}_1 - \bar{\psi}_2] \\ \cos\beta + \frac{\cos\beta}{30} [2\bar{\psi}_1^2 - \bar{\psi}_1\bar{\psi}_2 + 2\bar{\psi}_2^2] - \frac{\sin\beta}{10} [\bar{\psi}_1 + \bar{\psi}_2] \\ \sin\beta + \frac{\sin\beta}{30} [2\bar{\psi}_1^2 - \bar{\psi}_1\bar{\psi}_2 + 2\bar{\psi}_2^2] + \frac{\cos\beta}{10} [\bar{\psi}_1 + \bar{\psi}_2] \\ \frac{L^3}{30} [-\bar{\psi}_1 + 4\bar{\psi}_2] \end{bmatrix}$$

$$\frac{\partial \mathcal{E}_2}{\partial u_p} = \begin{bmatrix} -\frac{\sin\beta}{l'} & \frac{\cos\beta}{l'} & -1 & \frac{\sin\beta}{l'} & -\frac{\cos\beta}{l'} & 0 \end{bmatrix}$$

$$\frac{\partial \mathcal{E}_3}{\partial u_p} = \begin{bmatrix} \frac{\sin\beta}{l'} & -\frac{\cos\beta}{l'} & 0 & -\frac{\sin\beta}{l} & \frac{\cos\beta}{l} & 1 \end{bmatrix}$$

We gaan nu de verschillende termen afschatten:

$$\begin{aligned} \bar{\psi}_1 &\ll 1 \\ \bar{\psi}_2 &\ll 1 \\ \frac{\Delta l}{l} &\ll 1 \end{aligned} \quad \Delta l = l' - l$$

Bovenstaande ongelijkheden blijven geldig, omdat de rek-spanningrelaties lineair blijven, bij geometrische niet-lineariteit.

We schrijven nu  $\frac{\partial \mathcal{E}_i}{\partial u_p}$  in de vorm van de som van

2 matrices:

$$\frac{\partial \mathcal{E}_i}{\partial u_p} = Q_i + O(\epsilon) \tag{II 4}$$

$$Q_1 = \begin{bmatrix} -\cos\beta & -\sin\beta & 0 & \cos\beta & \sin\beta & 0 \\ -\frac{\sin\beta}{l'} & \frac{\cos\beta}{l'} & -1 & \frac{\sin\beta}{l'} & -\frac{\cos\beta}{l'} & 0 \\ \frac{\sin\beta}{l'} & -\frac{\cos\beta}{l'} & 0 & -\frac{\sin\beta}{l'} & \frac{\cos\beta}{l'} & 1 \end{bmatrix}$$

$$O(\varepsilon) = \begin{bmatrix} \frac{\sin\beta}{10}(-\varepsilon_2 + \varepsilon_3) - \frac{\cos\beta}{10}(\varepsilon_2 + \varepsilon_3) & \frac{l'}{20}(-4\varepsilon_2 - \varepsilon_3) - \frac{\sin\beta}{10}(-\varepsilon_2 + \varepsilon_3) & \frac{\cos\beta}{10}(-\varepsilon_2 + \varepsilon_3) & \frac{l'}{20}(\varepsilon_2 + 4\varepsilon_3) \\ 0 & 0 & 0 & 0 & 0 & 0 \\ 0 & 0 & 0 & 0 & 0 & 0 \end{bmatrix}$$

Om de termen van  $\frac{\partial^2 \varepsilon_i}{\partial u_p \partial u_q}$  te verkrijgen, moeten we de termen van  $\frac{\partial \varepsilon_i}{\partial u_p}$  naar de componenten van de verplaatsingsvektor differentiëren. Om nu de orde grootte te bepalen, welke we in deze termen mee willen nemen, moeten we terug naar de oorspronkelijke vergelijking (IV 4).

$$\left\{ \sum_{k=1}^N \frac{\partial \varepsilon_i}{\partial u_q} s_{ij} \frac{\partial \varepsilon_j}{\partial u_p} + \sum_j \frac{\partial^2 \varepsilon_j}{\partial u_p \partial u_q} \right\}_{u=u_k} \quad \Delta u_k = \left\{ \sum_{k=1}^N \varepsilon_i s_{ij} \frac{\partial \varepsilon_j}{\partial u_p} \right\}_{u=u_k}^t$$

In de termen  $\frac{\partial \varepsilon_i}{\partial u_p}$  hebben we de  $O(\varepsilon)$  meegenomen. Daar  $\bar{v} = 5\varepsilon$  zelf van de orde epsilon is behoeven we in de termen van  $\frac{\partial^2 \varepsilon_j}{\partial u_p \partial u_q}$  slechts de  $O(1)$  mee te nemen. We

bekijken daarom eerst de term  $\frac{\partial^2 \varepsilon_1}{\partial u_1 \partial u_1}$ .

$$\begin{aligned} \frac{\partial^2 \varepsilon_1}{\partial u_1 \partial u_1} &= \frac{\sin^2 \beta}{l} + \frac{2 \sin^2 \beta}{10l} - \frac{\Delta l}{l^2} \sin^2 \beta - \frac{\Delta l}{10l^2} 2 \sin^2 \beta + \\ &+ \frac{\sin\beta \cos\beta}{10l} [\bar{\psi}_1 + \bar{\psi}_2] - \\ &- \frac{\cos\beta}{20} \left[ \frac{3 \bar{\psi}_1 \sin\beta}{l} - \frac{3 \Delta l}{l^2} \bar{\psi}_1 \sin\beta + 3 \bar{\psi}_2 \frac{\sin\beta}{l} - 3 \bar{\psi}_2 \frac{\sin\beta \Delta l}{l^2} \right] + \end{aligned}$$

$$+ \frac{\sin^2 \beta}{30l} [2\bar{\psi}_1^2 - \bar{\psi}_1\bar{\psi}_2 + 2\bar{\psi}_2^2] - \frac{\Delta l}{l^2} \sin^2 \beta [2\bar{\psi}_1^2 - \bar{\psi}_1\bar{\psi}_2 + 2\bar{\psi}_2^2] -$$

$$- \frac{\Delta l}{l^2} \sin \beta \cos \beta [\bar{\psi}_1 + \bar{\psi}_2]$$

Zoals reeds gesteld is, is alleen  $O(1)$  belangrijk, zodat we kunnen schrijven:

$$\frac{\partial^2 \mathcal{E}_1}{\partial u_i \partial u_i} = \frac{36}{30} \frac{\sin^2 \beta}{l}$$

De bepaling van de andere termen verloopt geheel analoog, zodat we tenslotte de volgende resultaten vinden:

$$\frac{\partial^2 \mathcal{E}_1}{\partial u_q \partial u_p} = \frac{1}{30} \begin{bmatrix} \frac{36 \sin^2 \beta}{l} & -\frac{36 \sin \beta \cos \beta}{l} & 3 \sin \beta & -\frac{36 \sin^2 \beta}{l} & \frac{36 \sin \beta \cos \beta}{l} & 3 \sin \beta \\ & \frac{36 \cos^2 \beta}{l} & -3 \cos \beta & \frac{36 \sin \beta \cos \beta}{l} & -\frac{36 \cos^2 \beta}{l} & -3 \cos \beta \\ & & 4l & -3 \sin \beta & 3 \cos \beta & -l \\ \text{sym.} & & & \frac{36 \sin^2 \beta}{l} & -\frac{36 \sin \beta \cos \beta}{l} & -3 \sin \beta \\ & & & & \frac{36 \cos^2 \beta}{l} & 3 \cos \beta \\ & & & & & 4l \end{bmatrix}$$

$$\frac{\partial^2 \mathcal{E}_2}{\partial u_q \partial u_p} = \frac{1}{l^2} \begin{bmatrix} -\sin 2\beta & \cos 2\beta & 0 & \sin 2\beta & -\cos 2\beta & 0 \\ & \sin 2\beta & 0 & -\cos 2\beta & -\sin 2\beta & 0 \\ & & 0 & 0 & 0 & 0 \\ \text{sym.} & & & -\sin 2\beta & \cos 2\beta & 0 \\ & & & & \sin 2\beta & 0 \\ & & & & & 0 \end{bmatrix}$$

$$\frac{\partial^2 \mathcal{E}_3}{\partial u_q \partial u_p} = -\frac{\partial^2 \mathcal{E}_2}{\partial u_q \partial u_p}$$

Definiëren we nu  $\frac{\partial^2 \varepsilon_1}{\partial u_q \partial u_p} = \eta_1$ ,  $\frac{\partial^2 \varepsilon_2}{\partial u_q \partial u_p} = \eta_2$  en  $\frac{\partial^2 \varepsilon_3}{\partial u_q \partial u_p} = \eta_3$ , dan kunnen we relatie (IV 4) als volgt schrijven in matrixvorm:

$$\sum_{k=1}^N \left[ \begin{array}{c} \nabla \\ \varphi_k + o(\varepsilon) \end{array} \right] S \left[ \varphi_k + o(\varepsilon) \right] + N \eta_1 + \eta_2 + \eta_3 \Big|_{u=u_{n,t}} \Delta u = \Delta f + f_n - \sigma \Big|_{u=u_{n,t}} \left[ \varphi_k + o(\varepsilon) \right] \quad (\text{V 5})$$

$f_n$  = uitwendige belastingvector na  $n$  stappen.

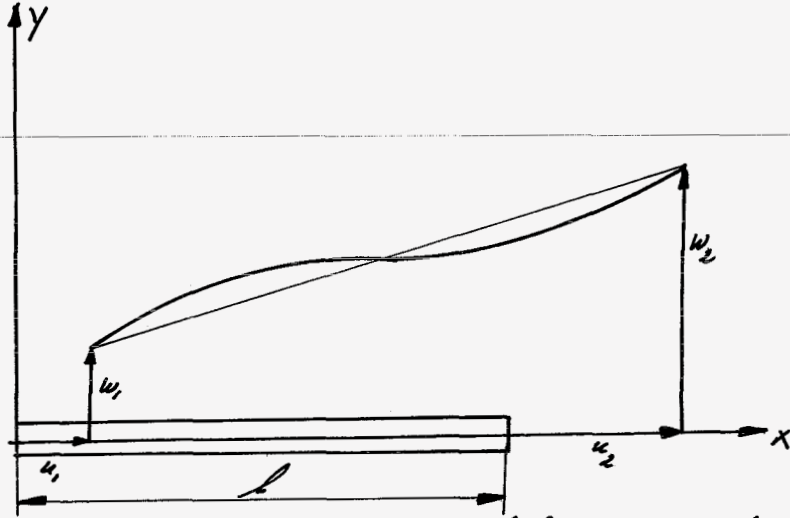
$u_{n,t}$  = verplaatsingsvector na  $n$  stappen en  $t$  iteratiestappen.

Op formule (V 5) is nu het computerprogramma 05064600  
 „Berekening verkaracteristiek met behulp van de methode der eindige elementen, waarbij de stepgrootte in de belasting afhankelijk is van het aantal iteratiestappen” gebaseerd.

$\Delta u$  en  $\Delta f$ : zijn de incrementen van de respectievelijke verplaatsings- en belastingvector van de gehele constructie.

## VI Fysische interpretatie van de gebruikte matrices van het balkelement.

Om een uitspraak te doen over de fysische betekenis van de matrices  $O(\epsilon)$ ,  $G_1$ ,  $G_2$  en  $G_3$  zoals afgeleid in hoofdstuk V, gaan we uit van een balkelement, dat onvervormd is en waarvan de staafas samenvalt met de x-as.



Ten gevolge van een uitwendige belasting ontstaat de verplaatsingsvektor

$$u = [u_1, w_1, \varphi_1, u_2, w_2, \varphi_2]$$

De niet-lineaire rekformules gaan we nu voor dit balkelement in een reeks ontwikkelen, waarin we termen van hogere orde verwaarlozen: De rekformules hebben voor het hiervoor beschreven element de volgende gedaante:

$$\epsilon_1 = \left[ (l + u_2 - u_1)^2 + (w_2 - w_1)^2 \right]^{1/2} \left[ 1 + \frac{1}{30} (2\bar{\varphi}_1^2 - \bar{\varphi}_1 \bar{\varphi}_2 + 2\bar{\varphi}_2^2) \right] - l$$

$$\epsilon_2 = \left[ -\varphi_1 - \arctan \frac{w_2 - w_1}{l + u_2 - u_1} \right] \quad (\text{VI } 1)$$

$$\epsilon_3 = \left[ \varphi_2 + \arctan \frac{w_2 - w_1}{l + u_2 - u_1} \right]$$

We gebruiken de volgende benaderingen:

$$\left[ (l + u_2 - u_1)^2 + (w_2 - w_1)^2 \right]^{1/2} = l + u_2 - u_1 + \frac{(w_2 - w_1)^2}{2l} + \dots \quad (\text{VI } 2)$$



$$\text{arelan } \frac{\omega_2 - \omega_1}{l + u_2 - u_1} = \frac{\omega_2 - \omega_1}{l} - \frac{(\omega_2 - \omega_1)(u_2 - u_1)}{l^2} + \dots \quad (\text{VI } 3)$$

In (VI 2) en (VI 3) zijn termen van  $\left(\frac{\omega_2 - \omega_1}{l}\right)^n$  en  $\frac{(\omega_2 - \omega_1)(u_2 - u_1)^{n-1}}{l^n}$

met  $n > 2$  verwaarloosd.

Substitutie van (VI 2) in (VI 3) in (VI 1) leveren de volgende formules op, waarvan het eerste gedeelte de lineaire en het tweede gedeelte het niet-lineaire gedeelte omvat.

$$\begin{aligned} \varepsilon_1 &= u_2 - u_1 + \frac{3}{5} \frac{(\omega_2 - \omega_1)^2}{l} + \frac{1}{15} \psi_1^2 l + \frac{1}{15} \psi_2^2 l - \frac{1}{30} \psi_1 \psi_2 + \frac{1}{10} \psi_1 \frac{\omega_2 - \omega_1}{l} + \\ &\quad \frac{1}{10} \psi_2 \frac{\omega_2 - \omega_1}{l} \\ \varepsilon_2 &= -\psi_1 - \frac{\omega_2 - \omega_1}{l} + \frac{(\omega_2 - \omega_1)(u_2 - u_1)}{l^2} \\ \varepsilon_3 &= \psi_2 + \frac{\omega_2 - \omega_1}{l} - \frac{(\omega_2 - \omega_1)(u_2 - u_1)}{l^2} \end{aligned} \quad (\text{VI } 4)$$

$\xrightarrow{\text{lineair}}$        $\xleftarrow{\text{niet lineair}}$

Voor de inwendige energie van het balkelement geldt:

$$U = \frac{N}{2} \varepsilon_1 + \frac{H_0}{2} \varepsilon_2 + \frac{H_1}{2} \varepsilon_3$$

$$U = U_{\text{lineair}} + U_{\text{niet lineair}}$$

$U_{\text{lineair}}$  hebben we in hoofdstuk I in matrixvorm afgeleid.

$$U_{\text{lineair}} = \frac{1}{2} u^T Q u$$

Voor de niet-lineaire termen kunnen we schrijven:

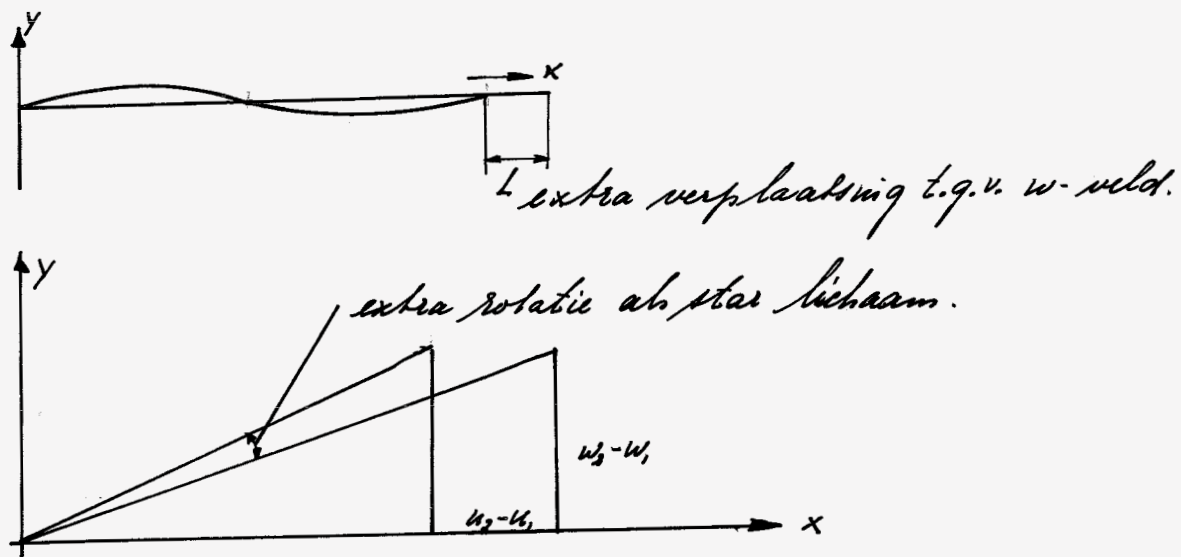
$$U_{\text{niet lineair}} = \frac{N}{2} u^T G_{01} u + \frac{H_0}{2} u^T G_{02} u + \frac{H_1}{2} u^T G_{03} u$$

$$G_{01} = \frac{1}{30} \begin{bmatrix} 0 & 0 & 0 & 0 & 0 & 0 \\ 0 & \frac{36}{l} & -3 & 0 & -\frac{36}{l} & -3 \\ 0 & -3 & 4l & 0 & 3 & -l \\ 0 & 0 & 0 & 0 & 0 & 0 \\ 0 & 0 & 0 & 0 & \frac{36}{l} & 3 \\ 0 & 0 & 0 & 0 & 3 & 4l \end{bmatrix}$$

sym

$$G_{02} = -G_{03} = \frac{1}{l^2} \begin{bmatrix} 0 & 1 & 0 & 0 & -1 & 0 \\ & 0 & 0 & -1 & 0 & 0 \\ & & 0 & 0 & 0 & 0 \\ \text{sym.} & & & 0 & 1 & 0 \\ & & & & 0 & 0 \\ & & & & & 0 \end{bmatrix}$$

De term  $\frac{N}{2} u^T G_{01} u$  geeft de extra arbeid aan, die de normaalcracht verricht t.g.v. relatieve knooppuntsverplaatsingen van het element, veroorzaakt door het  $w$ -veld. De term  $\frac{M_0}{2} u^T G_{02} u$  geeft de extra arbeid aan, dat het moment  $^2$  verricht door een extra rotatie als star lichaam t.g.v.  $u$ -veld. Voor  $\frac{M_1}{2} u^T G_{03} u$  geldt hetzelfde.



Willen we deze voorgaande afleidingen toepassen op een element, dat een hoek  $\alpha$  met de positieve  $x$ -as maakt, dan ontstaan de volgende relaties. ( $\alpha$  links om positief)

$$G_1 = \frac{\partial^2 E_1}{\partial u_q \partial u_p} = T^T G_{01} T$$

$$G_2 = \frac{\partial^2 E_2}{\partial u_q \partial u_p} = T^T G_{02} T \quad (\text{VI } 5)$$

$$G_3 = \frac{\partial^2 E_3}{\partial u_q \partial u_p} = T^T G_{03} T$$

$T$  is de transformatiematrix en bestaat uit de hiermee volgende componenten:

$$T = \begin{bmatrix} \cos \alpha & \sin \alpha & 0 & 0 & 0 & 0 \\ -\sin \alpha & \cos \alpha & 0 & 0 & 0 & 0 \\ 0 & 0 & 1 & 0 & 0 & 0 \\ 0 & 0 & 0 & \cos \alpha & \sin \alpha & 0 \\ 0 & 0 & 0 & -\sin \alpha & \cos \alpha & 0 \\ 0 & 0 & 0 & 0 & 0 & 1 \end{bmatrix}$$

Ten slotte rest nog de fysische interpretatie van:

$$\frac{\partial \mathcal{E}_i}{\partial u_p} = Q_i + O(\epsilon)$$

We bekijken in eerste instantie de lineaire relaties voor een balklement, waarvan de staafas samenvalt met de  $x$ -as. We vinden dan de volgende relatie:

$$\mathcal{E} = D u$$

$$D = \begin{bmatrix} -1 & 0 & 0 & 1 & 0 & 0 \\ 0 & \frac{1}{l} & -1 & 0 & -\frac{1}{l} & 0 \\ 0 & -\frac{1}{l} & 0 & 0 & \frac{1}{l} & 1 \end{bmatrix}$$

Valt de staafas niet meer met de  $x$ -as samen, maar maakt een hoek  $\alpha$ , dan kunnen we volgende relatie opschrijven:

$$u_{\text{lokaal}} = T u_{\text{globaal}}$$

$$\mathcal{E} = D T u_{\text{globaal}}$$

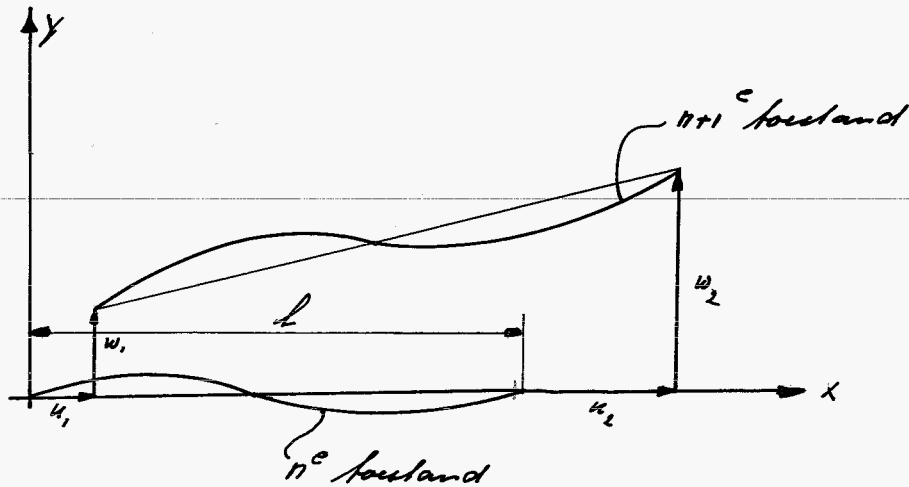
Het blijft nu dat:  $Q_i = D T$  (VII 6)

Met andere woorden  $Q_i$  is niets anders dan een soort transformatiematrix van globaal naar lokaal-assenstelsel. In de niet-lineaire theorie is  $D$  niet zo'n nette matrix meer. De matrix  $O(\epsilon)$  vormt nu een correctie op de  $Q_i$  matrix van het element, omdat we de stijfheidsmatrix in vervormde toestand willen berekenen. Als we vergelijking (I 5) uitwerken, dan zien we on-

middeelmatig, dat de termen  $O(\epsilon) \leq Q_i$ ,  $Q_i \leq O(\epsilon)$  en  $O(\epsilon) \leq O(\epsilon)$  correcties zijn op de lineaire stijfheidsmatrix.

We kunnen de  $O(\epsilon)$  als volgt bepalen:

We beschouwen een element, waarvan de verbindinglijn van de knooppunten in vervormde toestand samenvalt met de positieve x-as.



We definiëren nu de rekken als volgt:

$$\epsilon_1(n+1) = \epsilon_1(n) + \Delta \epsilon_1$$

$$\epsilon_2(n+1) = \epsilon_2(n) + \Delta \epsilon_2$$

$$\epsilon_3(n+1) = \epsilon_3(n) + \Delta \epsilon_3$$

Wanneer we nu de rekformules zoals gedefinieerd voor geometrisch niet-lineaire problemen, dan verkrijgen we de volgende relaties:

$$\epsilon_1(n+1) = \epsilon_1(n) + \left[ (l+u_2-u_1)^2 + (w_2-w_1)^2 \right]^{1/2} \left[ 1 + \frac{1}{30} \left( 2\epsilon_2(n+1)^2 + \epsilon_2(n+1)\epsilon_3(n+1) + 2\epsilon_3(n+1)^2 \right) \right] - l \left[ 1 + \frac{1}{30} \left( 2\epsilon_2(n)^2 + \epsilon_2(n)\epsilon_3(n) + 2\epsilon_3(n)^2 \right) \right]$$

$$\epsilon_2(n+1) = \epsilon_2(n) - \psi_1 - \arctan \frac{w_2 - w_1}{l + u_2 - u_1}$$

$$\epsilon_3(n+1) = \epsilon_3(n) + \psi_2 + \arctan \frac{w_2 - w_1}{l + u_2 - u_1}$$

(VI 7)

We gaan formule (VI 7) weer in een reeks ontwikkelen:

$$\varepsilon_{1(n+1)} = \varepsilon_{1(n)} + u_2 - u_1 + \frac{1}{30} \left[ 3\varepsilon_{2(n)} \frac{w_1}{l} - 3\varepsilon_{3(n)} \frac{w_1}{l} - 4\varepsilon_{2(n)} - \varepsilon_{3(n)} - 3\varepsilon_{2(n)} \frac{w_2}{l} + 3\varepsilon_{3(n)} \frac{w_2}{l} + 4\varepsilon_{3(n)} + \varepsilon_{2(n)} \right] + \frac{3(w_2 - w_1)^2}{5l} + \frac{1}{15} \psi_1^2 l + \frac{1}{15} \psi_2^2 l - \frac{1}{30} \psi_1 \psi_2$$

$$+ \frac{1}{10} \psi_1 \left( \frac{w_2 - w_1}{l} \right) + \frac{\psi_2}{10} \left( \frac{w_2 - w_1}{l} \right)$$

$$\varepsilon_{2(n+1)} = \varepsilon_{2(n)} - \psi_1 - \frac{w_2 - w_1}{l} + \frac{(w_2 - w_1)(u_2 - u_1)}{l^2} \quad (\text{VI } 8)$$

$$\varepsilon_{3(n+1)} = \varepsilon_{3(n)} + \psi_2 + \frac{w_2 - w_1}{l} - \frac{(w_2 - w_1)(u_2 - u_1)}{l^2}$$

Hoek uit formule (VI 8) blijkt, geeft alleen  $\varepsilon_{1(n+1)}$  een bijdrage in de  $O(\varepsilon)$ -en wel met de volgende bijdrage:

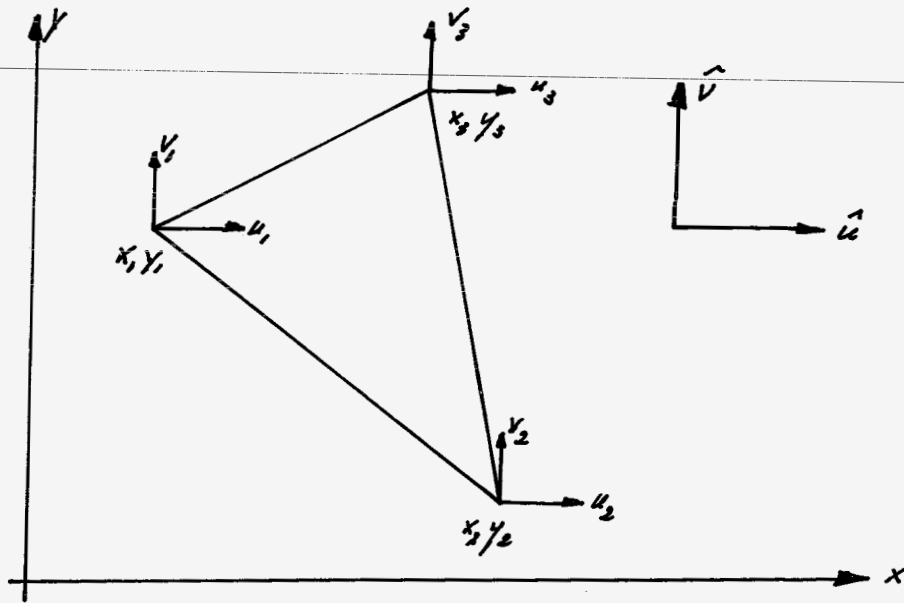
$$O_0(\varepsilon) = \frac{1}{30} \left[ 3\varepsilon_{2(n)} \frac{w_1}{l} - 3\varepsilon_{3(n)} \frac{w_1}{l} - 4\varepsilon_{2(n)} - \varepsilon_{3(n)} - 3\varepsilon_{2(n)} \frac{w_2}{l} + 3\varepsilon_{3(n)} \frac{w_2}{l} + 4\varepsilon_{3(n)} + \varepsilon_{2(n)} \right]$$

In matrixnotatie levert dit juist de ons reeds bekende matrix op namelijk  $O_0(\varepsilon)$  voor  $\beta = 0$ . Staat het element onder een bepaalde hoek  $\beta$  met de x-as dan heeft de matrix  $O(\varepsilon)$  de volgende gedaante:

$$O(\varepsilon) = O_0(\varepsilon) T \quad (\text{VI } 9)$$

## VII Beschrijving van het element TRIAX3

We beschouwen een rotatorisch symmetrisch driehoekig element. We nemen aan, dat de verplaatsingen van de 3 knooppunten zodanig klein blijven, dat de klassieke formules voor rotatorisch symmetrische constructies geldig blijven.



We nemen de  $y$ -as als rotatorische symmetrie-as aan. De verplaatsingsvektor per element definiëren we als:

$$\vec{u} = [u_1, v_1, u_2, v_2, u_3, v_3]$$

Voor de verplaatsingsvelden  $\hat{u}$  en  $\hat{v}$  nemen we de volgende polynomen aan:

$$\hat{u} = \alpha_1 + \alpha_2 x + \alpha_3 y$$

$$\hat{v} = \alpha_4 + \alpha_5 x + \alpha_6 y$$

(VII.1)

Uit deze aannames volgt direct, dat de zijden van het element TRIAX3 na vervorming recht blijven, met als randvoorwaarden:

$$x = x_1 \text{ en } y = y_1 : \quad \vec{u} = u_1 \quad \vec{v} = v_1$$

$$x = x_2 \text{ en } y = y_2 : \quad \vec{u} = u_2 \quad \vec{v} = v_2 \quad (\text{VII } 2)$$

$$x = x_3 \text{ en } y = y_3 : \quad \vec{u} = u_3 \quad \vec{v} = v_3$$

Verder definiëren we de vektor  $\alpha$  als:

$$\vec{\alpha} = [\alpha_1 \alpha_2 \alpha_3 \alpha_4 \alpha_5 \alpha_6]. \quad (\text{VII } 3)$$

We kunnen nu met de relaties (VII 1), (VII 2) en (VII 3) het verband tussen de vektoren  $\alpha$  en  $u$  bepalen.

$$\begin{bmatrix} \alpha_1 \\ \alpha_2 \\ \alpha_3 \\ \alpha_4 \\ \alpha_5 \\ \alpha_6 \end{bmatrix} = \frac{1}{A} \begin{bmatrix} x_2 y_3 - x_3 y_2 & x_3 y_1 - x_1 y_3 & x_1 y_3 - x_3 y_1 & 0 & 0 & 0 \\ y_2 - y_3 & y_3 - y_1 & y_1 - y_2 & 0 & 0 & 0 \\ x_3 - x_2 & x_1 - x_3 & x_2 - x_1 & 0 & 0 & 0 \\ 0 & 0 & 0 & x_2 y_3 - x_3 y_2 & x_3 y_1 - x_1 y_3 & x_1 y_2 - x_2 y_1 \\ 0 & 0 & 0 & y_2 - y_3 & y_3 - y_1 & y_1 - y_2 \\ 0 & 0 & 0 & x_3 - x_2 & x_1 - x_3 & x_2 - x_1 \end{bmatrix} \begin{bmatrix} u_1 \\ u_2 \\ u_3 \\ v_1 \\ v_2 \\ v_3 \end{bmatrix} \quad (\text{VII } 3a)$$

In deze formule is  $A$  gelijk aan:

$$A = x_2 y_3 - x_3 y_2 + x_3 y_1 - x_1 y_3 + x_1 y_2 - x_2 y_1$$

Uit de klassieke theorie weten we, hoe de rekken voor rotatorisch symmetrische constructies, aan het verplaatsingsveld zijn gekoppeld.

$$e_x = \frac{\partial u}{\partial x} = \alpha_2$$

$$e_y = \frac{\partial v}{\partial y} = \alpha_6$$

$$e_z = \frac{u}{x} = \frac{u_{zw}}{x_{zw}} = \frac{\alpha_1}{x_{zw}} + \alpha_2 + \frac{y_{zw}}{x_{zw}} \alpha_3$$

$$f_{xy} = \frac{\partial u}{\partial y} + \frac{\partial v}{\partial x} = \alpha_3 + \alpha_5$$

(VII 4)

We merken op, dat de tangentiële rek niet precies afgeleid is, maar benaderd is als  $\frac{u_{zw}}{x_{zw}}$ .

De gegeneraliseerde rekvector heeft de volgende gedaante:

$$\vec{\epsilon} = [\epsilon_x \quad \epsilon_y \quad \epsilon_z \quad \kappa_{xy}] \quad (\text{VII } 5)$$

Met behulp van de relaties (VII 4) en (VII 3a) zijn we in staat om het verband tussen de rekken en de verplaatsingsvector te leggen.

$$\epsilon = \frac{1}{A} C u \quad (\text{VII } 6)$$

$$C = \begin{bmatrix} y_2 - y_3 & 0 & y_3 - y_1 & 0 & y_1 - y_2 & 0 \\ 0 & x_3 - x_2 & 0 & x_1 - x_3 & 0 & x_2 - x_1 \\ a_1 & 0 & a_2 & 0 & a_3 & 0 \\ x_3 - x_2 & y_2 - y_3 & x_1 - x_3 & y_3 - y_1 & x_2 - x_1 & y_1 - y_2 \end{bmatrix}$$

$$\text{met: } a_1 = \frac{x_2 y_3 - x_3 y_2}{x_{zw}} + (y_3 - y_2) + (x_3 - x_2) \frac{y_{zw}}{x_{zw}}$$

$$a_2 = \frac{x_3 y_1 - x_1 y_3}{x_{zw}} + (y_3 - y_1) + (x_1 - x_3) \frac{y_{zw}}{x_{zw}}$$

$$a_3 = \frac{x_1 y_2 - x_2 y_1}{x_{zw}} + (y_1 - y_2) + (x_2 - x_1) \frac{y_{zw}}{x_{zw}}$$

Het verband tussen de gegeneraliseerde rekvector en de gegeneraliseerde spanningsvector, kunnen we leggen met behulp van de wet van Hooke:

$$\sigma_x = E \frac{(1-\nu)\epsilon_x + \nu\epsilon_y + \nu\epsilon_z}{(1+\nu)(1-2\nu)}$$

$$\sigma_y = E \frac{(1+\nu)\epsilon_y + \nu\epsilon_x + \nu\epsilon_z}{(1+\nu)(1-2\nu)}$$

$$\sigma_z = E \frac{(1-\nu)\epsilon_z + \nu\epsilon_x + \nu\epsilon_y}{(1+\nu)(1-2\nu)}$$



$$\tilde{\epsilon}_{xy} = \frac{E}{2(1+\nu)} \gamma_{xy}$$

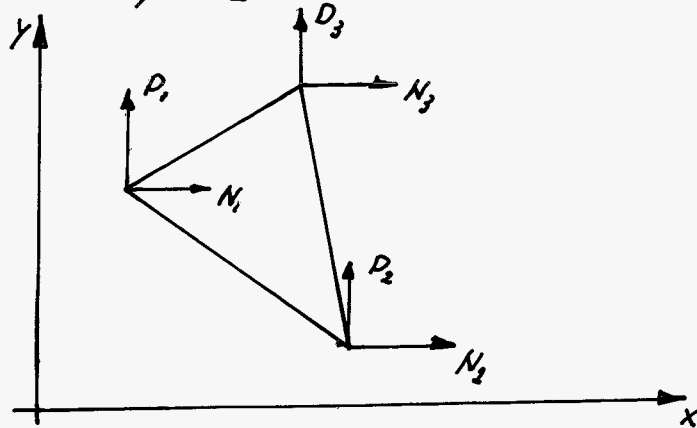
nodat we in vektornotatie de volgende vergelijking krijgen:

$$\sigma = S \epsilon \quad (\text{VII } 7)$$

$$S = \frac{E}{1+\nu} \begin{bmatrix} \frac{1-\nu}{1-2\nu} & \frac{\nu}{1-2\nu} & \frac{\nu}{1-2\nu} & 0 \\ \frac{\nu}{1-2\nu} & \frac{1-\nu}{1-2\nu} & \frac{\nu}{1-2\nu} & 0 \\ \frac{\nu}{1-2\nu} & \frac{\nu}{1-2\nu} & \frac{1-\nu}{1-2\nu} & 0 \\ 0 & 0 & 0 & \frac{1}{2} \end{bmatrix}$$

Om de stijfheidsmatrix van het element TRIAX 3 te bepalen, gaan we uit van het principe van minimale potentiële energie. De belastingvector  $f$  definiëren we als:

$$f = [N_1, D_1, N_2, D_2, N_3, D_3] \quad (\text{VII } 8)$$



We kunnen nu de potentiële energie opschrijven:

$$V = \int_V \left( \frac{1}{2} \sigma_x \epsilon_x + \frac{1}{2} \sigma_y \epsilon_y + \frac{1}{2} \sigma_z \epsilon_z + \frac{1}{2} \tau_{xy} \gamma_{xy} \right) dV - \int u \quad (\text{VII } 9)$$

Substitutie in (VII 9) van de lineaire Hooke-relaties geeft:

$$V = \text{Volume} \times \frac{E}{2(1+\nu)(1-2\nu)} \left\{ (1-\nu)(\epsilon_x^2 + \epsilon_y^2 + \epsilon_z^2) + 2\nu(\epsilon_x \epsilon_y + \epsilon_x \epsilon_z + \epsilon_y \epsilon_z) + \frac{E}{4(1+\nu)} \gamma_{xy}^2 \right\} - \int u$$

$$V = \frac{1}{2} 0 \cdot \bar{\pi} x_{ms} \mathbf{E}' S \mathbf{E} - \int u$$

$$0 = \frac{|A|}{2} = \text{oppervlakte TRIAX 3 element}$$

$$V = \frac{1}{2} \cdot \frac{|A|}{2} \bar{\pi} x_{ms} \mathbf{E}' S \mathbf{E} - \int u \quad (\text{VII } 10)$$

Substitueren we relatie (VII 6) nu in (VII 10) dan ontstaat de volgende uitdrukking voor de potentiële energie:

$$V = \frac{1}{2} \frac{\bar{\pi} x_{ms}}{|A|} u' C' S C u - \int u$$

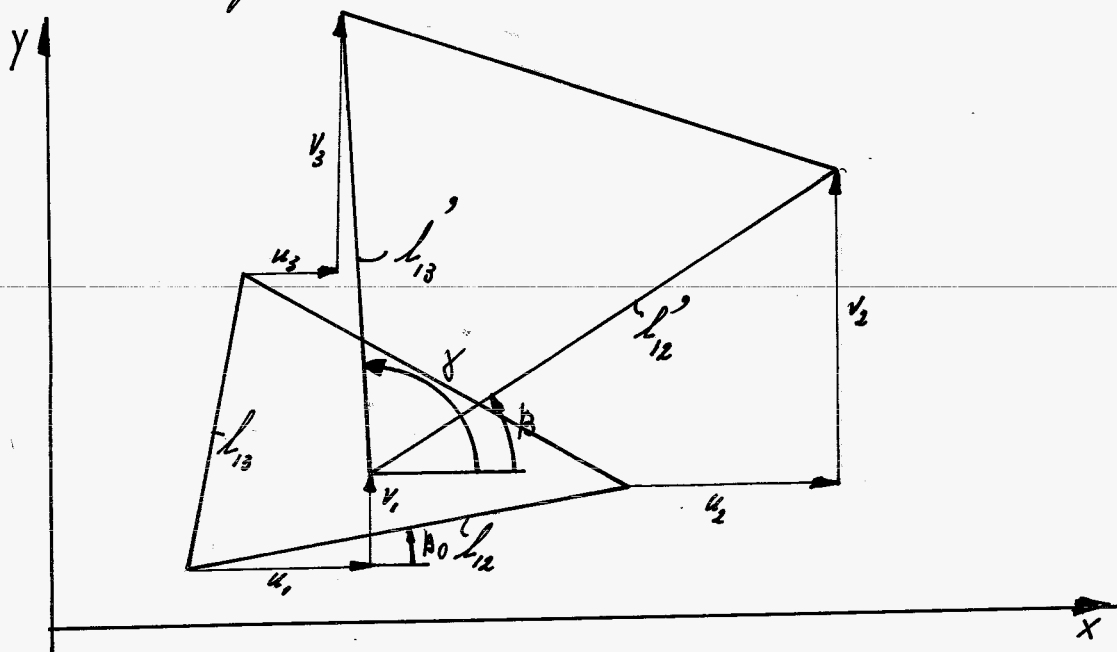
Uit het principe van minimale potentiële energie kunnen we afleiden, dat:

$$Q u = f.$$

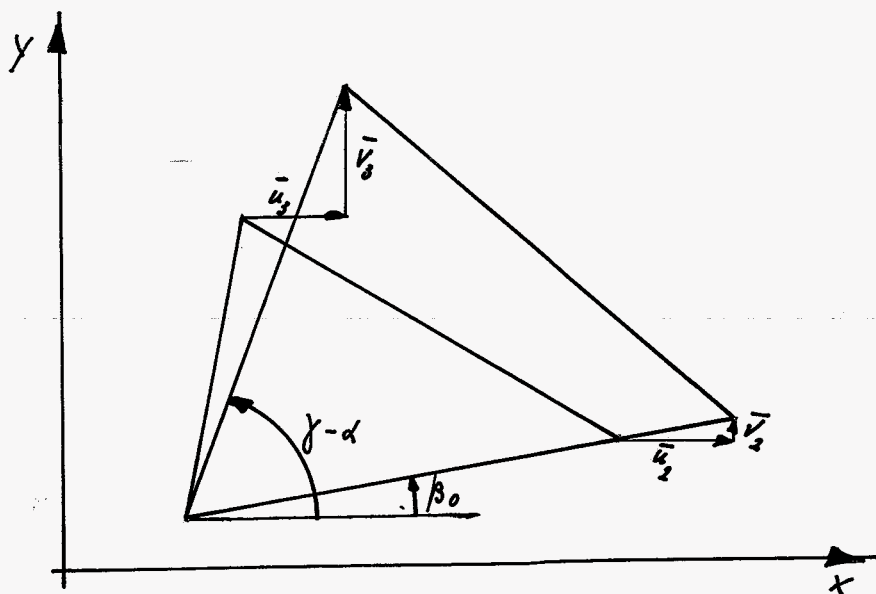
$$\text{met } Q = \frac{\bar{\pi} x_{ms}}{|A|} C' S C = \text{stijfheidsmatrix element TRIAX 3.} \quad (\text{VII } 11)$$

VIII Het element TRIAX bij geometrische niet-lineariteit

De gedaetengang verloopt geheel analoog als bij het balkelement, namelijk dat het niet-lineaire gedrag tot uitdrukking komt in de rek-verplaatsings relaties.

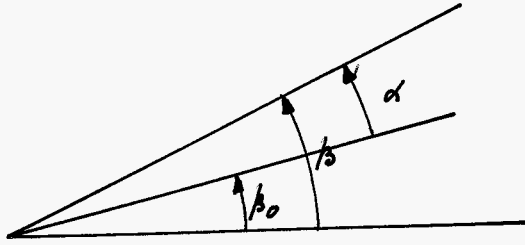


Om nu de vervormingen van het element te beschrijven, verplaatsen we het element naar zijn uitgangspositie, en dat doen we zodanig, dat een knooppunt samenvalt met het oorspronkelijke.



Boven dien is een bepaalde rotatie van het element noodzakelijk, om een zijde samen te laten vallen met

de oorspronkelijke toestand, we kiezen hiervoor  
rijde  $L_2$



De rotatiehoek  $\alpha$  is nu gelijk aan:

$$\alpha = \beta - \beta_0$$

$$\alpha = \arctan\left(\frac{y_3 - y_1 + v_3 - v_1}{x_3 - x_1 + u_3 - u_1}\right) - \arctan\left(\frac{y_2 - y_1}{x_2 - x_1}\right) \quad (\text{VIII } 1)$$

We definiëren de relatieve verplaatsingsvektor  $\bar{u}$  als:

$$\bar{u} = [\bar{u}_1 \quad \bar{v}_1 \quad \bar{u}_2 \quad \bar{v}_2 \quad \bar{u}_3 \quad \bar{v}_3] \quad (\text{VIII } 2)$$

We kunnen uit voorgaande figuren de volgende relaties  
voor de componenten van  $\bar{u}$  afleiden:

$$\bar{u}_1 = \bar{v}_1 = 0$$

$$\bar{u}_2 = \left[ \left[ (x_2 - x_1 + u_2 - u_1)^2 + (y_2 - y_1 + v_2 - v_1)^2 \right]^{1/2} - \left[ (x_2 - x_1)^2 + (y_2 - y_1)^2 \right]^{1/2} \right] \cos \beta_0$$

$$\bar{v}_2 = \left[ \left[ (x_2 - x_1 + u_2 - u_1)^2 + (y_2 - y_1 + v_2 - v_1)^2 \right]^{1/2} - \left[ (x_2 - x_1)^2 + (y_2 - y_1)^2 \right]^{1/2} \right] \sin \beta_0$$

$$\bar{u}_3 = \left[ \left[ (x_3 - x_1 + u_3 - u_1)^2 + (y_3 - y_1 + v_3 - v_1)^2 \right]^{1/2} \cos \left\{ \arctan\left(\frac{y_3 - y_1 + v_3 - v_1}{x_3 - x_1 + u_3 - u_1}\right) - \alpha \right\} \right. \\ \left. - \left[ (x_3 - x_1)^2 + (y_3 - y_1)^2 \right]^{1/2} \cos \left\{ \arctan\left(\frac{y_3 - y_1}{x_3 - x_1}\right) \right\} \right] \quad (\text{VIII } 3)$$

$$\bar{v}_3 = \left[ \left[ (x_3 - x_1 + u_3 - u_1)^2 + (y_3 - y_1 + v_3 - v_1)^2 \right]^{1/2} \sin \left\{ \arctan\left(\frac{y_3 - y_1 + v_3 - v_1}{x_3 - x_1 + u_3 - u_1}\right) - \alpha \right\} \right. \\ \left. - \left[ (x_3 - x_1)^2 + (y_3 - y_1)^2 \right]^{1/2} \sin \left\{ \arctan\left(\frac{y_3 - y_1}{x_3 - x_1}\right) \right\} \right]$$

We moeten hierbij echter onmiddellijk opmerken, dat de relatieve verplaatsingen  $\bar{u}_2, \bar{v}_2, \bar{u}_3$  en  $\bar{v}_3$  alleen gelden voor de vervormingen in het vlak van rekening. Dit houdt in, dat we voor de tangentiële rek de echte verplaatsingsvektor  $u$  moeten gebruiken.

$$E_t = \frac{u_{xzw}}{x_{zw}} = \frac{\alpha_1}{x_{zw}} + \alpha_2 + \frac{y_{zw}}{x_{zw}} \alpha_3$$

Wij zijn nu in staat om met behulp van de relatie (VII.6) de gegeneraliseerde rekvektor te berekenen:

$$E = \frac{1}{A} C u \quad (\text{voor de } E_t)$$

$$E = \frac{1}{A} C \bar{u} \quad (\text{voor } E_x, E_y, \gamma_{xy})$$

De vektor  $\bar{u}$  heeft de volgende gedaante,

$$\bar{u} = [0 \quad 0 \quad \bar{u}_2 \quad \bar{v}_2 \quad \bar{u}_3 \quad \bar{v}_3]$$

zodat we voor de gegeneraliseerde rekgrootheden de volgende niet-lineaire relaties vinden in de knooppuntsverplaatsingen.

$$E_x = \frac{1}{A} [(y_3 - y_1) \bar{u}_2 + (y_1 - y_2) \bar{u}_3]$$

$$E_y = \frac{1}{A} [(x_1 - x_3) \bar{v}_2 + (x_2 - x_1) \bar{v}_3]$$

$$E_t = \frac{3}{A(x_1 + x_2 + x_3)} [(x_2 y_3 - x_3 y_2) u_1 + (x_3 y_1 - x_1 y_3) u_2 + (x_1 y_2 - x_2 y_1) u_3] + \frac{1}{A} [(y_2 - y_3) u_1 + (y_3 - y_1) u_2 + (y_1 - y_2) u_3] + \frac{1}{A} \frac{y_1 + y_2 + y_3}{x_1 + x_2 + x_3} [(x_3 - x_2) u_1 + (x_1 - x_3) u_2 + (x_2 - x_1) u_3] \quad (\text{VII.4})$$

$$\gamma_{xy} = \frac{1}{A} [(x_1 - x_3) \bar{u}_2 + (x_2 - x_1) \bar{u}_3 + (y_3 - y_1) \bar{v}_2 + (y_1 - y_2) \bar{v}_3]$$

Bestuderen we nu weer de oorspronkelijke vergelijking voor geometrisch niet-lineaire problemen (IV 4):

$$\left\{ \sum_{k=1}^N \frac{\partial \varepsilon_i}{\partial u_q} s_{ij} \frac{\partial \varepsilon_j}{\partial u_p} + \bar{\sigma}_i \frac{\partial^2 \varepsilon_j}{\partial u_q \partial u_p} \right\}_{u=u_n^t} \Delta u_k = f_k - \left\{ \sum_{k=1}^N \varepsilon_i s_{ij} \frac{\partial \varepsilon_j}{\partial u_p} \right\}_{u=u_n^t}$$

$S$  is de matrix, die het lineaire verband tussen de rekken en spanningen legt, zie formule (VII 7).

In appendix no. V zijn de afleidingen gegeven van de benodigde matrices. We volstaan hier met de vermelding dat geldt:

$$\begin{aligned} \frac{\partial \varepsilon_i}{\partial u_q} &= Q_1 \\ \frac{\partial^2 \varepsilon_2}{\partial u_q \partial u_p} &= G_1 & \frac{\partial^2 \varepsilon_3}{\partial u_q \partial u_p} &= G_2 \\ \frac{\partial^2 \varepsilon_t}{\partial u_q \partial u_p} &= [0] & \frac{\partial^2 \varepsilon_4}{\partial u_q \partial u_p} &= G_4 \end{aligned} \quad (\text{VIII } 5)$$

Substitueren wij nu (VIII 5) in de niet-lineaire vergelijking (IV 4), dan ontstaat ten slotte de vergelijking, die het geometrisch niet-lineaire gedrag beschrijft van rotatorisch symmetrische constructies in matrixnotatie:

$$\left\{ \sum_{k=1}^N Q_i s_{ij} Q_j + \bar{\sigma}_2 G_1 + \bar{\sigma}_3 G_2 + \bar{\sigma}_4 G_4 \right\}_{u=u_n^t} \Delta u = \Delta f + f_n - \left\{ \bar{\sigma} [Q_i] \right\}_{u=u_n^t}$$

$f_n$  = uitwendige belastingsvektor na  $n$  stappen.

$u_n^t$  = verplaatsingsvektor na  $n$  stappen en  $t$  iteraties.

$\Delta u$  en  $\Delta f$  zijn de incrementen van de respectievelijke verplaatsings- en belastingsvektor van de gehele constructie.

#### IV Beschrijving van het programma 05064608

„ Berekening veer karakteristiek met behulp van de methode der eindige elementen, waarbij de stap-grootte in de belasting afhankelijk is van het aantal iteratiestappen „

Allereerst wil ik beginnen met de beschrijving van de gebruikte procedures, die in het programma gebruikt worden. Hierna zal ik een beschrijving van het hoofdprogramma geven aan de hand van het gemaakte schema.

procedure STYFEL (E, I, A, L, S).

In deze procedure wordt de matrix S, die het verband tussen spanningen en rekken legt, gevuld.

real E = elasticiteitsmodulus.

I = oppervlakte draagmoment van de dwarsdoorsnede

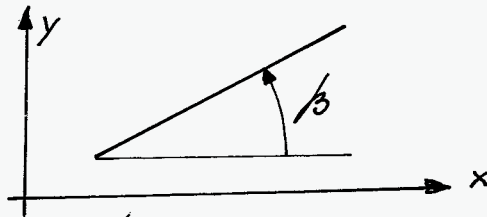
A = oppervlakte van de dwarsdoorsnede.

L = lengte van het element, oorspronkelijk.

array S[1:3, 1:3] = voornoemde matrix.

procedure HULP (a, b, c, d, e, f, LEN, st, en, le, KN).

In deze procedure worden een aantal hulpgrootheden berekend van een bepaald balksegment.



real a =  $\sin \beta$

b =  $\cos \beta$

c =  $\sin^2 \beta$

d =  $\cos^2 \beta$

e =  $\sin 2\beta$

f =  $\cos 2\beta$

integer st = 1 : bij de eerste stap in de belastingvektor  
= 2 : bij alle volgende de stappen.

en = teller voor het elementnummer.  
array  $LE[1:2, 1:Ne]$ : De eerste kolom is gevuld met de  
 oorspronkelijke lengtes van het balkelement, terwijl  
 de tweede kolom gevuld is met de nieuwe afstand  
 tussen de knooppunten van het element.  
 $le[1:2, 1:Ne]$  = de le-vektor  
 $KN[1:2, 1:N]$  = array waarin de nieuwe knooppunts-  
 coördinaten opgeborgen zijn.

procedure BELASTINGSVEKTOR ( $T, lnp, f$ ).

In deze procedure wordt de totale uitwendige  
 belastingsvektor  $f$  gevuld met de invoergegevens.

integer  $T$  = totaal aantal vrijheidsgraden van de constructie.  
array  $lnp[1:3, 1:N]$  = lnp-vektor  
 $f[1:T]$  = belastingsvektor.

procedure ONDERSTEUNING ( $N, T, lnp$ ).

In deze procedure wordt de lnp-vektor gevuld, en  
 het aantal vrijheidsgraden  $T$  van de constructie  
 bepaald.

integer  $N$  = aantal knooppunten  
 $T$  = aantal vrijheidsgraden  
array  $lnp[1:3, 1:N]$  = lnp-vektor van de constructie.

procedure INLE ( $Ne, le$ ).

In deze procedure wordt de le-vektor gevuld.

integer  $Ne$  = aantal elementen  
array  $le[1:2, 1:Ne]$  = de le-vektor.

procedure GOM ( $l, \sigma_{12}, \sigma_{23}, \sigma_{31}, \varphi_1, \varphi_2, \varphi_3, \varphi, a, b, c, d, e, f$ ).

In deze procedure worden de matrices  $N \times \frac{\partial \xi_i}{\partial u_j \partial u_p}$ ,

$N_0 \times \frac{\partial \xi_2}{\partial u_2 \partial u_p}$  en  $N_2 \times \frac{\partial \xi_3}{\partial u_2 \partial u_p}$  gevuld. Hierna worden de over-

eenvoudigste termen in deze 3 matrices opgeteld en in de  
 totale geometrische matrix van het element geplaatst.



real  $l$  = nieuwe lengte van het element, de verbindings-  
lijn tussen de knooppunten.

$\sigma_1$  = normaalkracht  $N$

$\sigma_2$  = moment  $M_0$

$\sigma_3$  = moment  $M_1$

$a, b, l, d, e$ , zijn de hulp grootheden uit de procedure  
HLLP, te weten  $\sin \beta, \cos \beta, \sin^2 \beta, \cos^2 \beta, \sin 2\beta, \cos 2\beta$

$$\text{array } G_1[1:6, 1:6] = N * \frac{\partial^2 \epsilon_1}{\partial u \partial u}$$

$$G_2[1:6, 1:6] = M_0 * \frac{\partial^2 \epsilon_2}{\partial u \partial u}$$

$$G_3[1:6, 1:6] = M_1 * \frac{\partial^2 \epsilon_3}{\partial u \partial u}$$

$$G[1:6, 1:6] = \text{som van } G_1 + G_2 + G_3$$

procedure ORDEEPS ( $a, b, l, \text{eps1}, \text{eps2}, \text{eps3}, \text{Oeps}$ )

In deze procedure wordt de matrix  $O(\epsilon)$  gevuld.

real  $a = \sin \beta$

$b = \cos \beta$

$l$  = nieuwe lengte van het element.

$\text{eps1} = \epsilon_1$

$\text{eps2} = \epsilon_2$

$\text{eps3} = \epsilon_3$

$$\text{array } \text{Oeps}[1:6, 1:6] = O(\epsilon)$$

procedure DEPSDU ( $a, b, l, Q_1, Q_1T$ )

In deze procedure worden matrices  $Q_1$  en de getrans-  
formeerde van  $Q_1$  bepaald.

real  $a = \sin \beta$

$b = \cos \beta$

$l$  = nieuwe lengte van het element

$$\text{array } Q_1[1:3, 1:6] = \text{de matrix } Q_1$$

$$Q_1T[1:6, 1:3] = \text{de getransformeerde van } Q_1$$

procedure VERMENIGVULDIGING ( $A, B, C, D, DT$ ).

In deze procedure wordt de vermenigvuldiging van 3  
matrices uitgevoerd, te weten  $D = ABC$ . Bovendien

wordt de getransformeerde van de matrix  $D$  bepaald.  
array  $A[1:6, 1:3] - B[1:3, 1:3] - C[1:3, 1:6] - D[1:6, 1:6] - DT[1:6, 1:6]$ .

procedure OPTELLING ( $A, B, C, D, Q_{tot}$ ).

In deze procedure kunnen we 4 matrices optellen en het resultaat op de overeenkomstige plaats in  $Q_{tot}$  opbergen.

array  $A, B, C, D, Q_{tot}[1:6, 1:6]$ .

procedure QKONSTRUKTIE ( $en, Q_{tot}, le, lnp, Q_{kon}$ )

In deze procedure wordt de totale stijfheidsmatrix van het element op de gebruikelijke manier in de stijfheidsmatrix van de gehele constructie opgeborgen.

integer  $en =$  teller voor het elementnummer.

array  $Q_{tot}[1:6, 1:6] =$  totale stijfheidsmatrix van het element

$le[1:2, 1:N_e] =$   $le$ -vektor

$lnp[1:3, 1:N] =$   $lnp$ -vektor.

$Q_{kon}[1:T, 0:bb] =$  stijfheidsmatrix voor de gehele constructie in de zogenaamde bandstructuur.

procedure CHOLBD ( $n, m, dec, a, b, fail$ ).

In deze procedure lossen we het interessante stelsel  $Q_{kon} u = f$  op. De procedure wordt in appendix no III beschreven.

procedure UITVOERFFTOT ( $N, fftot, lnp$ ).

In deze procedure voeren we de belastingvektor uit en wel op de volgende manier:

„knooppunt =  $i$        $a$        $b$        $c$       „

$a =$  belastingcomponent in knooppunt  $i$  in  $x$ -richting

$b =$  belastingcomponent in knooppunt  $i$  in  $y$ -richting

$c =$  het moment in knooppunt  $i$ .

integer  $N =$  aantal knooppunten.

array  $fftot[1:T] =$  totale uitwendige belastingvektor.

$lnp[1:3, 1:N] =$   $lnp$ -vektor.

procedure UITVOERKNSIR (KN, SI, R, Ne, k, st, N).

In deze procedure worden de knooppuntcoördinaten, de spanningen en de rekken van de elementen na elke stap in de uitwendige belasting uitgevoerd.

integer Ne = aantal elementen

k = teller in procedure UITVOER

st = teller voor het aantal uitgevoerde stappen.

N = aantal knooppunten.

array KN[1:2, 1:N] = knooppuntcoördinaten.

SI[1:3, 1:Ne] = elke rij vertegenwoordigt de spanningvector voor een bepaald element.

R[1:3, 1:Ne] = elke rij vertegenwoordigt hier de rekvectoor voor een bepaald element.

procedure UITGANGSHOEK(en, KN, le, lnp, HOEK).

In deze procedure wordt het array HOEK gevuld met de hoeken welke de elementen met de x-as maken in uitgangspositie.

integer en = teller voor het elementnummer.

array KN[1:2, 1:N] = knooppuntcoördinaten.

le[1:2, 1:Ne] = le-vektor

lnp[1:3, 1:N] = lnp-vektor.

HOEK[1:Ne] = HOEK[i] is de hoek welke element i met de x-as in uitgangspositie maakt.

procedure REKSPANITTERATIE(en, ue, R, KN, KNH, LEN, le, lnp, u, SI, S, E, I, A, PSI, PSIH, HOEK).

In deze procedure worden na elke stap of iteratie de knooppuntcoördinaten aangepast, de verbindinglijnen tussen de knooppunten of de nieuwe lengte van het element berekend, de spanningen in het element berekend en de hoek bepaald welke het element met de positieve x-as maakt. De reden waarom deze hoek telkens berekend en aangepast moet worden, wordt in appendix n<sup>o</sup> IV behandeld.

integer en = keller elementnummer

real E = elasticiteitsmodulus

I = oppervlakte traagheid van de dwarsdoorsnede

A = oppervlakte dwarsdoorsnede

array uc[1:6] = verplaatsingsvektor per element

R[1:3, 1:Ne] = rekken van de elementen.

kN[1:2, 1:N] = knooppuntcoördinaten.

kNH[1:2, 1:N] = hulparray voor de knooppuntcoördinaten.

LEN[1:2, 1:Ne] = lengtes van de elementen:  $l_{\text{oud}}$  -  $l_{\text{nieuw}}$ .

le[1:2, 1:Ne] = le-vektor

lup[1:3, 1:N] = lup-vektor

u[1:T] = verplaatsingsvektor van de constructie.

SI[1:3, 1:Ne] = spanningen in de elementen.

S[1:3, 1:3] = matrix voor de relatie tussen rekken en spanningen.

PSI[1:2, 1:Ne] = absolute hoekverdraaiing t.o.v. uitgangspositie van knooppunt 1 en 2 van element i.

PSIA[1:Ne] = hoeken, die de verbindingen tussen de knooppunten van element i maakt met de positieve x-as.

HOEK[1:Ne] = hoeken die de elementen in uitgangspositie met de x-as maken.

procedure UITVOER (Ne, k, M).

In deze procedure wordt de matrix M op een speciale vertikale wijze uitgevoerd.

integer Ne = aantal rijen van de matrix.

k = aantal kolommen van de matrix

array M[1:Ne, 1:k].

procedure VERTVEKTOR (SI, DEDU, vektor, en)

In deze procedure wordt een vektor met een matrix vermenigvuldigd en opgeborgen in "vektor".

integer en = keller voor elementnummer

array SI[1:3, 1:Ne] = spanningen in de elementen

DEDU[1:3, 1:6] =  $Q_1 + O(E)$

vektor[1:6].

procedure RECHTERLID (vektor, rechter, en, le, lnp)

In deze procedure wordt de uitwendige belastingvektor berekend, door de krachtrektoren, getransformeerd naar het globaal assensysteem, per element over de gehele constructie bij elkaar op te tellen.

Het resultaat wordt opgeslagen in de vektor rechter.

integer en = teller voor elementnummer

array vektor[1:6] = krachtrektor per element getransformeerd naar het globaal assensysteem.

rechter[1:T] = wordt de benaderde uitwendige belastingvektor in opgeslagen.

le[1:2, 1:Ne] = le-vektor

lnp[1:3, 1:N] = lnp-vektor.

procedure BANDBREEDTE (ae, ske, avk, lnp, le2, lb)

In deze procedure wordt de bandbreedte van de stijfheidsmatrix berekend.

integer ae = aantal elementen

ske = aantal knooppunten per element

avk = aantal vrijheidsgraden per knooppunt

lb = bandbreedte

array lnp[1:3, 1:N] = lnp-vektor

le2[1:2, 1:Ne] = le-vektor.

Loos in het begin van dit hoofdstuk gesteld is, volgt nu een korte beschrijving van het hoofdprogramma (05064600) aan de hand van het gemaakte blok-schema:

Allereerst worden de nodige invoergegevens ingelezen, waarna met de procedure UITGANGSHOEK de hoeken van de elementen met de positieve x-as in uitgangspositie worden vastgelegd. De procedure BANDBREEDTE bepaalt vervolgens de te verwachten bandbreedte van de totale stijfheidsmatrix. Nadat de totale uitwendige belastingvektor is ingelezen, wordt de belastingstap bepaald door de componenten van de totale belastingvektor te delen door het aantal geschatte stappen in de belasting. Hierna wordt met behulp van de procedures HULP, STYFEL, GOM, ORDEEPS, DEPSDU, VERMENIGVULDIGING, OPTELLING en QKONSTRUKTIE de totale stijfheids-

matrix van de constructie bepaald. Met de procedures VERHVEKTOR en RECHTERLID wordt de belastingvektor berekend door alle snedegrootheden in de knooppunten bij elkaar op te tellen en op de juiste wijze in de vektor rechterlID op te bergen. De vektor rechterlID wordt nu opgewuld met het verschil van de werkelijke belastingvektor en de roqistgewulde vektor rechter. Het zal duidelijk zijn, dat voor de exakte oplossing dit verschil gelijk aan nul zal moeten zijn. Dit zal echter meestal niet het geval zijn. Daarom hebben we een aantal criteria ingelien waaraan de vektor rechterlID zal moeten voldoen om tot uitvoering van de volgende stap over te gaan. Deze criteria zijn als volgt vastgelegd: een procentuele afwijking van „procent“ % van de werkelijke belastingvektor, indien de component ongelijk aan nul is en een absolute afwijking per grootte van „absol“ in dien de component gelijk aan nul is. We hebben nu duidelijk 2 mogelijkheden:

Ⓐ Aan de gestelde criteria wordt voldaan.

Eerst wordt nu gekeken of de werkelijke belastingvektor groter of gelijk is aan de totale belastingvektor, zo ja, dan wordt het programma beëindigd, zo nee, dan wordt de volgende belastingstap uitgevoerd, nadat ook eerst weer gekeken is of we de belastingstap moeten vergroten of verkleinen, wat afhankelijk gesteld is van het aantal iteratiestappen uit de voorgaande stap. Vervolgens wordt de werkelijke belastingvektor en de vektor rechterlID gecorrigeerd met deze nieuwe belastingstap. Ten slotte worden alle gegevens van de voorgaande stap uitgevoerd: te weten, knooppuntnoördinaten, rekken en spanningen.

Ⓑ Aan de gestelde criteria wordt niet voldaan.

Men wordt eerst gecontroleerd of het aantal reeds uitgevoerde iteratiestappen beneden een bepaald in te lieren getal ligt. Is dit het geval dan wordt de volgende iteratiestap uitgevoerd. Is dit echter niet het geval, dan wordt opnieuw met het iteratieproces gestart, en wel met halve stapgrootte in de belasting. De vektor rechterlID en werkelijke belastingvektor moeten uiteraard gecorrigeerd worden vóórdat met het iteratieproces gestart kan worden.

Nu wordt het stelsel  $Qsu = rechterlid$  opgelost met behulp van de procedure CHOLBD. Mocht de matrix  $Q$  niet positief definitief zijn, dan wordt opnieuw gestart bij het einde van de voorgaande stap, maar dan met halve stap grootte in de belastings. De vektormatrix en werkelijke belastingsvektor moeten weer aangepast worden. Het niet positief definitief zijn van de stijfheidsmatrix  $Q$  kan maximaal 5x achter elkaar gebeuren, omdat bij een aantal groter dan 5 het programma beëindigd wordt (het getal 5 kan vrij eenvoudig in het programma gewijzigd worden). Is de stijfheidsmatrix  $Q$  wel positief definitief, dan wordt het stelsel met CHOLBD opgelost en met behulp van de procedure REKSPANITERATIE de knooppuntscoördinaten aangepast, spanningen en rekken berekend etc. Hierna wordt weer opnieuw met de opbouw van de stijfheidsmatrix en rechterlid begonnen, waarna het hiervoor beschreven proces weer telkens herhaald wordt.

## V Lineaire Stabiliteit.

In hoofdstuk IV is de volgende relatie voor geometrisch niet-lineaire problemen afgeleid:

$$\left\{ \sum_{k=1}^N \frac{\partial \varepsilon_i}{\partial u_k} s_{ij} \frac{\partial \varepsilon_j}{\partial u_p} + \sigma_j \frac{\partial \varepsilon_j}{\partial u_k \partial u_p} \right\}_{u=u_k^t} = f_k - \left\{ \sum_{k=1}^N \varepsilon_i s_{ij} \frac{\partial \varepsilon_j}{\partial u_p} \right\}_{u=u_k^t} \quad (\text{I1})$$

Bij lineaire stabiliteit of knik, wordt aangenomen, dat de lineaire relaties tussen de verplaatsingen en rekken gehandhaafd blijven, zodat we de  $\sigma(\varepsilon)$  bijdrage rustig kunnen verwaarlozen.

$$\frac{\partial \varepsilon_i}{\partial u_p} = Q_i \quad (\text{I2})$$

Substitutie van (I2) in (I1) geeft nu de volgende vergelijking in matrix-notatie (zie formules (VIII 5)).

$$\left\{ \sum_{k=1}^N Q_i^T s_{ij} Q_j + N G_1 + M_0 G_2 + M_1 G_3 \right\} \Delta u_k = f_k - \left\{ \sum_{k=1}^N \sigma^T Q_i \right\} \quad (\text{I3})$$

Het stapsgewijze proces van (I3) is niet meer nodig, vanwege het lineair blijven, zodat vergelijking (I3) zich reduceert tot

$$\left\{ \sum_{k=1}^N Q_i^T s_{ij} Q_j + N G_1 + M_0 G_2 + M_1 G_3 \right\} u_k = f_k \quad (\text{I4})$$

De constructie is dan en slechts dan instabiel, zodra de relatie tussen belasting en verplaatsing niet meer gedefinieerd is. Dit betekent, dat het stelsel (I4) afhankelijk wordt, wat we als volgt kunnen formuleren:

$$\text{Het } \left\{ Q_i^T s_{ij} Q_j + N G_1 + M_0 G_2 + M_1 G_3 \right\} = 0 \quad (\text{I5})$$

De waarden van de spanningvectoren, want deze zijn immers nog de enige variabelen in (I5), waarbij (I5) afhankelijk wordt, zal de laagste eigenwaarde van het stelsel zijn. De hierbij behorende spanningvectoren kunnen we berekenen, zodat we ook de uitwendige belastingvector



kunnen bepalen, waarbij de constructie juist instabiel is. Deze hiervoor omschreven proceduregang ligt aan het computerprogramma 05064355, "berekening van de knikkracht van een vakwerk, met behulp van de elementenmethode, waarin tevens de verplaatsingen en de krachten in de knooppunten bepaald kunnen worden." aan ten grondslag. We zullen hier een korte beschrijving van het programma geven aan de hand van het bijgaande blok-schema:

We beginnen met het inzien van de nodige invoergegevens waarbij we met behulp van de procedure PROFIELKEUZE in staat zijn om in principe een constructie met 5 soorten balkelementen te berekenen. Vervolgens wordt met de procedures HMLP, STYFEL, DEPSDU, VERMENIGVULDING en QKONSTRUKTIE de totale stijfheidsmatrix van de constructie opgebouwd. Met de bibliotheekprocedures CHOLESKI DECOMPOSITION en CHOLESKISOLUTION wordt het lineaire stelsel

$$Qu = f \quad (I6)$$

opgelost. Hierna wordt voor elk element de verplaatsingsvektor i.o.v. het globale assenstelsel getransformeerd naar het lokale assenstelsel, zodat we met behulp van formule (I1) de lokale spanningen in het element kunnen berekenen. Deze spanningen zijn nu ook juist de grootte, die we in de procedure GOM nodig hebben om de geometrische matrices te vullen, zodat we de totale geometrische matrix van de constructie kunnen opbouwen. Met behulp van de bibliotheekprocedure GENERAL EIGEN VALUE PROBLEM lossen we nu het volgende stelsel op:

$$\det(Q - \lambda P) = 0 \quad (I7)$$

Deze procedure berekent de eigenwaarden en eigenvectoren van de constructie. De kleinste eigenwaarde nu is een maat voor de knikbelasting, het is namelijk een vermenigvuldigingsfactor, zodat we voor de knikbe-

lasting het volgende kunnen schrijven:

$$K_{\text{knik}} = K * P_k$$

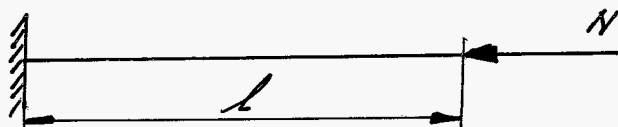
$$K_{\text{knik}} = \text{knikbelasting}$$

$$K = \text{uitwendige belastingsvector}$$

$$P_k = \text{laagste eigenwaarde, de vermenigvuldigingsfactor}$$

De bij de laagste eigenwaarde horende eigenvector geeft tenslotte een beeld hoe de stand van de constructie na inknikken is.

We stellen nu het volgende voorbeeld voorrekenen:



$$E = 1 \text{ N/m}^2$$

$$L = 1 \text{ m}$$

$$I = 1 \text{ m}^4$$

We vinden het volgende stelsel:

$$\begin{bmatrix} 1 & 0 & 0 \\ 0 & 12 & 6 \\ 0 & 6 & 4 \end{bmatrix} \begin{bmatrix} u_2 \\ w_2 \\ \psi_2 \end{bmatrix} = \begin{bmatrix} -N \\ 0 \\ 0 \end{bmatrix}$$

$$u_2 = -N$$

$$w_2 = 0$$

$$\psi_2 = 0$$

$$E_1 = -N$$

$$E_2 = 0$$

$$E_3 = 0$$

$$\underline{\sigma} = [-N \ 0 \ 0]$$

Vergelijking (I7) krijgt nu de volgende gedaante:

$$\det \left[ \begin{bmatrix} 1 & 0 & 0 \\ 0 & 12 & 6 \\ 0 & 6 & 4 \end{bmatrix} + \frac{N}{30} \begin{bmatrix} 0 & 0 & 0 \\ 0 & 36 & 3 \\ 0 & 3 & 4 \end{bmatrix} \right] = 0$$

Hier kunnen we herleiden tot:

$$\det \left[ \frac{180}{N} \begin{bmatrix} 1 & 0 & 0 \\ 0 & 1 & 0 \\ 0 & 0 & 1 \end{bmatrix} + \begin{bmatrix} 0 & 0 & 0 \\ 0 & 63 & -90 \\ 0 & -6 & 15 \end{bmatrix} \right] = 0$$

Stellen we nu  $\lambda = \frac{180}{N}$  dan moeten we het volgende eigenwaardeprobleem oplossen:

$$\det \begin{bmatrix} -\lambda & 0 & 0 \\ 0 & 63-\lambda & -90 \\ 0 & -6 & 15-\lambda \end{bmatrix} = 0$$

De karakteristieke vergelijking is nu:

$$-\lambda \{ (63-\lambda)(15-\lambda) - 540 \} = 0 \quad \text{met als eigenwaarden}$$

$$\lambda_1 = 0$$

$$\lambda_2 = 72$$

$$\lambda_3 = 6$$

$$\text{d.w.} \quad \frac{180}{N} = 72$$

De knikbelasting is nu:  $P_{KN} = \frac{180}{72} = 2,5 \text{ N}$ .

oftewel voor willekeurige  $E, I$  en  $l$ :

$$P_{KN} = 2,5 \frac{EI}{l^2} \text{ N}$$

De exakte oplossing is:

$$P_{\text{euler}} = 2,485 \frac{EI}{L^2} \text{ N.}$$

In literatuur (III) heb ik de stabiliteit behandeld aan het effect van de normaaltraect. Tijdens de bestudering van de geometrische niet-lineariteit bleek echter, dat de geometrische matrices  $G_2$  en  $G_3$  (zie hoofdstuk II), ook nog een rol spelen in het eigenwaarde probleem. In literatuur (IV) wordt echter duidelijk gesteld, dat het moment geen invloed heeft op de stabiliteitswaarde. Daarom is het programma 05064355 geschreven om eventueel verschillen in de knikkbelasting aan te tonen. De conclusie moet zijn, dat er, althans voor de berekende voorbeelden, geen enkel verschil bestaat voor de knikkbelasting. Voor hogere eigenwaardes trad een aanzienlijk verschil op.

## VI Resultaten en opmerkingen

Met het in hoofdstuk IV beschreven computerprogramma 05064608 hebben we een aantal voorbeelden door-  
gerekend, waarvan de gegevens vermeld zijn in appendix I.  
Op de eerste plaats is de eendijzig ingeklunde bladveer  
belast met een uitwendig buigend moment berekend  
om het programma te testen. We vonden met verschil-  
lende aantallen elementen een zeer goede benadering  
van de exakte kromme (grafiek II). Grafiek III geeft  
de vervormde toestand van de bladveer weer bij  
 $M = 46,752 \text{ Nm}$  en bij  $M = 42 \text{ Nm}$ .

Grafiek IV geeft de verharakteristiek van een bladveer  
belast met een dwarskracht. Verificatie vindt van deze  
resultaten in grafiek V plaats. In deze grafiek is de  
getrokken lijn berekend op de klassieke methode te  
werken met de elliptische integralen, zie literatuur  
(I + II). In literatuur (I) wordt bovendien de  
beschrijving van een ana-element gegeven voor grote  
verplaatsingen. De streep-stip lijn in grafiek VI is  
de berekende kromme met het in dit verslag be-  
schreven geometrisch niet-lineaire balkelement. De  
conclusie moet zijn, dat het resultaat uitbekend  
klopt met de klassieke oplossing. Grafiek VII geeft een  
indruk van de vervormde toestand van een blad-  
veer onder een dwarskracht van 150 N.

Grafiek VIII geeft de verharakteristiek t.g.v. een  
dwarskracht en buigend moment van een pendel.  
Grafiek IX geeft weer een indruk van de vervormde  
toestand bij een moment van 1,45 Nm en een dwarskracht  
van 2,9 N.

Aan de hand van grafiek VIII kunnen we duidelijk een  
beperking van het programma demonstreren. In het  
programma kunnen we alleen maar een positieve  
respectievelijk negatieve belastingstap bedienen. Dit  
wil zeggen, zodra we een maximum respectievelijk  
minimum van de verharakteristiek nastreven, de

relatie tussen belasting en verplaatsing steeds slechter gedefinieerd zal zijn, ofte wel de totale stijfheidsmatrix zal niet zo best meer geconditioneerd zijn. Dit betekent dat in het programma steeds meer iteratiestappen plaatsvinden bij steeds kleinere wordende belastingstappen. De vraag rijst nu, hoe kunnen we nu over een dergelijk maximum respectievelijk minimum heenkomen. Het vermoeden bestond dat dit vrij gemakkelijk zou kunnen met een voorgeschreven verplaatsingsvektor in plaats van een belastingvektor. We hebben het programma aangepast, maar het bleek op grote moeilijkheden te stuiten en met de volgende:

De verplaatsingsvektor van de voorgaande stap wordt gebruikt voor de volgende stap. Het stelsel  $Q \cdot \Delta u = \Delta f$  wordt uitgerekend. We vinden nu een  $\Delta f$ . Deze  $\Delta f$  wordt nu gebruikt voor het formuleren van de nieuwe uitwendige belastingvektor. Het criterium voor het al of niet itereren hebben we ongewijzigd gelaten zodat berekend werd voor eventuele iteratiestappen het verschil

$$\varepsilon \leq \frac{\partial \varepsilon}{\partial u} - f.$$

Bij de berekeningen bleek, dat het iteratieproces bleef divergeren ook nog na een aantal malen halveren van de voorgeschreven verplaatsingsvektor. Kennelijk is de voorgeschreven verplaatsingsvektor  $\Delta u$  zo'n slechte schatting voor de werkelijke verplaatsingsvektor, dat de bij deze  $\Delta u$  behorende  $\Delta f$  zo slecht is (vaak veel te grote stappen gevonden voor  $\Delta f$ ) dat bij het itereren het proces divergeert. We zullen de voorgeschreven verplaatsingsvektor daarom preciezer moeten berekenen, bijv. door eerst  $x$  maal een belastingstap te doen, de bijbehorende verplaatsingsvectoren onthouden, om na deze  $x$  stappen door numerieke extrapolatie een betere schatting voor

de werkelijke su te krijgen.

Grafiek II geeft de verkenneristiek van een gekromde bladveer, terwijl grafiek III een inzicht geeft van de verwornde toestand. Aan de hand van dit voorbeeld zullen we een merkwaardig verschijnsel bespreken, wat ook bij de andere voorbeelden is geconstateerd. In grafiek IV hebben we de gekromde bladveer in 16 elementen verdeeld van ongeveer gelijke lengte. We constateren dat de verkenneristiek na 9 belastingsstappen op een grootte van 82 N is gekomen, het oppervlakte-traagheidsmoment is  $5 \cdot 10^{-11} \text{ m}^4$ . We laten het programma opnieuw rekenen met meer rekentijd en constateren dat na het bereiken van deze 82 N de stapgrootte het stuk afneemt en het aantal iteratiestappen sterk toeneemt. Dit laatste duidt erop dat het iteratieproces slecht convergeert. In 29 stappen bereiken we punt B in grafiek IV met nog een stapgrootte van 0,00125 N.

Grafiek V geeft de verkenneristiek van dezelfde gekromde bladveer met dit verschil, dat de veer nu in 8 elementen van ongeveer gelijke lengte verdeeld is. We merken onmiddellijk op, dat het proces hier netjes naar het maximum van de verkenneristiek loopt met redelijke stapgroottes van 2 à 4 N. De laatste stap was 0,5 N.

Het merkwaardige is nu, dat we met minder elementen kennelijk betere resultaten verkrijgen, waarvan mij de oorzaak op dit moment nog niet geheel duidelijk is. Een mogelijke verklaring is de volgende:

Als we een fijne elementverdeling hebben, dan bestaat de mogelijkheid, dat tijdens een belastingsstap een bepaald element weinig verwornd. Dat wil zeggen dat de relaties tussen spanning en verplaatsingen op dat moment slecht gedefinieerd zijn, omdat de kromme van de spanning-verplaatsing op een maximum respectievelijk minimum zit. Dit kan dan zijn effect hebben in de totale stijfheidsmatrix, die dan slecht gecondi-

tionerd kan zijn, kennelijk in die betekenis, dat ik de stapgrootte steeds kleiner zal moeten maken om het iteratieproces voldoende snel te laten convergeren. Met minder elementen zal de verworming per element groter zijn, zodat de spannings- verplaatsingsrelaties beter gedefinieerd zijn.

Wat het voorgaande kan misschien geconcludeerd worden, dat we de elementverdeling telkens moeten aanpassen en wel zodanig, dat een fijne elementverdeling aangebracht wordt in gebieden met grote spannings gradienten en een grove elementverdeling in gebieden waar de spanning weinig meer verandert.

Ik denk dat het gebruikte convergentie criterium goed moet zijn, omdat toch altijd aan evenwicht voldaan zal moeten worden.

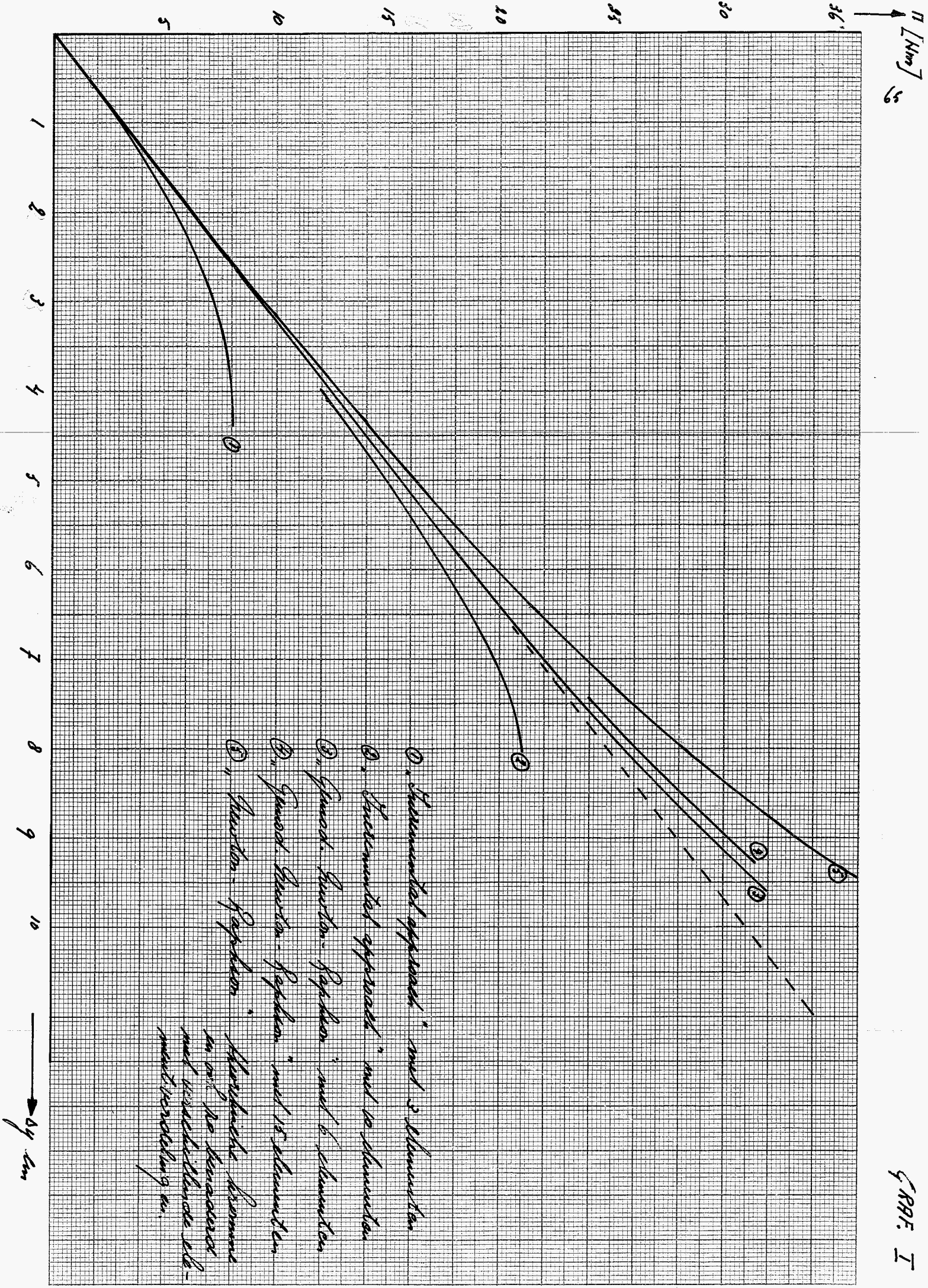
In grafiek VIII is de moment- verplaatsingskromme van een gekromde bladveer weergegeven met het slot in grafiek IX de verwornde toestand bij een moment van 50 Nm.



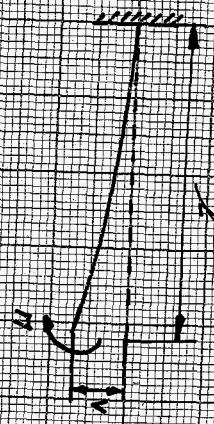
APPENDIX I

GRAFIEKEN

---

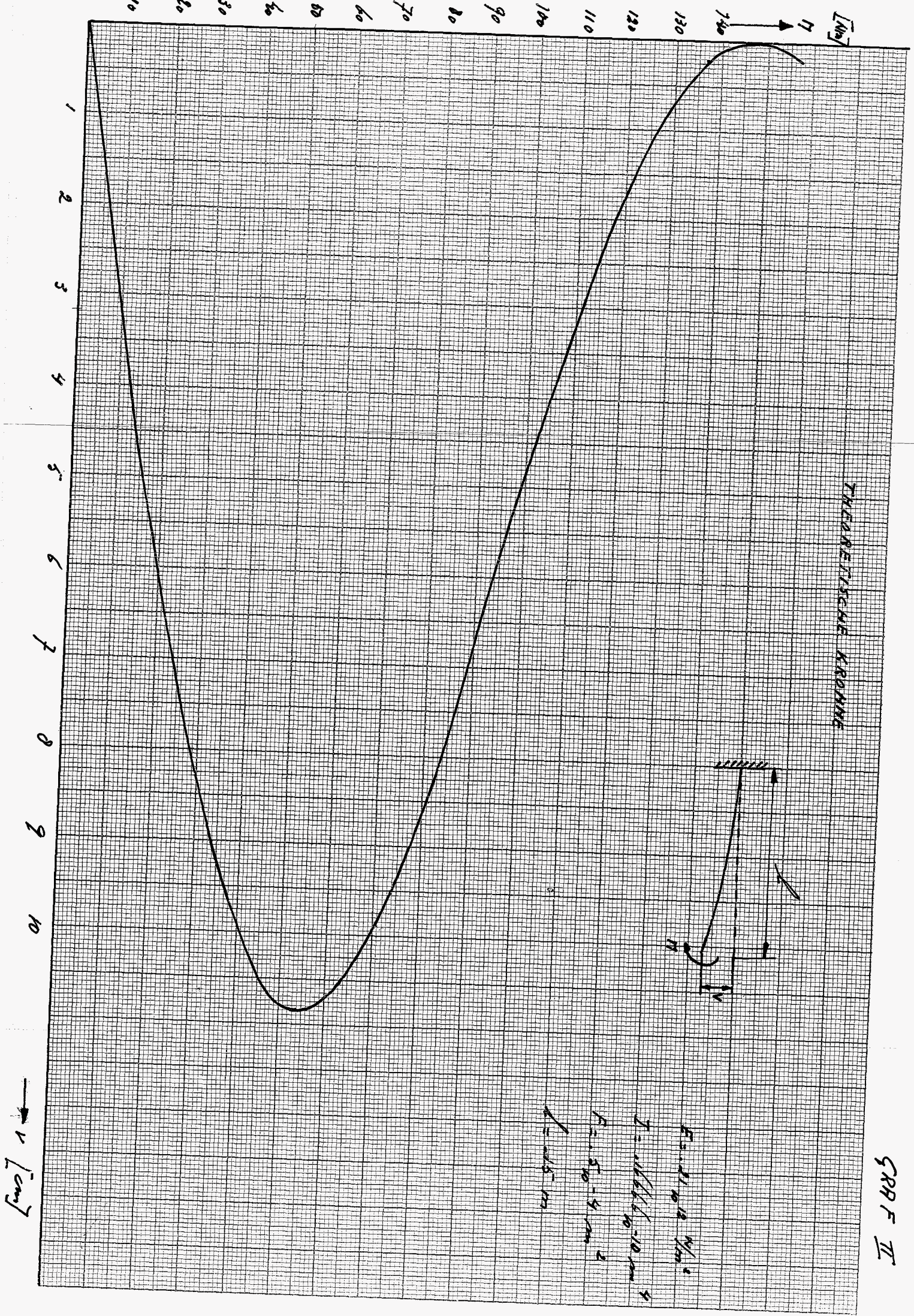


THEORETISCHE KRONING



$E = 21010 \frac{N}{mm^2}$   
 $I = 1166110 - 10 mm^4$   
 $F = 510 - 4 mm^2$   
 $L = 445 mm$

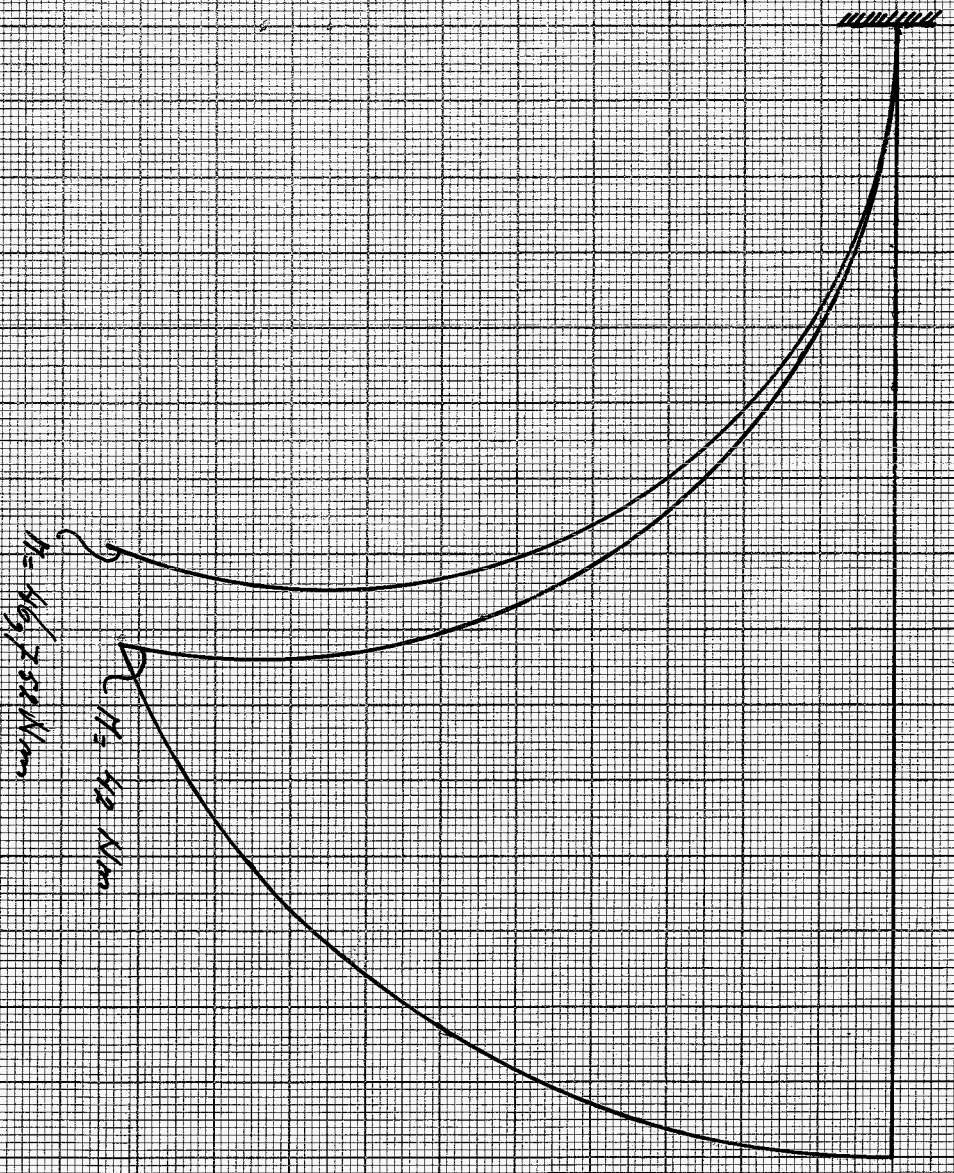
SRPF II



$v$  [cm]

VERLORENDE TOESTAND

Fig. 1. AITWENDING MOMENT



max. moment = 469.75 kNm.

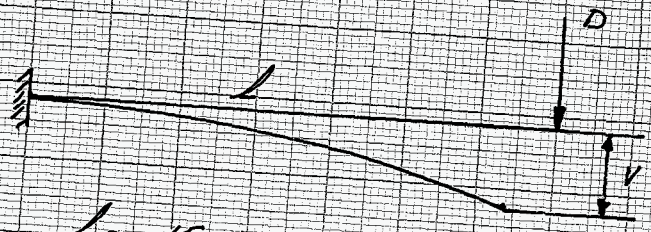
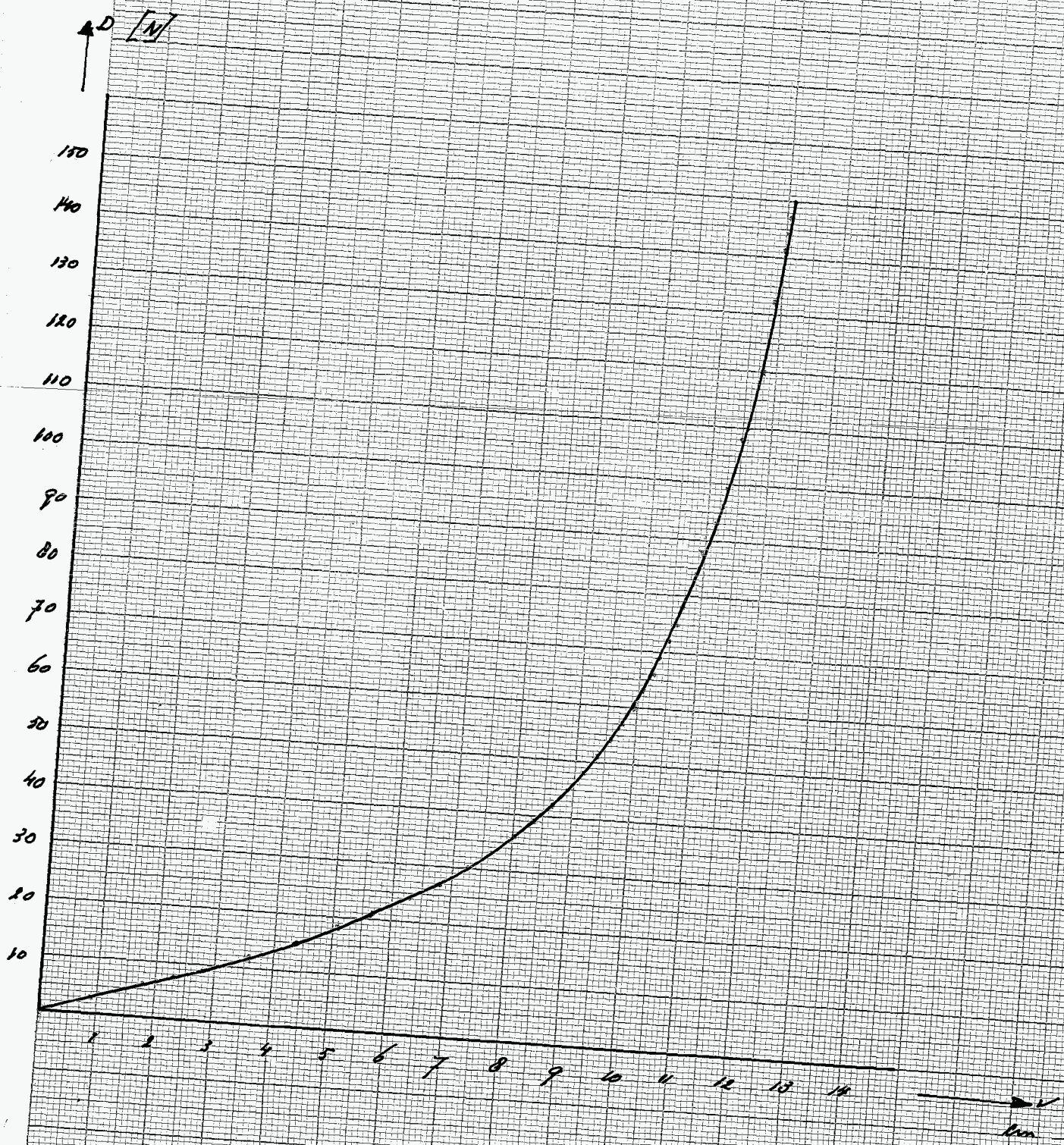
$l = 0.15 \text{ m}$

$F = 0.5 \cdot 4 = 2 \text{ m}^2$

$I = 0.16666 \cdot 10^{-10} \text{ m}^4$

$E = 0.1 \cdot 10^{10} \text{ N/m}^2$

# GRAF IV



$E = 10^{12} \frac{N}{m^2}$

$l = 15 \text{ m}$

$I = 16666 \cdot 10^{-11}$

$R = 15 \cdot 10^{-4}$

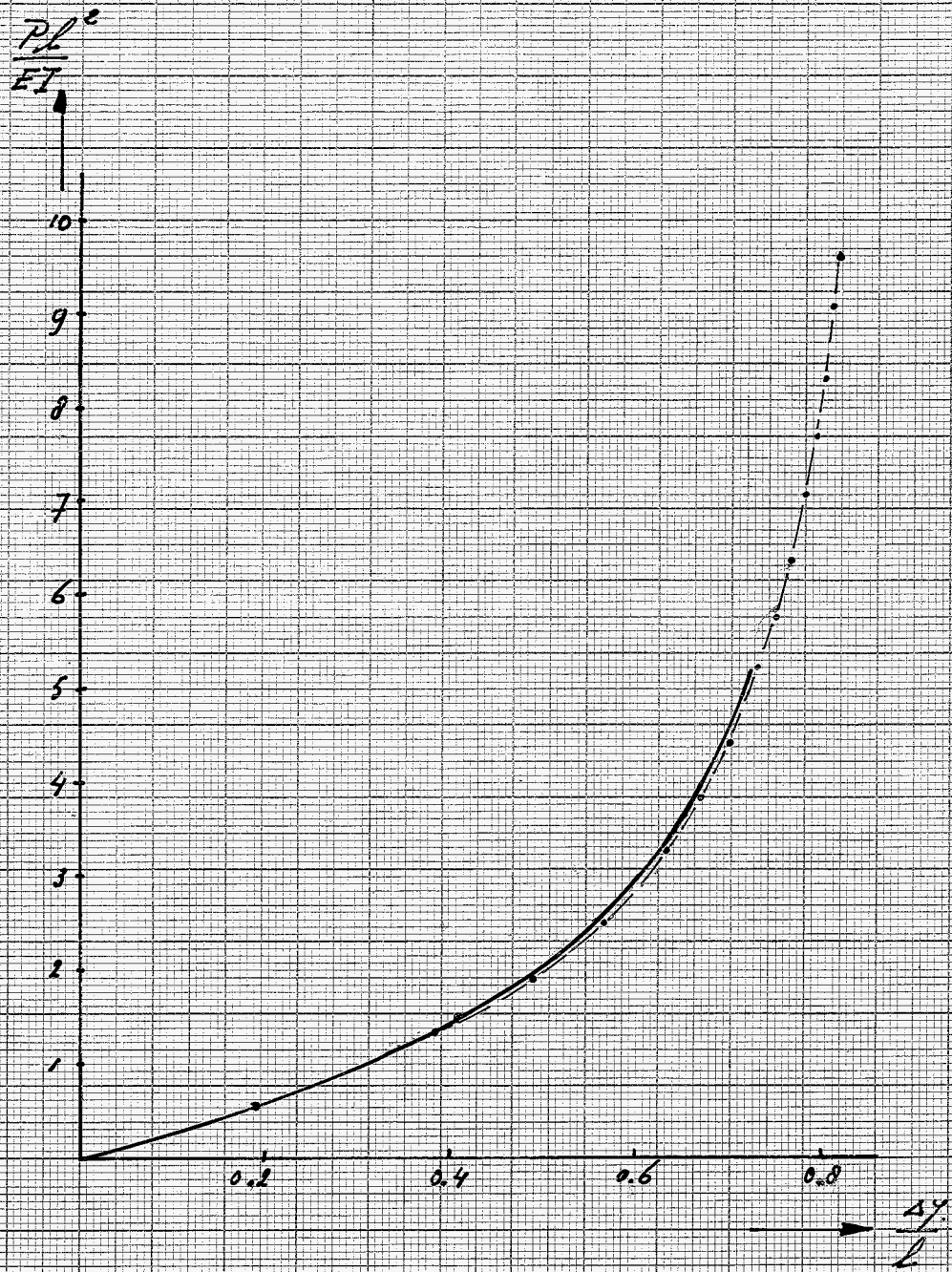
5 Elementen



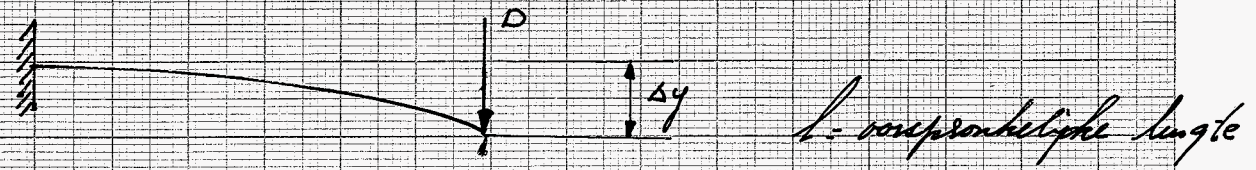
REKONSTRUKTION TEST RND

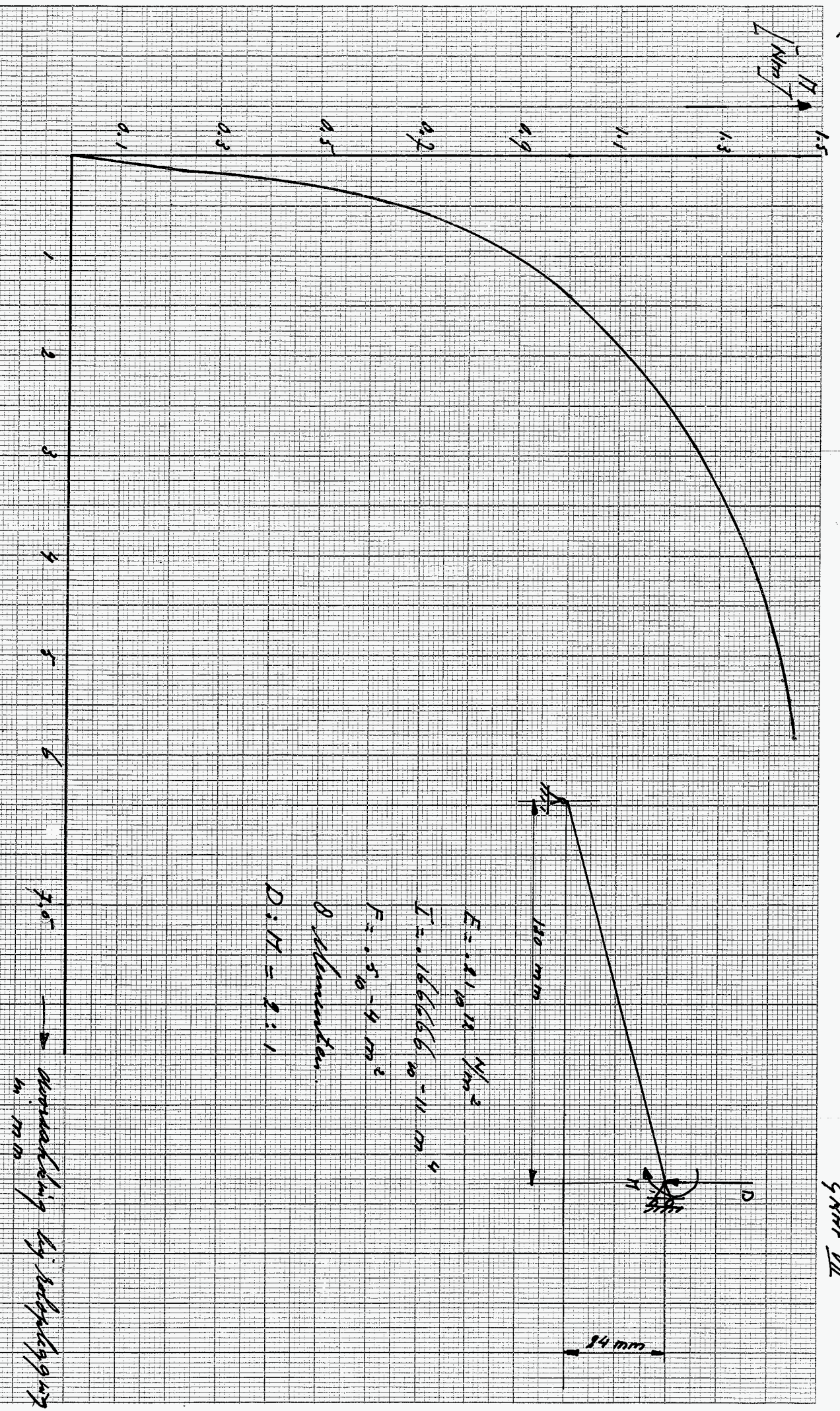
GRAF. I

GRAF VI



— : oplossing met elliptische integralen  
 -•- : resultaten met programma 05064600  
 (de punten zijn de berekende punten)

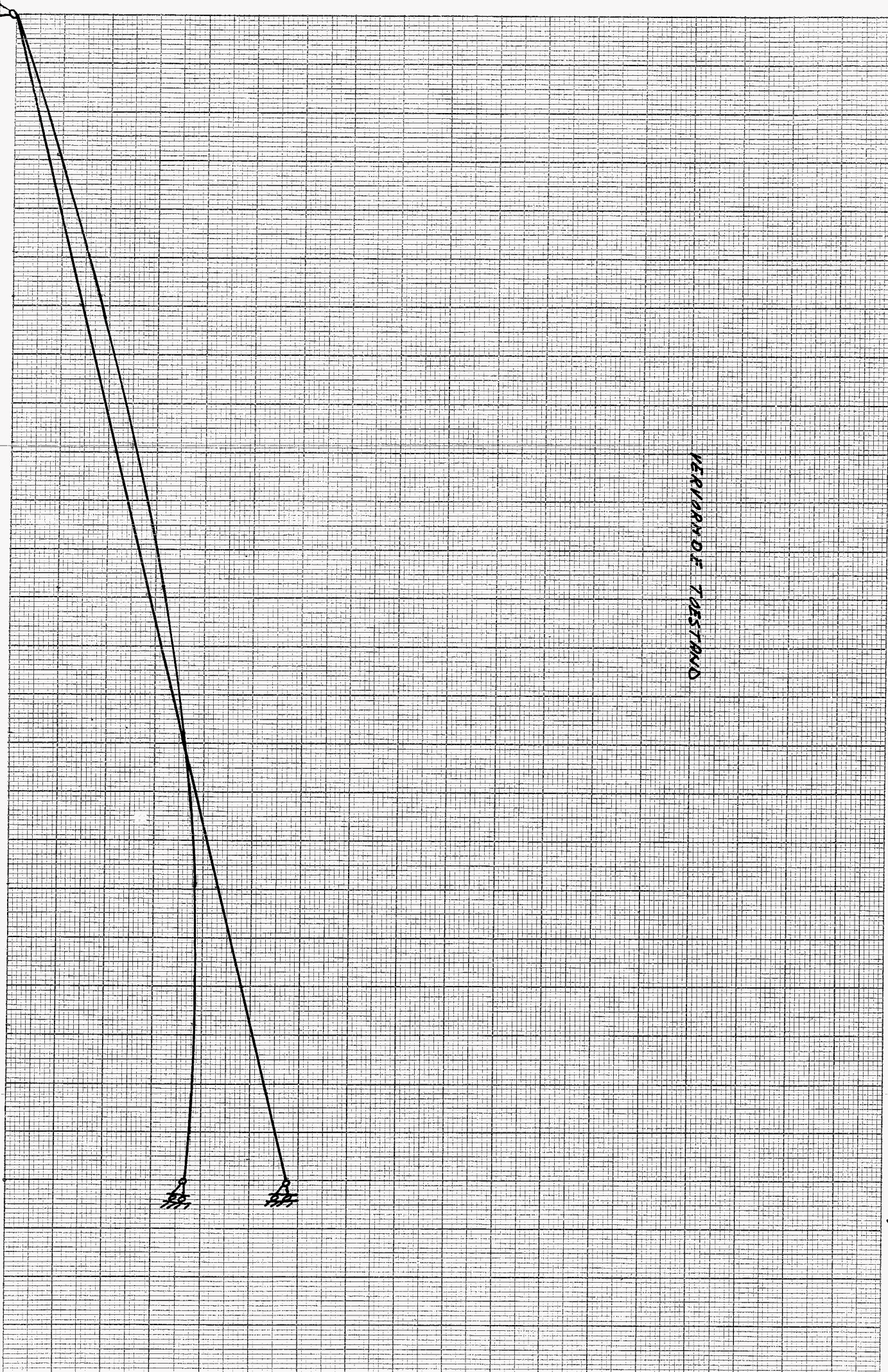


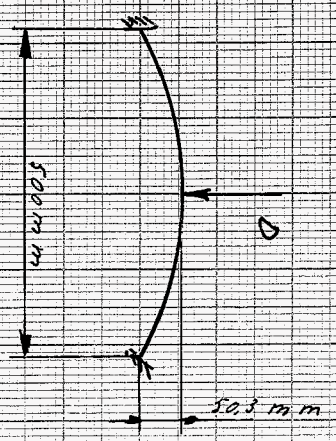




VERBOD DE TOEGANG

SRPF III





16 Aluminium

$$E = .81 \cdot 10^{12} \text{ N/m}^2$$

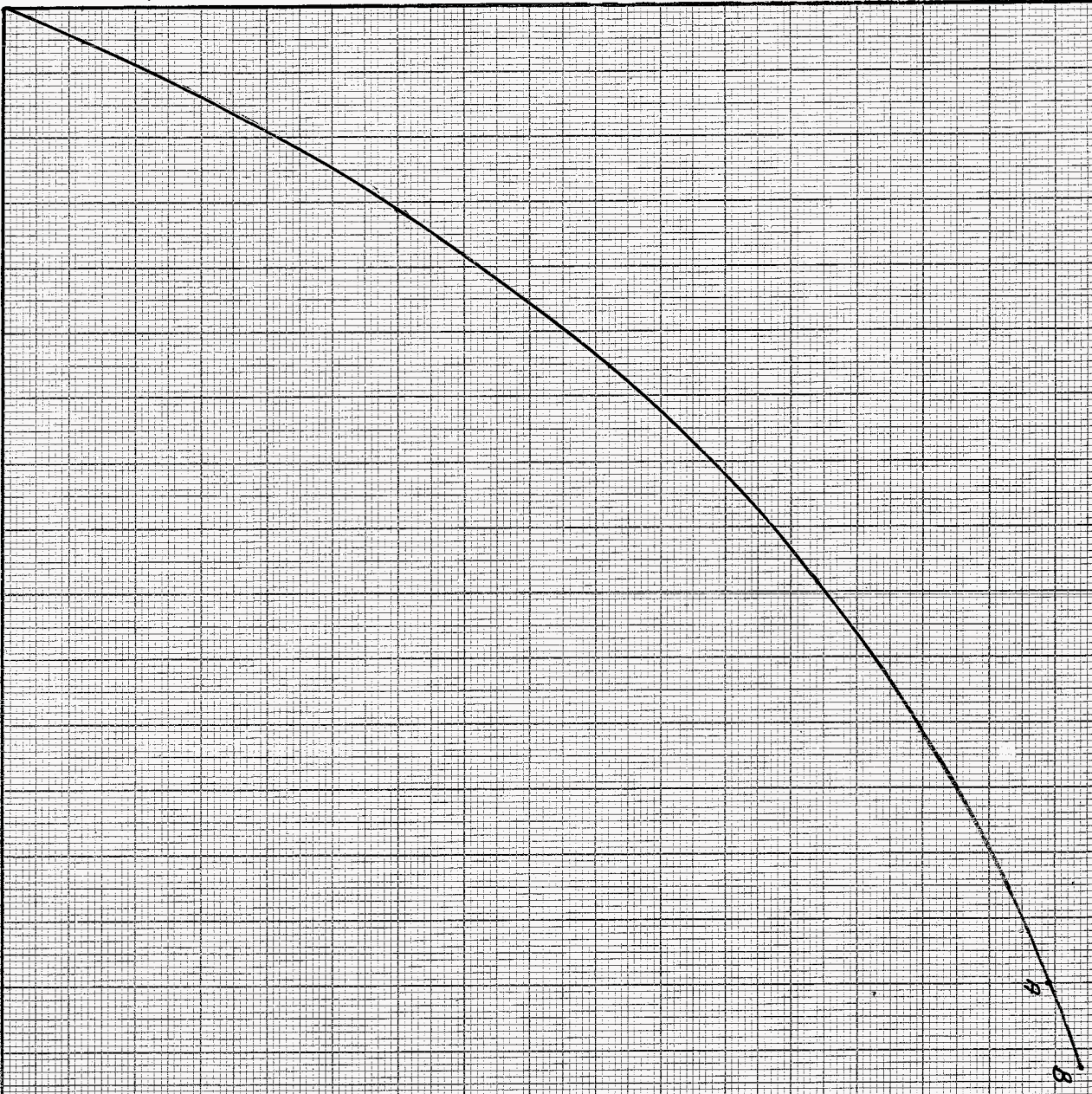
$$I = .5 \cdot 10^{-11} \text{ m}^4$$

$$F = .5 \cdot 10^{-4} \text{ m}^2$$

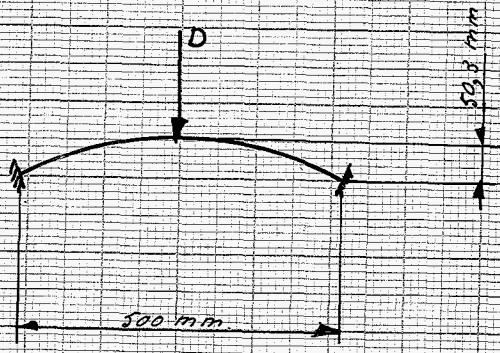
Abstand  $\rightarrow$  5 cm

0 .1 .2 .3 .4 .5 .6 .7 .8 .9 1

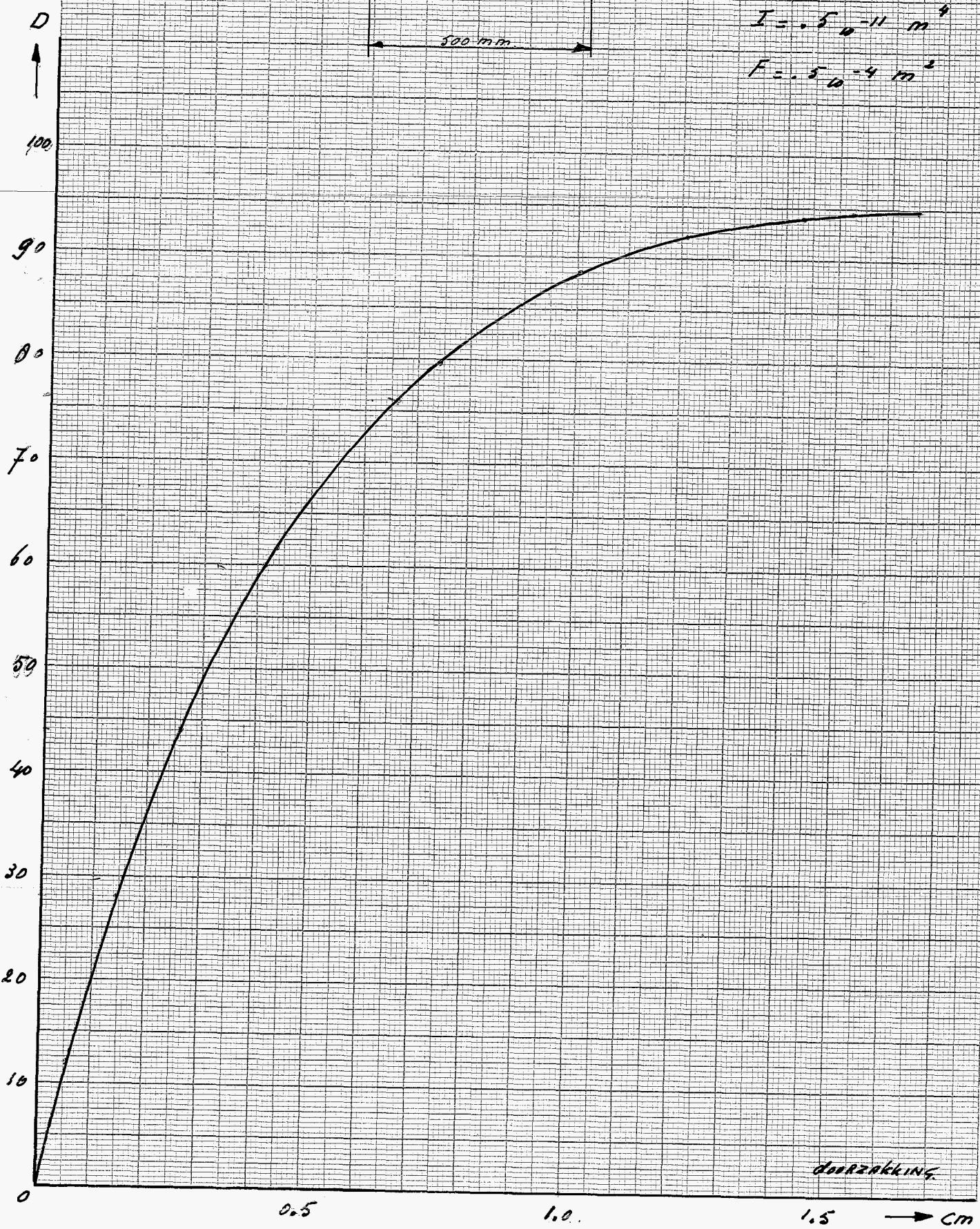
0 20 40 60 80 100



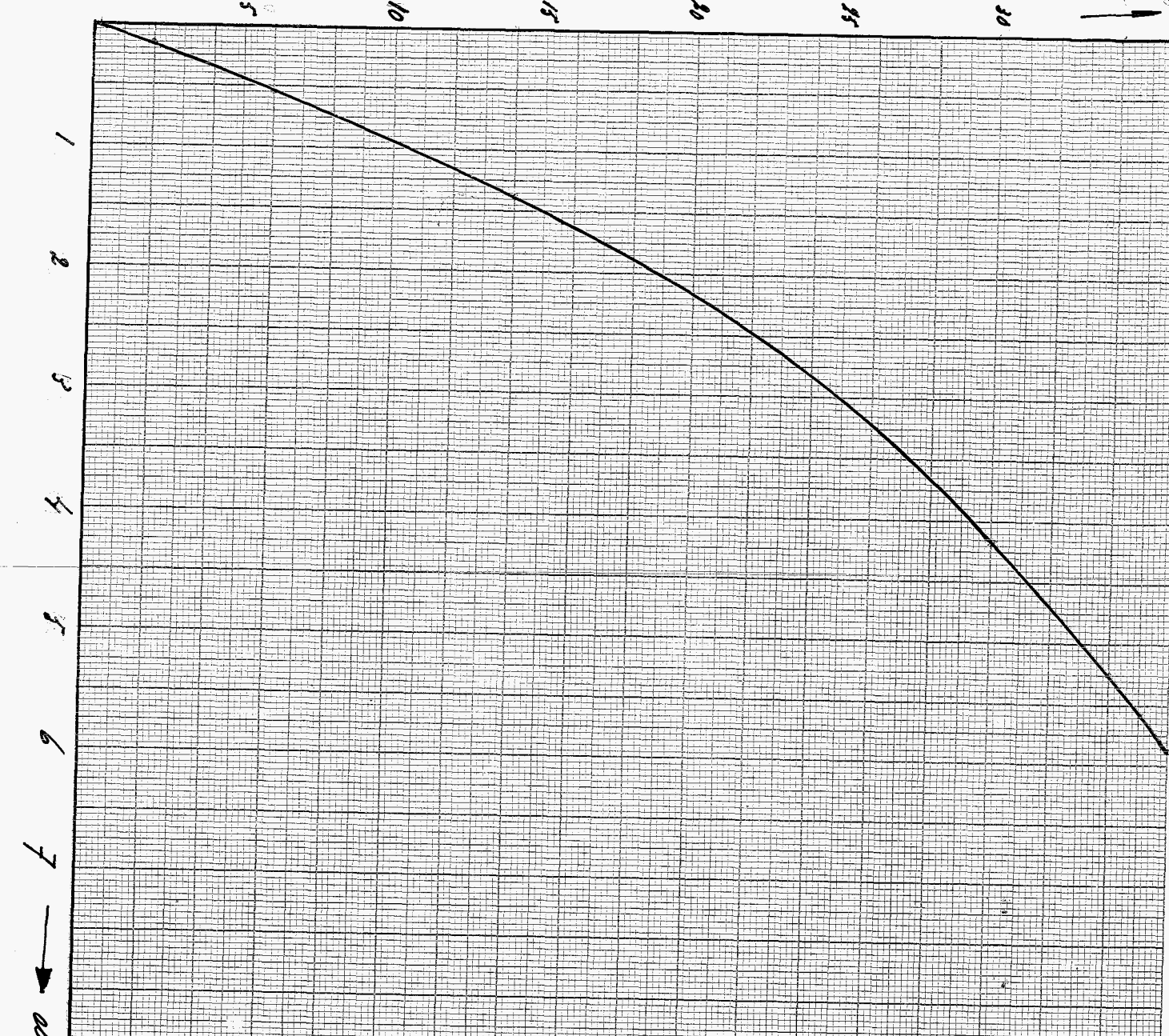
GRAF II



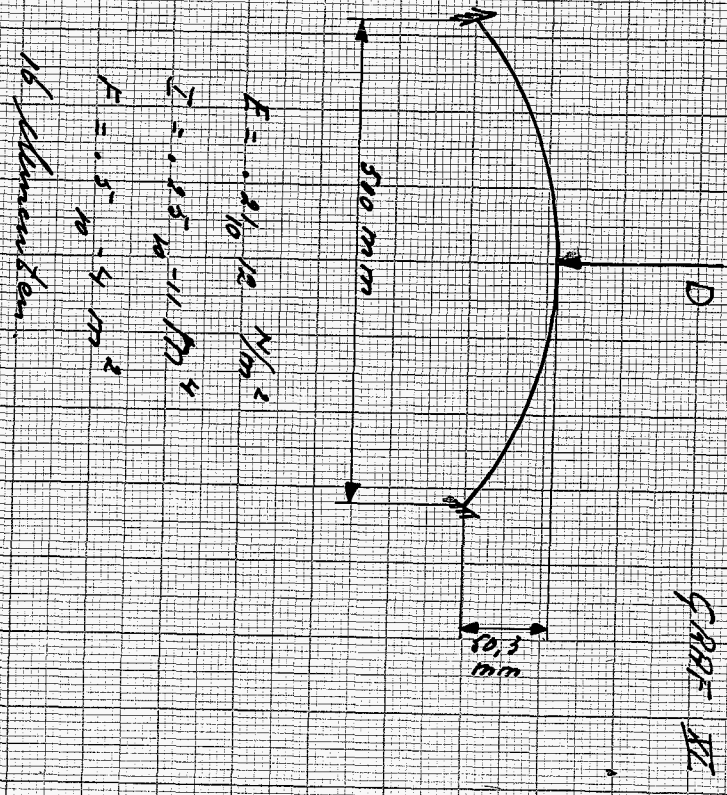
$\delta$  elementen.  
 $E = .21 \cdot 10^{12} \frac{N}{m^2}$   
 $I = .5 \cdot 10^{-11} m^4$   
 $F = .5 \cdot 10^{-4} m^2$



doorzakking



→ accuracy in mm.

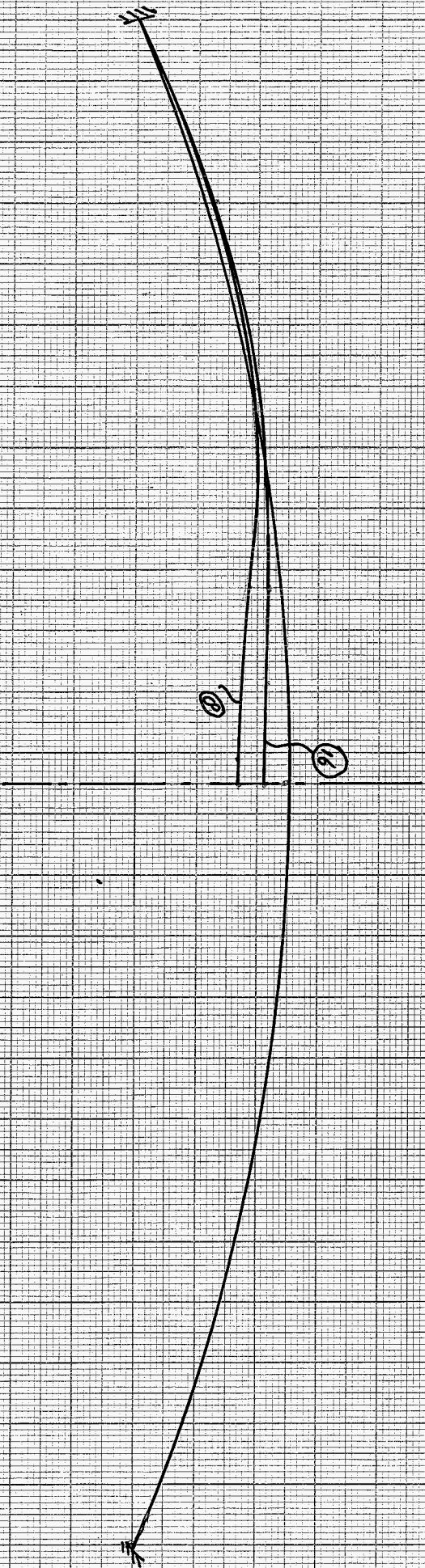


$$E = \frac{210}{12} \text{ N/mm}^2$$

$$I = 0.25 \times 10^{-11} \text{ m}^4$$

$$L = 0.5 \times 10^{-4} \text{ m}^2$$

16 Sekunden



GRAF III

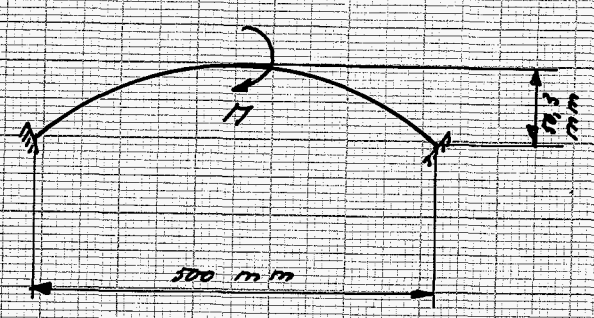
VERGÄNGE TESTRAID

HOREND BY GRAFIK N° II null 16 km. (16)

EN GRAFIK N° I und 20 km (20)

[Nm]

52  
48  
44  
40  
36  
32  
28  
24  
20  
16  
12  
8  
4  
0



$$E = 21 \cdot 10^4 \frac{\text{N}}{\text{m}^2}$$
$$I = 5 \cdot 10^{-11} \text{ m}^4$$
$$F = 5 \cdot 10^{-4} \text{ m}^2$$

8 Stufen

0 1 2 3 → x [m]

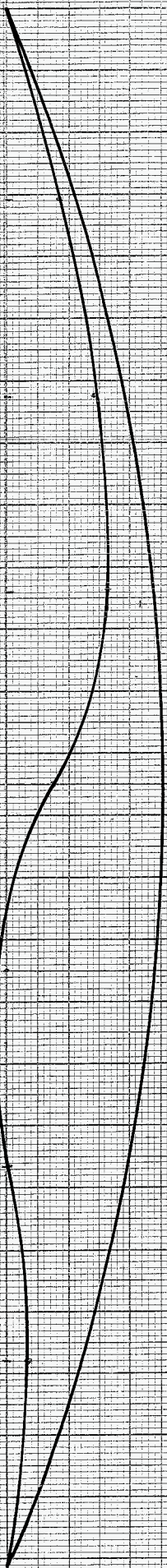
DOORZAKWINS

GRAPH XIV

VERVORDE TOESTRAND

ANNEXE BY GRAFIEK N<sup>o</sup> III

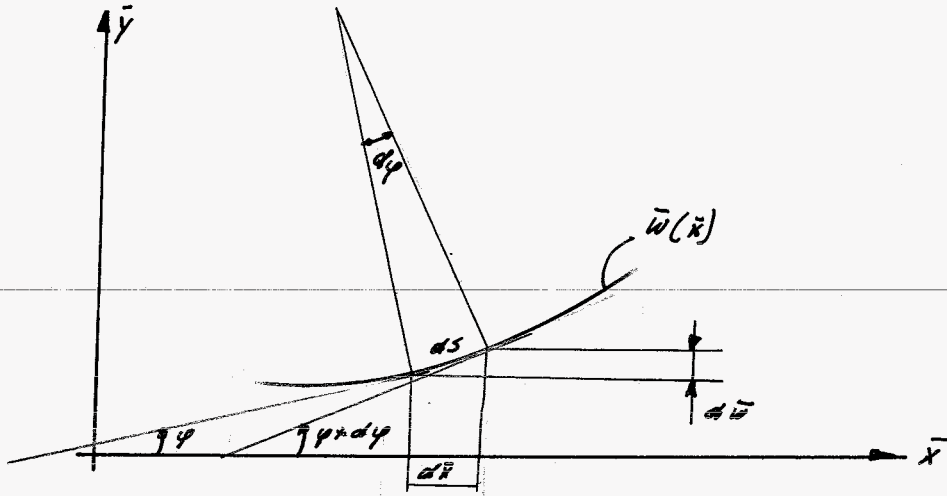
J. H. van der Vliet



APPENDIX II

Bepaling van  $\int_{x=0}^l \left(\frac{d\bar{w}}{d\bar{x}}\right)^2 d\bar{x}$

We beschouwen een element in vervormde toestand:



We kunnen de lengte van het balklement in vervormde toestand berekenen.

$$l_{\text{vervormd}} = \int_0^l ds$$

Verder kunnen we de volgende relaties afleiden:

$$ds = (d\bar{x}^2 + d\bar{w}^2)^{1/2}$$

$$ds = \left(1 + \left(\frac{d\bar{w}}{d\bar{x}}\right)^2\right)^{1/2} d\bar{x}$$

$$ds \approx \left\{1 + \frac{1}{2} \left(\frac{d\bar{w}}{d\bar{x}}\right)^2\right\} d\bar{x}$$

$$l_{\text{vervormd}} = \int_0^l \left\{1 + \frac{1}{2} \left(\frac{d\bar{w}}{d\bar{x}}\right)^2\right\} d\bar{x}$$

De oorspronkelijke lengte van het element is  $l$ , zodat de lengteverandering h. g. v. het  $\bar{w}$ -veld gelijk is aan:

$$l_{\text{vervormd}} - l = \frac{1}{2} \int_0^l \left(\frac{d\bar{w}}{d\bar{x}}\right)^2 d\bar{x}$$

Het  $\bar{w}$ -veld hebben we met een 3<sup>de</sup> graads-polynoom benaderd; bereikt we het  $\bar{u}$ -veld met een eerste-graads polynoom benaderd hebben.



$$\bar{w} = a_3 + a_4 \bar{x} + a_5 \bar{x}^2 + a_6 \bar{x}^3$$

$$\bar{u} = a_1 + a_2 \bar{x}$$

De randvoorwaarden zijn:

$$\bar{x} = 0 \quad \bar{u} = 0$$

$$\bar{w} = 0$$

$$\frac{d\bar{w}}{d\bar{x}} = \bar{\psi}_1 = \epsilon_2$$

$$\bar{x} = l^3 \quad \bar{u} = l - l^3 = u_2$$

$$\bar{w} = 0$$

$$\frac{d\bar{w}}{d\bar{x}} = -\bar{\psi}_2 = -\epsilon_3$$

Met deze randvoorwaarden kunnen we voor het  $\bar{w}$ -veld de volgende vergelijking afleiden:

$$\bar{w} = \epsilon_2 \bar{x} \left\{ 1 - \frac{\bar{x}}{l^3} \right\}^2 + \epsilon_3 \frac{\bar{x}^2}{l^3} \left\{ 1 - \frac{\bar{x}}{l^3} \right\}$$

of in vektornotatie:

$$\bar{w} = \begin{bmatrix} 0 & \bar{x} \left\{ 1 - \frac{\bar{x}}{l^3} \right\}^2 & \frac{\bar{x}^2}{l^3} \left\{ 1 - \frac{\bar{x}}{l^3} \right\} \end{bmatrix} \epsilon$$

$$\frac{d\bar{w}}{d\bar{x}} = \begin{bmatrix} 0 & 1 - \frac{4\bar{x}}{l^3} + 3 \left( \frac{\bar{x}}{l^3} \right)^2 & \frac{2\bar{x}}{l^3} - 3 \left( \frac{\bar{x}}{l^3} \right)^2 \end{bmatrix} \epsilon$$

We kunnen nu de  $\int_0^l \left( \frac{d\bar{w}}{d\bar{x}} \right)^2 d\bar{x}$  als volgt schrijven:

$$\int_0^l \left( \frac{d\bar{w}}{d\bar{x}} \right)^2 d\bar{x} = \int_0^l \epsilon \begin{bmatrix} 0 & 1 - \frac{4\bar{x}}{l^3} + 3 \left( \frac{\bar{x}}{l^3} \right)^2 & \frac{2\bar{x}}{l^3} - 3 \left( \frac{\bar{x}}{l^3} \right)^2 \end{bmatrix} \begin{bmatrix} 0 & 1 - \frac{4\bar{x}}{l^3} + 3 \left( \frac{\bar{x}}{l^3} \right)^2 & \frac{2\bar{x}}{l^3} - 3 \left( \frac{\bar{x}}{l^3} \right)^2 \end{bmatrix} \epsilon d\bar{x}$$

$$= \int_0^l \begin{bmatrix} 0 & 0 & 0 \\ 0 & \left[ 1 - \frac{4\bar{x}}{l^3} + 3 \left( \frac{\bar{x}}{l^3} \right)^2 \right]^2 & \frac{2\bar{x}}{l^3} - 11 \left( \frac{\bar{x}}{l^3} \right)^2 + 18 \left( \frac{\bar{x}}{l^3} \right)^3 - 9 \left( \frac{\bar{x}}{l^3} \right)^4 \\ 0 & \frac{2\bar{x}}{l^3} - 11 \left( \frac{\bar{x}}{l^3} \right)^2 + 18 \left( \frac{\bar{x}}{l^3} \right)^3 - 9 \left( \frac{\bar{x}}{l^3} \right)^4 & \left[ \frac{2\bar{x}}{l^3} - 3 \left( \frac{\bar{x}}{l^3} \right)^2 \right]^2 \end{bmatrix} \epsilon d\bar{x}$$

By substitution we get:

$$\int_0^{l'} \left( \frac{d\bar{u}}{dx} \right)^2 dx = \varepsilon \begin{bmatrix} 0 & 0 & 0 \\ 0 & \frac{2}{15} l' & \frac{l'}{30} \\ 0 & \frac{l'}{30} & \frac{2}{15} l' \end{bmatrix} \varepsilon$$

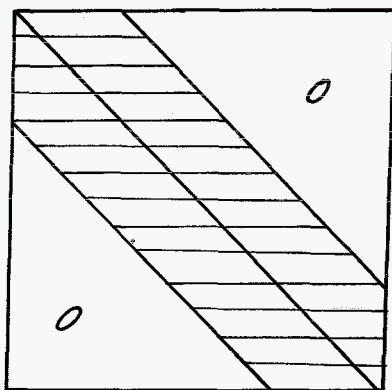
$$= \frac{l'}{30} \left[ 4\bar{\psi}_1^2 - 2\bar{\psi}_1 \bar{\psi}_2 + 4\bar{\psi}_2^2 \right]$$

APPENDIX III

Beschrijving van de procedure CHOLBD ( $n, m, dec, a, b, fact$ ),  
 Gegeven in het stelsel vergelijkingen met reële componenten,

$$Ax = b$$

waarin  $A$  een  $n$ -rijige symmetrische positief-definiëte matrix is, die een bandstructuur heeft. Dus de interessante termen van de matrix  $A$  zijn om de hoofddiagonaal geconcentreerd.



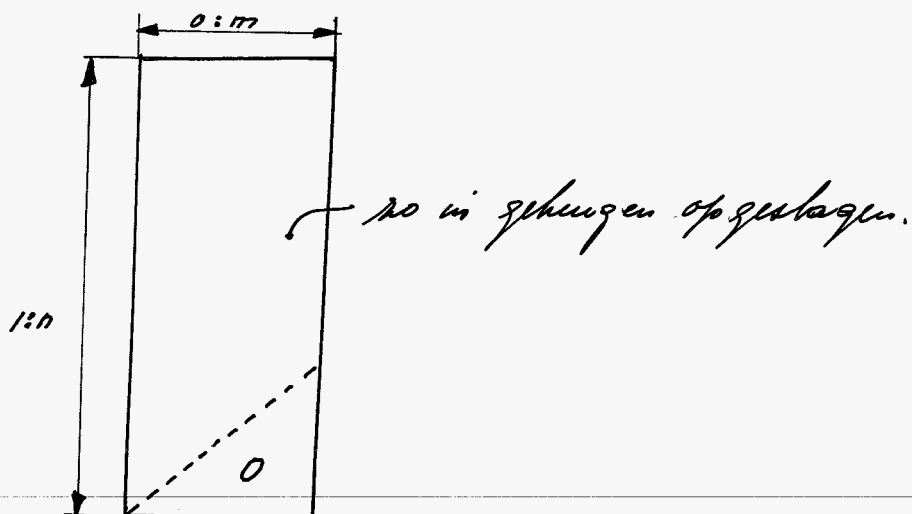
De bandbreedte  $m$  van de matrix  $A$  definiëren we nu als het getal dat aangeeft welke laatste co-diagonaal in het rechtsbovengedeelte van  $A$  nog termen ongelijk aan nul bevat, bereikt vanaf de hoofddiagonaal van  $A$ . Dit betekent dat

$$A[i, j] = 0 \text{ voor } |i - j| > m.$$

De matrix  $A$  ontbinden we in 2 matrices  $L$  en  $R$  en wel zodanig, dat

$$\begin{aligned} A &= LR \\ L &= R^T \\ \text{en } R &\text{ is een } 3 \text{ hoeksmatrix, d. w. z. alleen} \\ &\text{het rechter bovengedeelte is gevuld.} \end{aligned}$$

Omdat  $A$  een symmetrische matrix is, hoeft men slechts het rechtsbovengedeelte te kennen. Deze interessante gegevens brengen we daarom in de matrix

$a[1:n, 0:m]$  op.


De diagonalelementen van  $A$  staan nu op  $a[i, 0]$ . De termen waarvoor  $i + j > n$  komen in de matrix  $a$  termen voor, die gelijk aan nul zijn.

Al maar gelang de keuze van de parameter  $dec$ , volgt de procedure de volgende bewerkingen uit:

$dec =$	0	1	2	3	4	5	6	7
Suur matrix $a$ en vektor $b$ in- leren of bere- kenen.	$a$	$a$	$a$	$a$	$a$	$a$	$a$	$a$
	$b$	$b$	$b$	$b$	$b$	$b$	$x$	$x$
uvoor $a$ overschreven met.	$R$	$a$	$R$	$a$	$R$	$a$	$R$	$a$
uvoor $b$ overschreven met	$A^{-1}b$	$A^{-1}b$	$R^{-1}b$	$R^{-1}b$	$L^{-1}b$	$L^{-1}b$	$b$	$b$

De label fail vormt de uitgang als de matrix  $A$  niet positief definitief is.

APPENDIX IV

Bij de procedure REKSPANITERATIE is de opmerking geplaatst, dat we na elke stap in de uitwendige belastingsvektor, of na elke iteratie, de hoek die de verbindinglijn van de 2 knooppunten van element  $i$  maakt met de  $x$ -as opnieuw moeten berekenen. Dit moeten we telkens doen, omdat deze hoek in de rekdefinities gebruikt wordt.

$$\text{bijv: } \varepsilon_2 = -\psi_1 + \arctan \frac{y_2 - y_1}{x_2 - x_1} - \arctan \frac{y_2 - y_1 + w_2 - w_1}{x_2 - x_1 + u_2 - u_1}$$

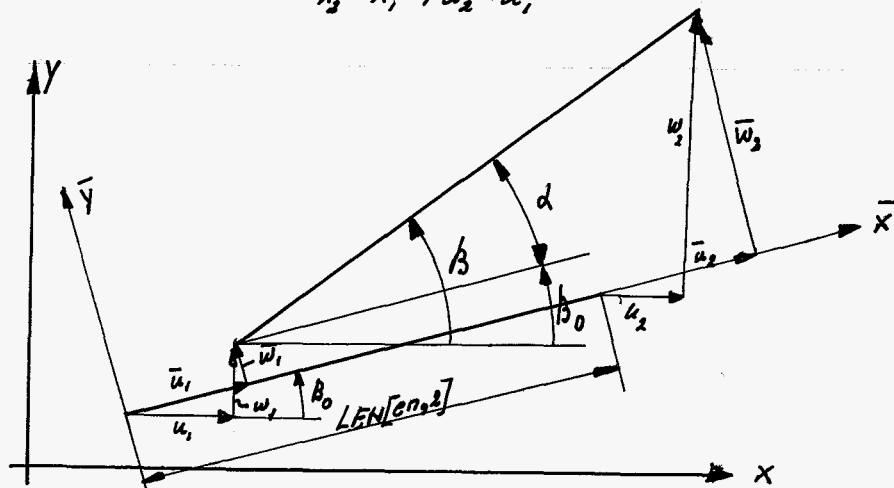
$\psi_1$  is hierin de absolute hoekverdraaiing dat element  $i$  in het eerste knooppunt ondergaat t.g.v. belastings- of iteratiestap.

$\arctan \frac{y_2 - y_1}{x_2 - x_1}$  is de hoek, welke het element in uitgangspositie maakt met de  $x$ -as. Deze kunnen we door een eenmalige berekening vastleggen.  
(procedure UITGANGSHOEK)

$\arctan \frac{y_2 - y_1 + w_2 - w_1}{x_2 - x_1 + u_2 - u_1}$  moeten we ook eenduidig vastleggen en wel op een zodanige manier, dat de respectievelijke  $\varepsilon_2$  en  $\varepsilon_3$  continue functies van de verplaatsingen zijn.

De werkwijze gaat nu als volgt:

$$\text{Stel } \beta = \arctan \frac{y_2 - y_1 + w_2 - w_1}{x_2 - x_1 + u_2 - u_1}$$



uit de figuur zien we, dat geldt:

$$\beta = \beta_0 + \alpha$$

We nemen aan, dat  $\beta_0$  bekend is. We willen nu hoek  $\alpha$  bepalen. We transformeren hiervoor de verplaatsingsvektor  $\vec{u} = [u_1, u_2, y_1, y_2]$  naar het lokale assenstelsel  $\bar{x} - \bar{y}$ .

$$\begin{aligned} \text{Nu geldt: } \bar{u}_1 &= u_1 \cos \beta_0 + v_1 \sin \beta_0 \\ \bar{v}_1 &= -u_1 \sin \beta_0 + v_1 \cos \beta_0 \\ \bar{u}_2 &= u_2 \cos \beta_0 + v_2 \sin \beta_0 \\ \bar{v}_2 &= -u_2 \sin \beta_0 + v_2 \cos \beta_0 \end{aligned}$$

Nu berekenen we de hoek  $\alpha$  als volgt:

$$\alpha = \arctan \frac{\bar{v}_2 - \bar{v}_1}{\text{LEN}[\text{en}, 2] + \bar{u}_2 - \bar{u}_1}$$

$$\begin{aligned} \text{We stellen nu: } \bar{v}_2 &= y_2 \\ \bar{v}_1 &= y_1 \\ \text{LEN}[\text{en}, 2] + \bar{u}_2 &= x_2 \\ \bar{u}_1 &= x_1 \end{aligned}$$

Dan definiëren we  $\alpha = \arctan \frac{y_2 - y_1}{x_2 - x_1}$  als volgt:

$$\textcircled{1} \quad x_2 > x_1, \text{ dan } \alpha = \arctan \frac{y_2 - y_1}{x_2 - x_1}$$

$$\textcircled{2} \quad x_2 < x_1, \text{ en } y_2 > y_1, \text{ dan } \alpha = \arctan \frac{y_2 - y_1}{x_2 - x_1} + \pi$$

$$\textcircled{3} \quad x_2 < x_1, \text{ en } y_2 < y_1, \text{ dan } \alpha = \arctan \frac{y_2 - y_1}{x_2 - x_1} - \pi$$

$$\textcircled{4} \quad x_2 = x_1, \text{ en } y_2 > y_1, \text{ dan } \alpha = \frac{\pi}{2}$$

$$\textcircled{5} \quad x_2 = x_1, \text{ en } y_2 < y_1, \text{ dan } \alpha = -\frac{\pi}{2}$$

De hoek  $\alpha$  is nu eenduidig gedefinieerd in  $-\pi \leq \alpha \leq \pi$

Nu berekenen we hoek  $\beta$  als volgt:

$$\beta = \beta_0 + \alpha$$

en hierna krijgt  $\beta_0$  de waarde van  $\beta$ . Met andere woorden, we hebben ervoor gezorgd dat de uitdrukking  $\frac{y_2 - y_1 + w_2 - w_1}{x_2 - x_1 + u_2 - u_1}$  een continue functie van de knooppuntverplaatsingen is, omdat we de hock telkens t.o.v. zijn juist voorafgaande stap berekenen.

APPENDIX V

Afliding van de matrices  $\frac{\partial \epsilon_i}{\partial u_p}$ ,  $\frac{\partial^2 \epsilon_i}{\partial u_p \partial u_q}$ ,  $\frac{\partial^2 \epsilon_i}{\partial u_p \partial u_q}$   
 en  $\frac{\partial^2 \gamma_{24}}{\partial u_p \partial u_q}$

Enkele hulpdifferentiaties:

$\frac{\partial \bar{u}_2}{\partial u_1} = -\cos \beta \cos \beta_0$	$\frac{\partial \bar{v}_2}{\partial u_1} = -\cos \beta \sin \beta_0$
$\frac{\partial \bar{u}_2}{\partial u_2} = \cos \beta \cos \beta_0$	$\frac{\partial \bar{v}_2}{\partial u_1} = -\sin \beta \sin \beta_0$
$\frac{\partial \bar{u}_2}{\partial v_1} = -\sin \beta \cos \beta_0$	$\frac{\partial \bar{v}_2}{\partial u_2} = \cos \beta \sin \beta_0$
$\frac{\partial \bar{u}_2}{\partial v_2} = \sin \beta \cos \beta_0$	$\frac{\partial \bar{v}_2}{\partial v_2} = \sin \beta \sin \beta_0$
$\frac{\partial \bar{u}_2}{\partial u_3} = 0$	$\frac{\partial \bar{v}_2}{\partial u_3} = 0$
$\frac{\partial \bar{u}_2}{\partial v_3} = 0$	$\frac{\partial \bar{v}_2}{\partial v_3} = 0$

$$\frac{\partial \bar{u}_3}{\partial u_1} = -\cos \gamma \cos(\gamma - \alpha) - h'_{13} \sin(\gamma - \alpha) \left[ \frac{\sin \gamma}{h'_{13}} - \frac{\sin \beta_0}{h'_{12}} \right]$$

$$\frac{\partial \bar{u}_3}{\partial v_1} = -\sin \gamma \cos(\gamma - \alpha) - h'_{13} \sin(\gamma - \alpha) \left[ \frac{-\cos \gamma}{h'_{13}} + \frac{\cos \beta_0}{h'_{12}} \right]$$

$$\frac{\partial \bar{u}_3}{\partial u_2} = -\frac{h'_{13}}{h'_{12}} \sin(\gamma - \alpha) \sin \beta$$

$$\frac{\partial \bar{u}_3}{\partial v_2} = \frac{h'_{13}}{h'_{12}} \sin(\gamma - \alpha) \cos \beta$$

$$\frac{\partial \bar{u}_3}{\partial u_3} = \cos \gamma \cos(\gamma - \alpha) + \sin(\gamma - \alpha) \sin \gamma$$

$$\frac{\partial \bar{u}_3}{\partial v_3} = \sin \gamma \cos(\gamma - \alpha) - \sin(\gamma - \alpha) \cos \gamma$$

$$\frac{\partial \bar{v}_3}{\partial u_1} = -\cos \gamma \sin(\gamma - \alpha) + h'_{13} \cos(\gamma - \alpha) \left[ \frac{\sin \gamma}{h'_{13}} - \frac{\sin \beta_0}{h'_{12}} \right]$$

$$\frac{\partial \bar{v}_3}{\partial v_1} = -\sin \gamma \sin(\gamma - \alpha) + h'_{13} \cos(\gamma - \alpha) \left[ \frac{-\cos \gamma}{h'_{13}} + \frac{\cos \beta_0}{h'_{12}} \right]$$



$$\frac{\partial \bar{v}_3}{\partial u_2} = \frac{l_{13}}{l_{12}} \cos(\gamma - \alpha) \sin \beta$$

$$\frac{\partial \bar{v}_3}{\partial v_2} = - \frac{l_{13}}{l_{12}} \cos(\gamma - \alpha) \cos \beta$$

$$\frac{\partial \bar{v}_3}{\partial u_3} = \cos \gamma \sin(\gamma - \alpha) - \cos(\gamma - \alpha) \sin \gamma$$

$$\frac{\partial \bar{v}_3}{\partial v_3} = \sin \gamma \sin(\gamma - \alpha) + \cos(\gamma - \alpha) \cos \gamma$$

Verder gebruiken we nog:

$$\gamma = \arctan \frac{y_3 - y_1 + v_3 - v_1}{x_3 - x_1 + u_3 - u_1}$$

$\frac{\partial \gamma}{\partial u_1} = \frac{\sin \gamma}{l_{13}}$	$\frac{\partial \gamma}{\partial u_2} = 0$	$\frac{\partial \gamma}{\partial u_3} = - \frac{\sin \gamma}{l_{13}}$
$\frac{\partial \gamma}{\partial v_1} = - \frac{\cos \gamma}{l_{13}}$	$\frac{\partial \gamma}{\partial v_2} = 0$	$\frac{\partial \gamma}{\partial v_3} = \frac{\cos \gamma}{l_{13}}$

$$\alpha = \arctan \frac{y_2 - y_1 + v_2 - v_1}{x_2 - x_1 + u_2 - u_1} - \arctan \frac{y_2 - y_1}{x_2 - x_1}$$

$\frac{\partial \alpha}{\partial u_1} = \frac{\sin \beta}{l_{12}}$	$\frac{\partial \alpha}{\partial u_2} = - \frac{\sin \beta}{l_{12}}$	$\frac{\partial \alpha}{\partial u_3} = 0$
$\frac{\partial \alpha}{\partial v_1} = - \frac{\cos \beta}{l_{12}}$	$\frac{\partial \alpha}{\partial v_2} = \frac{\cos \beta}{l_{12}}$	$\frac{\partial \alpha}{\partial v_3} = 0$

$$\beta = \arctan \frac{y_2 - y_1 + u_2 - v_1}{x_2 - x_1 + u_2 - u_1}$$

$\frac{\partial \beta}{\partial u_1} = \frac{\sin \beta}{l_{12}}$	$\frac{\partial \beta}{\partial u_2} = - \frac{\sin \beta}{l_{12}}$	$\frac{\partial \beta}{\partial u_3} = 0$
$\frac{\partial \beta}{\partial v_1} = - \frac{\cos \beta}{l_{12}}$	$\frac{\partial \beta}{\partial v_2} = \frac{\cos \beta}{l_{12}}$	$\frac{\partial \beta}{\partial v_3} = 0$

We zullen nu beginnen met de matrix  $\frac{\partial \epsilon_i}{\partial u_p}$

$$\frac{\partial \epsilon_i}{\partial u_p} = \begin{bmatrix} \frac{\partial \epsilon_2}{\partial u_1} & \frac{\partial \epsilon_2}{\partial v_1} & \frac{\partial \epsilon_2}{\partial u_2} & \frac{\partial \epsilon_2}{\partial v_2} & \frac{\partial \epsilon_2}{\partial u_3} & \frac{\partial \epsilon_2}{\partial v_3} \\ \frac{\partial \epsilon_4}{\partial u_1} & \frac{\partial \epsilon_4}{\partial v_1} & \frac{\partial \epsilon_4}{\partial u_2} & \frac{\partial \epsilon_4}{\partial v_2} & \frac{\partial \epsilon_4}{\partial u_3} & \frac{\partial \epsilon_4}{\partial v_3} \\ \frac{\partial \epsilon_5}{\partial u_1} & \frac{\partial \epsilon_5}{\partial v_1} & \frac{\partial \epsilon_5}{\partial u_2} & \frac{\partial \epsilon_5}{\partial v_2} & \frac{\partial \epsilon_5}{\partial u_3} & \frac{\partial \epsilon_5}{\partial v_3} \\ \frac{\partial \gamma_{24}}{\partial u_1} & \frac{\partial \gamma_{24}}{\partial v_1} & \frac{\partial \gamma_{24}}{\partial u_2} & \frac{\partial \gamma_{24}}{\partial v_2} & \frac{\partial \gamma_{24}}{\partial u_3} & \frac{\partial \gamma_{24}}{\partial v_3} \end{bmatrix}$$

$$\frac{\partial \epsilon_2}{\partial u_1} = \frac{1}{A} \left[ (y_3 - y_1) \frac{\partial \bar{u}_2}{\partial u_1} + (y_1 - y_2) \frac{\partial \bar{u}_3}{\partial u_1} \right]$$

$$\frac{\partial \epsilon_2}{\partial v_1} = \frac{1}{A} \left[ (y_3 - y_1) \frac{\partial \bar{u}_2}{\partial v_1} + (y_1 - y_2) \frac{\partial \bar{u}_3}{\partial v_1} \right]$$

$$\frac{\partial \epsilon_2}{\partial u_2} = \frac{1}{A} \left[ (y_3 - y_1) \frac{\partial \bar{u}_2}{\partial u_2} + (y_1 - y_2) \frac{\partial \bar{u}_3}{\partial u_2} \right]$$

$$\frac{\partial \epsilon_2}{\partial v_2} = \frac{1}{A} \left[ (y_3 - y_1) \frac{\partial \bar{u}_2}{\partial v_2} + (y_1 - y_2) \frac{\partial \bar{u}_3}{\partial v_2} \right]$$

$$\frac{\partial \epsilon_2}{\partial u_3} = \frac{1}{A} \left[ (y_3 - y_1) \frac{\partial \bar{u}_2}{\partial u_3} + (y_1 - y_2) \frac{\partial \bar{u}_3}{\partial u_3} \right]$$

$$\frac{\partial \epsilon_2}{\partial v_3} = \frac{1}{A} \left[ (y_3 - y_1) \frac{\partial \bar{u}_2}{\partial v_3} + (y_1 - y_2) \frac{\partial \bar{u}_3}{\partial v_3} \right]$$

$$\frac{\partial \epsilon_4}{\partial u_1} = \frac{1}{A} \left[ (x_1 - x_3) \frac{\partial \bar{v}_2}{\partial u_1} + (x_2 - x_1) \frac{\partial \bar{v}_3}{\partial u_1} \right]$$

$$\frac{\partial \epsilon_4}{\partial v_1} = \frac{1}{A} \left[ (x_1 - x_3) \frac{\partial \bar{v}_2}{\partial v_1} + (x_2 - x_1) \frac{\partial \bar{v}_3}{\partial v_1} \right]$$

$$\frac{\partial \epsilon_4}{\partial u_2} = \frac{1}{A} \left[ (x_1 - x_3) \frac{\partial \bar{v}_2}{\partial u_2} + (x_2 - x_1) \frac{\partial \bar{v}_3}{\partial u_2} \right]$$

$$\frac{\partial \epsilon_4}{\partial v_2} = \frac{1}{A} \left[ (x_1 - x_3) \frac{\partial \bar{v}_2}{\partial v_2} + (x_2 - x_1) \frac{\partial \bar{v}_3}{\partial v_2} \right]$$

$$\frac{\partial \epsilon_4}{\partial u_3} = \frac{1}{A} \left[ (x_1 - x_3) \frac{\partial \bar{v}_2}{\partial u_3} + (x_2 - x_1) \frac{\partial \bar{v}_3}{\partial u_3} \right]$$

$$\frac{\partial \epsilon_4}{\partial v_3} = \frac{1}{A} \left[ (x_1 - x_3) \frac{\partial \bar{v}_2}{\partial v_3} + (x_2 - x_1) \frac{\partial \bar{v}_3}{\partial v_3} \right]$$

$$\frac{\partial \mathcal{E}_f}{\partial u_1} = \frac{3}{A(x_1+x_2+x_3)} \left[ (x_3 y_3 - x_2 y_2) \right] + \frac{1}{A} (y_3 - y_2) + \frac{1}{A} \cdot \frac{y_1+y_2+y_3}{x_1+x_2+x_3} (x_3 - x_2)$$

$$\frac{\partial \mathcal{E}_f}{\partial u_1} = 0$$

$$\frac{\partial \mathcal{E}_f}{\partial u_2} = \frac{3}{A(x_1+x_2+x_3)} \left[ (x_3 y_1 - x_1 y_2) \right] + \frac{1}{A} (y_3 - y_1) + \frac{1}{A} \cdot \frac{y_1+y_2+y_3}{x_1+x_2+x_3} (x_1 - x_3)$$

$$\frac{\partial \mathcal{E}_f}{\partial u_2} = 0$$

$$\frac{\partial \mathcal{E}_f}{\partial u_3} = \frac{3}{A(x_1+x_2+x_3)} \left[ (x_1 y_2 - x_2 y_1) \right] + \frac{1}{A} (y_1 - y_2) + \frac{1}{A} \cdot \frac{y_1+y_2+y_3}{x_1+x_2+x_3} (x_2 - x_1)$$

$$\frac{\partial \mathcal{E}_f}{\partial u_3} = 0$$

$$\frac{\partial \gamma_{24}}{\partial u_1} = \frac{1}{A} \left[ (x_1 - x_3) \frac{\partial \bar{u}_2}{\partial u_1} + (x_2 - x_1) \frac{\partial \bar{u}_3}{\partial u_1} + (y_3 - y_1) \frac{\partial \bar{v}_2}{\partial u_1} + (y_1 - y_2) \frac{\partial \bar{v}_3}{\partial u_1} \right]$$

$$\frac{\partial \gamma_{24}}{\partial u_2} = \frac{1}{A} \left[ (x_1 - x_3) \frac{\partial \bar{u}_2}{\partial u_2} + (x_2 - x_1) \frac{\partial \bar{u}_3}{\partial u_2} + (y_3 - y_1) \frac{\partial \bar{v}_2}{\partial u_2} + (y_1 - y_2) \frac{\partial \bar{v}_3}{\partial u_2} \right]$$

$$\frac{\partial \gamma_{24}}{\partial u_3} = \frac{1}{A} \left[ (x_1 - x_3) \frac{\partial \bar{u}_2}{\partial u_3} + (x_2 - x_1) \frac{\partial \bar{u}_3}{\partial u_3} + (y_3 - y_1) \frac{\partial \bar{v}_2}{\partial u_3} + (y_1 - y_2) \frac{\partial \bar{v}_3}{\partial u_3} \right]$$

$$\frac{\partial \gamma_{24}}{\partial v_1} = \frac{1}{A} \left[ (x_1 - x_3) \frac{\partial \bar{u}_2}{\partial v_1} + (x_2 - x_1) \frac{\partial \bar{u}_3}{\partial v_1} + (y_3 - y_1) \frac{\partial \bar{v}_2}{\partial v_1} + (y_1 - y_2) \frac{\partial \bar{v}_3}{\partial v_1} \right]$$

$$\frac{\partial \gamma_{24}}{\partial v_2} = \frac{1}{A} \left[ (x_1 - x_3) \frac{\partial \bar{u}_2}{\partial v_2} + (x_2 - x_1) \frac{\partial \bar{u}_3}{\partial v_2} + (y_3 - y_1) \frac{\partial \bar{v}_2}{\partial v_2} + (y_1 - y_2) \frac{\partial \bar{v}_3}{\partial v_2} \right]$$

$$\frac{\partial \gamma_{24}}{\partial v_3} = \frac{1}{A} \left[ (x_1 - x_3) \frac{\partial \bar{u}_2}{\partial v_3} + (x_2 - x_1) \frac{\partial \bar{u}_3}{\partial v_3} + (y_3 - y_1) \frac{\partial \bar{v}_2}{\partial v_3} + (y_1 - y_2) \frac{\partial \bar{v}_3}{\partial v_3} \right]$$

Voor de matrices  $\frac{\partial^2 \mathcal{E}_f}{\partial u_i \partial u_j}$ ,  $\frac{\partial^2 \mathcal{E}_f}{\partial u_i \partial v_j}$  en  $\frac{\partial^2 \gamma_{24}}{\partial v_i \partial v_j}$  hebben

we de hierna volgende hulpdifferentiaties nodig:

$$\frac{\partial \bar{u}_2}{\partial u_1 \partial u_1} = \cos \beta_0 \frac{\sin^2 \beta}{L_{12}}$$

$$\frac{\partial \bar{v}_2}{\partial u_1 \partial u_1} = \sin \beta_0 \frac{\sin^2 \beta}{L_{12}}$$

$$\frac{\partial \bar{u}_3}{\partial u_1 \partial v_1} = -\cos \beta_0 \frac{\sin 2\beta}{2L_{12}}$$

$$\frac{\partial \bar{v}_2}{\partial u_1 \partial v_1} = -\sin \beta_0 \frac{\sin 2\beta}{2L_{12}}$$

$$\frac{\partial \bar{u}_2}{\partial u_1 \partial u_2} = -\cos \beta_0 \frac{\sin^2 \beta}{l_{12}'}$$

$$\frac{\partial \bar{v}_2}{\partial u_1 \partial u_2} = -\sin \beta_0 \frac{\sin^2 \beta}{l_{12}'}$$

$$\frac{\partial \bar{u}_2}{\partial u_1 \partial v_2} = \cos \beta_0 \frac{\sin 2\beta}{2l_{12}'}$$

$$\frac{\partial \bar{v}_2}{\partial u_1 \partial v_2} = \sin \beta_0 \frac{\sin 2\beta}{2l_{12}'}$$

$$\frac{\partial \bar{u}_2}{\partial u_1 \partial u_3} = \frac{\partial \bar{u}_2}{\partial u_1 \partial v_3} = 0$$

$$\frac{\partial \bar{v}_2}{\partial u_1 \partial u_3} = \frac{\partial \bar{v}_2}{\partial u_1 \partial v_3} = 0$$

$$\frac{\partial \bar{u}_2}{\partial v_1 \partial v_1} = \cos \beta_0 \frac{\cos^2 \beta}{l_{12}'}$$

$$\frac{\partial \bar{v}_2}{\partial v_1 \partial v_1} = \sin \beta_0 \frac{\cos^2 \beta}{l_{12}'}$$

$$\frac{\partial \bar{u}_2}{\partial v_1 \partial u_2} = \cos \beta_0 \frac{\sin 2\beta}{2l_{12}'}$$

$$\frac{\partial \bar{v}_2}{\partial v_1 \partial u_2} = \sin \beta_0 \frac{\sin 2\beta}{2l_{12}'}$$

$$\frac{\partial \bar{u}_2}{\partial v_1 \partial v_2} = -\cos \beta_0 \frac{\cos^2 \beta}{l_{12}'}$$

$$\frac{\partial \bar{v}_2}{\partial v_1 \partial v_2} = -\sin \beta_0 \frac{\cos^2 \beta}{l_{12}'}$$

$$\frac{\partial \bar{u}_2}{\partial v_1 \partial u_3} = \frac{\partial \bar{u}_2}{\partial v_1 \partial v_3} = 0$$

$$\frac{\partial \bar{v}_2}{\partial v_1 \partial u_3} = \frac{\partial \bar{v}_2}{\partial v_1 \partial v_3} = 0$$

$$\frac{\partial \bar{u}_2}{\partial u_2 \partial u_2} = \cos \beta_0 \frac{\sin^2 \beta}{l_{12}'}$$

$$\frac{\partial \bar{v}_2}{\partial u_2 \partial u_2} = \sin \beta_0 \frac{\sin^2 \beta}{l_{12}'}$$

$$\frac{\partial \bar{u}_2}{\partial u_2 \partial v_2} = -\cos \beta_0 \frac{\sin 2\beta}{2l_{12}'}$$

$$\frac{\partial \bar{v}_2}{\partial u_2 \partial v_2} = -\sin \beta_0 \frac{\sin 2\beta}{2l_{12}'}$$

$$\frac{\partial \bar{u}_2}{\partial u_2 \partial u_3} = \frac{\partial \bar{u}_2}{\partial u_2 \partial v_3} = 0$$

$$\frac{\partial \bar{v}_2}{\partial u_2 \partial u_3} = \frac{\partial \bar{v}_2}{\partial u_2 \partial v_3} = 0$$

$$\frac{\partial \bar{u}_2}{\partial v_2 \partial v_2} = \cos \beta_0 \frac{\cos^2 \beta}{l_{12}'}$$

$$\frac{\partial \bar{v}_2}{\partial v_2 \partial v_2} = \sin \beta_0 \frac{\cos^2 \beta}{l_{12}'}$$

$$\frac{\partial \bar{u}_2}{\partial v_2 \partial u_3} = \frac{\partial \bar{u}_2}{\partial v_2 \partial v_3} = 0$$

$$\frac{\partial \bar{v}_2}{\partial v_2 \partial u_3} = \frac{\partial \bar{v}_2}{\partial v_2 \partial v_3} = 0$$

$$\frac{\partial \bar{u}_2}{\partial u_2 \partial u_3} = \frac{\partial \bar{u}_2}{\partial u_3 \partial u_2} = \frac{\partial \bar{u}_2}{\partial u_2 \partial u_3} = 0$$

$$\frac{\partial \bar{v}_2}{\partial u_2 \partial u_3} = \frac{\partial \bar{v}_2}{\partial u_3 \partial u_2} = \frac{\partial \bar{v}_2}{\partial u_2 \partial u_3} = 0$$

Voor de verplaatsingscomponent  $\bar{u}_3$  volgen de de hulp-differentiatieschema:

$$\frac{\partial \bar{u}_3}{\partial u_1 \partial u_1} = \cos(\gamma - \alpha) \left[ \frac{2 \sin \gamma \sin \beta}{l_{12}'} - \frac{\sin^2 \beta}{l_{13}^{\prime 2}} \right] + \sin(\gamma - \alpha) \left[ -\frac{\cos \gamma \sin \beta}{l_{12}'} + \frac{\sin 2\beta}{2 l_{13}^{\prime 2}} \right]$$

$$\frac{\partial \bar{u}_3}{\partial u_1 \partial u_1} = \cos(\gamma - \alpha) \left[ -\frac{\sin \gamma \cos \beta}{l_{12}'} - \frac{\sin \beta \cos \gamma}{l_{12}'} + \frac{\sin 2\beta}{2 l_{13}^{\prime 2}} \right]$$

$$+ \sin(\gamma - \alpha) \left[ -\frac{\sin \gamma \sin \beta}{l_{12}'} + \frac{\sin^2 \beta}{l_{13}^{\prime 2}} \right]$$

$$\frac{\partial \bar{u}_3}{\partial u_2 \partial u_1} = \cos(\gamma - \alpha) \left[ -\frac{\sin \beta \sin \gamma}{l_{12}'} + \frac{\sin^2 \beta}{l_{13}^{\prime 2}} \right] - \sin(\gamma - \alpha) \cdot \frac{\sin 2\beta}{2 l_{13}^{\prime 2}}$$

$$\frac{\partial \bar{u}_3}{\partial v_2 \partial u_1} = \cos(\gamma - \alpha) \left[ \frac{\cos \beta \sin \gamma}{l_{12}'} - \frac{\sin 2\beta}{2 l_{13}^{\prime 2}} \right] - \sin(\gamma - \alpha) \cdot \frac{\sin^2 \beta}{l_{13}^{\prime 2}}$$

$$\frac{\partial \bar{u}_3}{\partial u_2 \partial u_1} = \cos(\gamma - \alpha) \left[ -\frac{\sin \gamma \sin \beta}{l_{12}'} \right] + \sin(\gamma - \alpha) \cdot \frac{\cos \gamma \sin \beta}{l_{12}'}$$

$$\frac{\partial \bar{u}_3}{\partial v_3 \partial u_1} = \cos(\gamma - \alpha) \cdot \frac{\cos \gamma \sin \beta}{l_{12}'} + \sin(\gamma - \alpha) \cdot \frac{\sin \beta \sin \gamma}{l_{12}'}$$

$$\frac{\partial \bar{u}_3}{\partial u_1 \partial u_1} = \cos(\gamma - \alpha) \left[ \frac{2 \cos \gamma \cos \beta}{l_{12}'} - \frac{\cos^2 \beta}{l_{13}^{\prime 2}} \right] + \sin(\gamma - \alpha) \left[ \frac{\sin \gamma \cos \beta}{l_{12}'} - \frac{\sin 2\beta}{2 l_{13}^{\prime 2}} \right]$$

$$\frac{\partial \bar{u}_3}{\partial u_1 \partial u_2} = \cos(\gamma - \alpha) \left[ \frac{\sin \beta \cos \gamma}{l_{12}'} - \frac{\sin 2\beta}{2 l_{13}^{\prime 2}} \right] + \sin(\gamma - \alpha) \cdot \frac{\cos^2 \beta}{l_{13}^{\prime 2}}$$

$$\frac{\partial \bar{u}_3}{\partial v_1 \partial u_2} = \cos(\gamma - \alpha) \left[ -\frac{\cos \beta \cos \gamma}{l_{12}'} + \frac{\cos^2 \beta}{l_{13}^{\prime 2}} \right] + \sin(\gamma - \alpha) \cdot \frac{\sin 2\beta}{2 l_{13}^{\prime 2}}$$

$$\frac{\partial \bar{u}_3}{\partial u_1 \partial u_3} = \cos(\gamma-d) \left[ \frac{\sin \gamma \cos \beta}{l_{12}'} \right] - \sin(\gamma-d) \cdot \frac{\cos \gamma \cos \beta}{l_{12}'}$$

$$\frac{\partial \bar{u}_3}{\partial v_1 \partial v_3} = \cos(\gamma-d) \left[ -\frac{\cos \gamma \cos \beta}{l_{12}'} \right] + \sin(\gamma-d) \left[ -\frac{\sin \gamma \cos \beta}{l_{12}'} \right]$$

$$\frac{\partial \bar{u}_3}{\partial u_2 \partial u_2} = \cos(\gamma-d) \left[ -\frac{\sin^2 \beta l_{13}'}{l_{12}'^2} \right] + \sin(\gamma-d) \frac{\sin^2 \beta l_{13}'}{2 l_{12}'^2}$$

$$\frac{\partial \bar{u}_3}{\partial u_2 \partial v_2} = \cos(\gamma-d) \frac{\sin^2 \beta l_{13}'}{2 l_{12}'^2} + \sin(\gamma-d) \frac{\sin^2 \beta l_{13}'}{l_{12}'^2}$$

$$\frac{\partial \bar{u}_3}{\partial u_2 \partial u_3} = \cos(\gamma-d) \frac{\sin \gamma \sin \beta}{l_{12}'^2} - \sin(\gamma-d) \frac{\cos \gamma \sin \beta}{l_{12}'^2}$$

$$\frac{\partial \bar{u}_3}{\partial u_2 \partial v_3} = -\cos(\gamma-d) \frac{\cos \gamma \sin \beta}{l_{12}'^2} - \sin(\gamma-d) \frac{\sin \gamma \sin \beta}{l_{12}'^2}$$

$$\frac{\partial \bar{u}_3}{\partial v_2 \partial v_2} = \cos(\gamma-d) \left[ -\frac{\cos^2 \beta l_{13}'}{l_{12}'^2} \right] - \sin(\gamma-d) \frac{\sin^2 \beta l_{13}'}{2 l_{12}'^2}$$

$$\frac{\partial \bar{u}_3}{\partial v_2 \partial u_3} = \cos(\gamma-d) \left[ -\frac{\sin \gamma \cos \beta}{l_{12}'} \right] + \sin(\gamma-d) \frac{\cos \gamma \cos \beta}{l_{12}'^2}$$

$$\frac{\partial \bar{u}_3}{\partial v_2 \partial v_3} = \cos(\gamma-d) \frac{\cos \gamma \cos \beta}{l_{12}'^2} + \sin(\gamma-d) \frac{\sin \gamma \cos \beta}{l_{12}'^2}$$

$$\frac{\partial \bar{u}_3}{\partial u_2 \partial u_3} = \frac{\partial \bar{u}_3}{\partial u_2 \partial v_3} = 0$$

$$\frac{\partial \bar{u}_3}{\partial v_2 \partial v_3} = 0$$

Door de verplaatsingscomponent  $\bar{v}_3$  volgen de hulp-differentiaties hierna:

$$\frac{\partial \bar{v}_3}{\partial u_1 \partial u_1} = \cos(\gamma-d) \left[ \frac{\cos \gamma \sin \beta}{l_{12}'} - \frac{\sin^2 \beta l_{13}'}{2 l_{12}^{\prime 2}} \right] + \sin(\gamma-d) \left[ \frac{2 \sin \gamma \sin \beta}{l_{12}'} - \frac{\sin^2 \beta l_{13}'}{l_{12}^{\prime 2}} \right]$$

$$\frac{\partial \bar{v}_3}{\partial u_1 \partial v_1} = \cos(\gamma-d) \left[ \frac{\sin \beta \sin \gamma}{l_{12}'} - \frac{\sin^2 \beta l_{13}'}{l_{12}^{\prime 2}} \right] +$$

$$\sin(\gamma-d) \left[ -\frac{\sin \gamma \cos \beta}{l_{12}'} - \frac{\sin \beta \cos \gamma}{l_{12}'} + \frac{\sin^2 \beta l_{13}'}{2 l_{12}^{\prime 2}} \right]$$

$$\frac{\partial \bar{v}_3}{\partial u_1 \partial u_2} = \cos(\gamma-d) \frac{\sin^2 \beta l_{13}'}{2 l_{12}^{\prime 2}} + \sin(\gamma-d) \left[ -\frac{\sin \beta \sin \gamma}{l_{12}'} + \frac{\sin^2 \beta l_{13}'}{l_{12}^{\prime 2}} \right]$$

$$\frac{\partial \bar{v}_3}{\partial u_1 \partial v_2} = \cos(\gamma-d) \frac{\sin^2 \beta l_{13}'}{l_{12}^{\prime 2}} + \sin(\gamma-d) \left[ \frac{\cos \beta \sin \gamma}{l_{12}'} - \frac{\sin^2 \beta l_{13}'}{2 l_{12}^{\prime 2}} \right]$$

$$\frac{\partial \bar{v}_3}{\partial u_1 \partial u_3} = \cos(\gamma-d) \left[ -\frac{\cos \gamma \sin \beta}{l_{12}'} \right] + \sin(\gamma-d) \left[ -\frac{\sin \gamma \sin \beta}{l_{12}'} \right]$$

$$\frac{\partial \bar{v}_3}{\partial u_1 \partial v_3} = \cos(\gamma-d) \left[ -\frac{\sin \gamma \sin \beta}{l_{12}'} \right] + \sin(\gamma-d) \frac{\cos \gamma \sin \beta}{l_{12}'} \right]$$

$$\frac{\partial \bar{v}_3}{\partial v_1 \partial v_1} = \cos(\gamma-d) \left[ -\frac{\sin \gamma \cos \beta}{l_{12}'} + \frac{\sin^2 \beta l_{13}'}{2 l_{12}^{\prime 2}} \right] +$$

$$\sin(\gamma-d) \left[ \frac{2 \cos \gamma \cos \beta}{l_{12}'} - \frac{\cos^2 \beta l_{13}'}{l_{12}^{\prime 2}} \right]$$

$$\frac{\partial \bar{v}_3}{\partial v_1 \partial u_2} = \cos(\gamma-d) \left[ -\frac{\cos^2 \beta l_{13}'}{l_{12}^{\prime 2}} \right] + \sin(\gamma-d) \left[ \frac{\sin \beta \cos \gamma}{l_{12}'} - \frac{\sin^2 \beta l_{13}'}{2 l_{12}^{\prime 2}} \right]$$

$$\frac{\partial \bar{v}_3}{\partial v_1 \partial v_2} = \cos(\gamma-d) \left[ -\frac{\sin^2 \beta l_{13}'}{2 l_{12}^{\prime 2}} \right] + \sin(\gamma-d) \left[ -\frac{\cos \beta \cos \gamma}{l_{12}'} + \frac{\cos^2 \beta l_{13}'}{l_{12}^{\prime 2}} \right]$$

$$\frac{\partial \bar{v}_3}{\partial v_1 \partial u_3} = \cos(\gamma-d) \frac{\cos \gamma \cos \beta}{l_{12}'} + \sin(\gamma-d) \left[ \frac{\sin \gamma \cos \beta}{l_{12}'} \right]$$

$$\frac{\partial \bar{v}_3}{\partial u_1 \partial u_3} = \cos(\gamma - \alpha) \frac{\sin \gamma \cos \beta}{h_{12}'} + \sin(\gamma - \alpha) \left[ - \frac{\cos \gamma \cos \beta}{h_{12}'} \right]$$

$$\frac{\partial \bar{v}_3}{\partial u_2 \partial u_2} = \cos(\gamma - \alpha) \left[ - \frac{\sin 2\beta h_{13}'}{2 h_{12}'^2} \right] + \sin(\gamma - \alpha) \left[ - \frac{\sin^2 \beta h_{13}'}{h_{12}'^2} \right]$$

$$\frac{\partial \bar{v}_3}{\partial u_2 \partial u_2} = \cos(\gamma - \alpha) \left[ - \frac{\sin^2 \beta h_{13}'}{h_{12}'^2} \right] + \sin(\gamma - \alpha) \frac{\sin 2\beta h_{13}'}{2 h_{12}'^2}$$

$$\frac{\partial \bar{v}_3}{\partial u_3 \partial u_3} = \cos(\gamma - \alpha) \frac{\cos \gamma \sin \beta}{h_{12}'} + \sin(\gamma - \alpha) \frac{\sin \gamma \sin \beta}{h_{12}'}$$

$$\frac{\partial \bar{v}_3}{\partial u_2 \partial u_3} = \cos(\gamma - \alpha) \frac{\sin \gamma \sin \beta}{h_{12}'} + \sin(\gamma - \alpha) \left[ - \frac{\cos \gamma \sin \beta}{h_{12}'} \right]$$

$$\frac{\partial \bar{v}_3}{\partial u_2 \partial u_2} = \cos(\gamma - \alpha) \frac{\sin 2\beta h_{13}'}{2 h_{12}'^2} + \sin(\gamma - \alpha) \left[ - \frac{\cos^2 \beta h_{13}'}{h_{12}'^2} \right]$$

$$\frac{\partial \bar{v}_3}{\partial u_3 \partial u_3} = \cos(\gamma - \alpha) \left[ - \frac{\cos \gamma \cos \beta}{h_{12}'} \right] + \sin(\gamma - \alpha) \left[ - \frac{\sin \gamma \cos \beta}{h_{12}'} \right]$$

$$\frac{\partial \bar{v}_3}{\partial u_2 \partial u_3} = \cos(\gamma - \alpha) \left[ - \frac{\sin \gamma \cos \beta}{h_{12}'} \right] + \sin(\gamma - \alpha) \left[ \frac{\cos \gamma \cos \beta}{h_{12}'} \right]$$

$$\frac{\partial \bar{v}_3}{\partial u_3 \partial u_3} = \frac{\partial \bar{v}_3}{\partial u_3 \partial u_3} = 0$$

$$\frac{\partial \bar{v}_3}{\partial u_3 \partial u_3} = 0$$



Met behulp van formule (VIII 4) zijn we nu in staat om de matrices  $\frac{\partial^2 \mathcal{E}_2}{\partial u_2 \partial u_1}$ ,  $\frac{\partial^2 \mathcal{E}_4}{\partial u_2 \partial u_1}$  en  $\frac{\partial^2 \chi_{24}}{\partial u_2 \partial u_1}$  te vullen en wel

op de volgende manier:

$$\frac{\partial^2 \mathcal{E}_2}{\partial u_2 \partial u_1} = \frac{1}{A} \left[ (y_3 - y_1) \frac{\partial^2 \bar{u}_2}{\partial u_2 \partial u_1} + (y_1 - y_2) \frac{\partial^2 \bar{u}_3}{\partial u_2 \partial u_1} \right]$$

$$\frac{\partial^2 \mathcal{E}_4}{\partial u_2 \partial u_1} = \frac{1}{A} \left[ (x_1 - x_3) \frac{\partial^2 \bar{v}_2}{\partial u_2 \partial u_1} + (x_2 - x_1) \frac{\partial^2 \bar{v}_3}{\partial u_2 \partial u_1} \right]$$

$$\frac{\partial^2 \mathcal{E}_1}{\partial u_2 \partial u_1} = 0$$

$$\frac{\partial^2 \chi_{24}}{\partial u_2 \partial u_1} = \frac{1}{A} \left[ (x_1 - x_3) \frac{\partial^2 \bar{u}_2}{\partial u_2 \partial u_1} + (x_2 - x_1) \frac{\partial^2 \bar{u}_3}{\partial u_2 \partial u_1} + (y_3 - y_1) \frac{\partial^2 \bar{v}_2}{\partial u_2 \partial u_1} + (y_1 - y_2) \frac{\partial^2 \bar{v}_3}{\partial u_2 \partial u_1} \right]$$

De opbouw van de hiervoor genoemde matrices is voor elk gelijk, zodat we het alleen voor  $\frac{\partial^2 \mathcal{E}_2}{\partial u_2 \partial u_1}$  aantonen:

$$\frac{\partial^2 \mathcal{E}_2}{\partial u_2 \partial u_1} = \begin{bmatrix} \frac{\partial^2 \mathcal{E}_2}{\partial u_1 \partial u_1} & \frac{\partial^2 \mathcal{E}_2}{\partial u_1 \partial u_2} & \frac{\partial^2 \mathcal{E}_2}{\partial u_1 \partial u_3} & \frac{\partial^2 \mathcal{E}_2}{\partial u_1 \partial u_4} & \frac{\partial^2 \mathcal{E}_2}{\partial u_1 \partial u_5} & \frac{\partial^2 \mathcal{E}_2}{\partial u_1 \partial u_6} \\ \frac{\partial^2 \mathcal{E}_2}{\partial u_2 \partial u_1} & \frac{\partial^2 \mathcal{E}_2}{\partial u_2 \partial u_2} & \frac{\partial^2 \mathcal{E}_2}{\partial u_2 \partial u_3} & \frac{\partial^2 \mathcal{E}_2}{\partial u_2 \partial u_4} & \frac{\partial^2 \mathcal{E}_2}{\partial u_2 \partial u_5} & \frac{\partial^2 \mathcal{E}_2}{\partial u_2 \partial u_6} \\ \frac{\partial^2 \mathcal{E}_2}{\partial u_3 \partial u_1} & \frac{\partial^2 \mathcal{E}_2}{\partial u_3 \partial u_2} & \frac{\partial^2 \mathcal{E}_2}{\partial u_3 \partial u_3} & \frac{\partial^2 \mathcal{E}_2}{\partial u_3 \partial u_4} & \frac{\partial^2 \mathcal{E}_2}{\partial u_3 \partial u_5} & \frac{\partial^2 \mathcal{E}_2}{\partial u_3 \partial u_6} \\ \frac{\partial^2 \mathcal{E}_2}{\partial u_4 \partial u_1} & \frac{\partial^2 \mathcal{E}_2}{\partial u_4 \partial u_2} & \frac{\partial^2 \mathcal{E}_2}{\partial u_4 \partial u_3} & \frac{\partial^2 \mathcal{E}_2}{\partial u_4 \partial u_4} & \frac{\partial^2 \mathcal{E}_2}{\partial u_4 \partial u_5} & \frac{\partial^2 \mathcal{E}_2}{\partial u_4 \partial u_6} \\ \frac{\partial^2 \mathcal{E}_2}{\partial u_5 \partial u_1} & \frac{\partial^2 \mathcal{E}_2}{\partial u_5 \partial u_2} & \frac{\partial^2 \mathcal{E}_2}{\partial u_5 \partial u_3} & \frac{\partial^2 \mathcal{E}_2}{\partial u_5 \partial u_4} & \frac{\partial^2 \mathcal{E}_2}{\partial u_5 \partial u_5} & \frac{\partial^2 \mathcal{E}_2}{\partial u_5 \partial u_6} \\ \frac{\partial^2 \mathcal{E}_2}{\partial u_6 \partial u_1} & \frac{\partial^2 \mathcal{E}_2}{\partial u_6 \partial u_2} & \frac{\partial^2 \mathcal{E}_2}{\partial u_6 \partial u_3} & \frac{\partial^2 \mathcal{E}_2}{\partial u_6 \partial u_4} & \frac{\partial^2 \mathcal{E}_2}{\partial u_6 \partial u_5} & \frac{\partial^2 \mathcal{E}_2}{\partial u_6 \partial u_6} \end{bmatrix}$$

Sym.

Gelijk analoge structuur voor  $\frac{\partial^2 \mathcal{E}_4}{\partial u_2 \partial u_1}$  en  $\frac{\partial^2 \chi_{24}}{\partial u_2 \partial u_1}$

APPENDIX VI

---

COMPUTER PROGRAMMA'S

Laljol 05064608 Beljers

begin comment Berekening van de veer karakteristiek met behulp van de elementenmethode,  
 waarin het criterium van grote verplaatsingen is gebruikt;

```

procedure STYFEL(E, I, A, I, S);
value E, I, I, A; real E, I, I, A; array S;
begin S[1, 1] := E x A/1; S[1, 2] := S[1, 3] := S[2, 1] := S[3, 1] := 0;
      S[2, 2] := S[3, 3] := 4 x E x I/1; S[2, 3] := S[3, 2] := -2 x E x I/1;
end STYFEL;

```

```

procedure HULP(a, b, c, d, e, f, LEN, st, en, le, KN);
value en, st; integer en, st; real a, b, c, d, e, f; integer array le; array LEN, KN;
begin integer I, j; real x1, x2, z1, z2, I;
      I := le[en, 1]; j := le[en, 2];
      x1 := KN[I, 1]; x2 := KN[j, 1]; z1 := KN[I, 2]; z2 := KN[j, 2];
      if st = 1 then begin I := ((z2 - z1) x (z2 - z1) + (x2 - x1) x (x2 - x1)) ^ 0.5;
            LEN[en, 1] := LEN[en, 2] := 1;
            end;
      if st # 1 then begin I := LEN[en, 2] end;
      a := (z2 - z1)/1; b := (x2 - x1)/1; c := a x a; d := b x b; e := 2 x a x b; f := d - c;
end HULP;

```

```

procedure BELASTINGVEKTOR(T, lmp, f);
value T; integer T; integer array lmp; array f;
begin integer I, j, ab, n, ae; real q;
      for I := 1 step 1 until T do f[I] := 0; ab := read; for I := 1 step 1 until ab do
            begin n := read; NLCR; PRINTTEXT('knooppunt='); ABSFIXT(3, 0, n); ae := read;
                  for j := 1 step 1 until ae do begin q := f[lmp[n, read]]; FLOT(5, 3, q);
                        end;
            end;
end BELASTINGVEKTOR;

```

```

procedure ONDERSTEUNING(N, T, lmp);
value N; integer N, T; integer array lmp;
begin integer n, v, a0, I, j, av, t;
      t := 0; for n := 1 step 1 until N do for v := 1, 2, 3 do lmp[n, v] := 1;
            a0 := READ; for I := 1 step 1 until a0 do
                  begin n := READ; av := READ; for j := 1 step 1 until av do
                        begin v := READ; lmp[n, v] := 0;
                                end
                        end;
            end;
end;

```

end intezen voorgeschreven verplaatsingen;

```

for n := 1 step 1 until N do for v := 1, 2, 3 do if Impln, v] = 1 then
begin
t := t + 1;
Impln, v] := t;
end;
T := t;
end bepalning Imp vektor met T vrijheidsgraden;

```

```

procedure INLE(Ne, le);
value Ne; integer Ne; integer array le;
begin
integer k;
for k := 1 step 1 until Ne do
begin le[k, 1] := READ; le[k, 2] := READ;
end
end

```

end Inlezen le vektor;

```

procedure GDM(L, sigma1, sigma2, sigma3, G1, G2, G3, G, a, b, c, d, e, f);
value L, sigma1, sigma2, sigma3, a, b, c, d, e, f; real L, sigma1, sigma2, sigma3, a, b, c, d, e, f;
array G1, G2, G3, G;

```

```

begin
integer i, j; real hulpl, hulpl2, hulpl3;
for i := 1 step 1 until 6 do for j := 1 step 1 until 6 do
G1[i, 1] := sigma1 x 6/(5 x 1) x c; G1[i, 4] := G1[i, 1]; G1[i, 5] := G1[i, 1];
G1[i, 2] := -sigma1 x 3/(5 x 1) x e; G1[i, 5] := G1[i, 2]; G1[i, 4] := -G1[i, 2]; G1[i, 5] := G1[i, 2];
G1[i, 3] := 0.1 x sigma1 x a; G1[i, 6] := G1[i, 3]; G1[i, 4] := G1[i, 3]; G1[i, 5] := -G1[i, 3];
G1[i, 2] := sigma1 x 6/(5 x 1) x d; G1[i, 5] := G1[i, 2]; G1[i, 2] := -G1[i, 2];
G1[i, 3] := -0.1 x sigma1 x b; G1[i, 6] := G1[i, 3]; G1[i, 5] := -G1[i, 3];
G1[i, 3] := sigma1 x 4 x 1/30; G1[i, 6] := G1[i, 3]; G1[i, 5] := -G1[i, 3]/4;
hulpl := 1/(1 x 1) x sigma2;
G2[i, 1] := -hulpl2 x e; G2[i, 4] := G2[i, 2]; G2[i, 5] := -G2[i, 1]; G2[i, 2] := G2[i, 1];
G2[i, 2] := hulpl2 x f; G2[i, 5] := G2[i, 2]; G2[i, 4] := -G2[i, 2];
hulpl3 := 1/(1 x 1) x sigma3;
G3[i, 1] := hulpl3 x e; G3[i, 4] := G3[i, 2]; G3[i, 5] := -G3[i, 1]; G3[i, 2] := G3[i, 1];
G3[i, 2] := -hulpl3 x f; G3[i, 5] := G3[i, 2]; G3[i, 4] := -G3[i, 2];
for i := 1 step 1 until 6 do for j := 1 step 1 until 6 do G[i, j] := G1[i, j] + G2[i, j] + G3[i, j];
for i := 2 step 1 until 6 do for j := 1 step 1 until i - 1 do G[i, j] := G[i, j], 1];
end

```

end GEOMETRISCHE MATRIX;

procedure ORDEREPS(a, b, l, eps1, eps2, eps3, Deps);

```

value a, b, l, eps1, eps2, eps3; real a, b, l, eps1, eps2, eps3; array Deps;
begin
integer i, j;
for i := 1 step 1 until 3 do for j := 1 step 1 until 6 do Deps[i, j] := 0;
Deps[i, 1] := 0.1 x a x (-eps2 + eps3); Deps[i, 4] := -Deps[i, 1];
Deps[i, 2] := -0.1 x b x (-eps2 + eps3); Deps[i, 5] := -Deps[i, 2];
Deps[i, 3] := 1/30 x (-4 x eps2 - eps3); Deps[i, 6] := 1/30 x (eps2 + 4 x eps3);
for i := 1, 2 do for j := 1 step 1 until 6 do Deps[i+1, j] := 0;

```

end ORDREPS;

procedure DEPSDU(a, b, l, q1, q1P);

value a, l, b; real a, b, l; array q1, q1P;

begin integer i, j; real hulp;

for i := 1 step 1 until 3 do for j := 1 step 1 until 6 do q1[i, j] := 0;

hulp := 1/l;

q1[1, 1] := -b; q1[1, 4] := -q1[1, 1]; q1[1, 2] := -a; q1[1, 5] := -q1[1, 2];

q1[2, 1] := -a x hulp; q1[2, 2] := hulp x b; q1[2, 4] := q1[3, 1] := -q1[2, 1]; q1[3, 4] := q1[2, 1];

q1[2, 5] := q1[3, 2] := -q1[2, 2]; q1[3, 5] := q1[2, 2]; q1[2, 3] := -1; q1[3, 6] := 1;

for i := 1 step 1 until 3 do for j := 1 step 1 until 6 do q1P[i, j] := q1[i, j];

end DEPSDU;

procedure VERMENTGVUIDIGING(A, B, C, D, DT);

array A, B, C, D, DT;

begin integer i, j, k; array HU[1:6, 1:3];

for i := 1 step 1 until 6 do for j := 1 step 1 until 3 do HU[i, j] := 0;

for i := 1 step 1 until 6 do for j := 1 step 1 until 6 do D[i, j] := DT[i, j] := 0;

for i := 1 step 1 until 6 do for j := 1 step 1 until 3 do

begin for k := 1 step 1 until 3 do HU[i, j] := HU[i, j] + A[i, k] x B[k, j]; end;

for i := 1 step 1 until 6 do for j := 1 step 1 until 6 do

begin for k := 1 step 1 until 3 do D[i, j] := D[i, j] + HU[i, k] x C[k, j]; end;

for i := 1 step 1 until 6 do for j := 1 step 1 until 6 do DT[i, j] := D[i, j];

end VERMENTGVUIDIGING;

procedure OPTELLING(A, B, C, D, Qtot);

array A, B, C, D, Qtot;

begin integer i, j;

for i := 1 step 1 until 6 do for j := 1 step 1 until 6 do Qtot[i, j] := 0;

for i := 1 step 1 until 6 do for j := 1 step 1 until 6 do Qtot[i, j] := A[i, j] + B[i, j] + C[i, j] + D[i, j];

end OPTELLING;

procedure QKONSTRUKTIE(en, Qtot, le, lmp, Qkon);

value en; integer en; array Qtot, le, lmp, Qkon;

begin integer s1, s2, v1, v2, l1, l2, i;

for s1 := 1, 2 do for v1 := 1, 2, 3 do

begin i := lmp[lelen, s1], v1]; l1 := (s1 - 1) x 3 + v1; if i > 0 then

begin for s2 := 1, 2 do for v2 := 1, 2, 3 do

begin j := lmp[lelen, s2], v2]; l2 := (s2 - 1) x 3 + v2;

if j > i then Qkon[i, j - 1] := Qkon[i, j - 1] + Qtot[l1, l2];

end

end

```

end
end QKONSFRUKTIE;

```

```

procedure CHOILBD(n, m, dec, a, b, fail);
value n, m, dec; integer n, m, dec; array a, b; label fail;
begin integer k, ml, l, j;

```

```
ml := m;
```

```
if dec = 0 V dec = 2 V dec = 4 V dec = 6 then
```

```
for k := 1 step 1 until n do
```

```
begin if a[k, 0] < 0 then goto fail;
```

```
alk, 0] := sqrt(alk, 0));
```

```
if m > n - k then ml := n - k;
```

```
for l := 1 step 1 until ml do a[k, l] := a[k, l]/a[k, 0];
```

```
for l := ml + 1 step 1 until m do a[k, l] := 0;
```

```
for j := 1 step 1 until ml do for l := 0 step 1 until ml - j do a[k + j, l] := a[k + j, l] - a[k, j] × a[k, j + l];
```

```
end k;
```

```
ml := m;
```

```
if dec = 0 V dec = 1 V dec = 4 V dec = 5 then
```

```
or k := 1 step 1 until n do
```

```
begin b[k] := b[k]/a[k, 0];
```

```
if m > n - k then ml := n - k;
```

```
for j := 1 step 1 until ml do b[k + j] := b[k + j] - a[k, j] × b[k]
```

```
end k;
```

```
ml := m;
```

```
if dec < 4 then
```

```
for k := n step -1 until 1 do
```

```
begin b[k] := b[k]/a[k, 0];
```

```
if k < m + 1 then ml := k - 1;
```

```
for j := 1 step 1 until ml do b[k - j] := b[k - j] - a[k - j, j] × b[k]
```

```
end k
```

```
end CHOILBD;
```

```
procedure UFWERRFUD(N, frot, lmp);
```

```
value N; integer N; array frot, lmp;
```

```
begin integer i, j, k, a; real array mm[1:5];
```

```
for i := 1 step 1 until N do
```

```
begin for j := 1, 2, 3 do
```

```
begin a := lmp[i, j]; mm[j] := 0;
```

```
if a ≠ 0 then mm[j] := frot[a];
```

```
end;
```

```
if mm[1] ≠ 0 V mm[2] ≠ 0 V mm[3] ≠ 0 then
```

```
begin NLCR; PRINTTEXT(* knooppunt = *); ABSFIXT(3, 0, 1);
```

```
for k := 1 step 1 until 3 do
```

```

begin SPACE(5); FLOT(5,3,m[k1]) end;
end;
end;
endUITVOER;

procedure UITVOER KN SI R(KN, SI, R, Ne, k, st, N);
value N, Ne, st; integer N, Ne, st, k; array KN, SI, R;
begin CARRIAGE(5); SPACE(10);
PRINTTEXT('anooppuntskoordinaat--elementur--x--koordinaat--y--koordinaat na stap nr');
ABSPTX(5, 0, st); CARRIAGE(2);
UITVOER(N, 2, KN);
CARRIAGE(5); SPACE(10);
PRINTTEXT('de krachten in de elementen--elementur--M1--M2 na stap nr');
ABSPTX(5, 0, st); CARRIAGE(2); UITVOER(Ne, 5, SI);
CARRIAGE(5); SPACE(10);
PRINTTEXT('de rekken van de elementen--elementur--eps1--eps2--eps3 na stap nr');
ABSPTX(5, 0, st); CARRIAGE(2); UITVOER(Ne, 5, R);
end UITVOER KN SI R;

procedure UITGANGSHOEK(en, KN, le, Imp, HOEK);
value en; integer en; array KN, le, Imp, HOEK;
begin read x1, x2, z1, z2, hulp2;
x1 := KN[lelen, 1], 1]; x2 := KN[lelen, 2], 1];
z1 := KN[lelen, 1], 2]; z2 := KN[lelen, 2], 2];
if x2 > x1 then hulp2 := arctan((z2 - z1)/(x2 - x1));
if x2 < x1 then hulp2 := arctan((z2 - z1)/(x2 - x1)) + pi;
if x2 = x1 & z2 > z1 then hulp2 := pi/2;
if x2 = x1 & z2 < z1 then hulp2 := -pi/2;
HOEK[en] := hulp2;
end UITGANGSHOEK;

procedure REKSPANTITERATIE(en, ue, R, KN, KNH, LEN, le, Imp, u, SI, S, E, I, A, PSI, PSIH, HOEK);
value en, E, I, A; integer en; real E, I, A; array ue, R, KN, KNH, LEN, le, Imp, u, SI, S, PSI, PSIH, HOEK;
begin integer i, j, l1, l2; real x1, x2, z1, z2, psi1, psi2, hulp1, hulp2, hulp3, hulp4, hulp5, p1; array eps[1:5];
pi := 3.14159265358;
x1 := KN[lelen, 1], 1]; x2 := KN[lelen, 2], 1]; psi1 := PSI[en, 1];
z1 := KN[lelen, 1], 2]; z2 := KN[lelen, 2], 2]; psi2 := PSI[en, 2];
for i := 1, 2 do for j := 1, 2, 3 do
begin l1 := (i - 1) * 3 + j; l2 := Imp[lelen, i], j];
ue[l1] := if l2 = 0 then 0 else u[l2];
end;
hulp2 := (z2 - z1) / LEN[en, 2]; hulp3 := (x2 - x1) / LEN[en, 2];
x1 := x1 + ue[l1]; KNH[lelen, 1], 1] := x1;
x2 := x2 + ue[l1]; KNH[lelen, 2], 1] := x2;

```

```

z1 := z1 + ue[2]; KMH[1, len, 1], 2] := z1;
z2 := z2 + ue[5]; KMH[1, len, 2], 2] := z2;
ps11 := ps11 + ue[3]; PS1[en, 1] := ps11;
ps12 := ps12 + ue[6]; PS1[en, 2] := ps12;
hulp5 := ((x2 - x1) ^ 2 + (z2 - z1) ^ 2) ^ 0.5;
hulp1 := PS1[en];
x1 := hulp3 * ue[1] + hulp2 * ue[2];
z1 := - hulp2 * ue[1] + hulp3 * ue[2];
x2 := hulp3 * ue[4] + hulp2 * ue[5];
z2 := - hulp2 * ue[4] + hulp3 * ue[5];
x2 := x2 + LEN[en, 2];
LEN[en, 2] := hulp5;

```

```

if x2 > x1 then hulp4 := arctan((z2 - z1)/(x2 - x1));
if x2 < x1 ^ z2 > z1 then hulp4 := arctan((z2 - z1)/(x2 - x1)) + pi;
if x2 < x1 ^ z2 < z1 then hulp4 := arctan((z2 - z1)/(x2 - x1)) - pi;
if x2 = x1 ^ z2 > z1 then hulp4 := pi/2;
if x2 = x1 ^ z2 < z1 then hulp4 := - pi / 2;
hulp1 := hulp1 + hulp4; PS1[en] := hulp1;
eps[2] := - ps11 + HOEK[en] - hulp1;
eps[3] := ps12 - HOEK[en] + hulp1;
eps[1] := hulp5 * (1 + 1/30 * (2 * eps[2] * eps[2] + eps[2] * eps[3] + 2 * eps[3] * eps[3])) - LEN[en, 1];
for i := 1, 2, 3 do R[en, i] := eps[1];
STYPRN(E, I, A, LEN[en, 1], S);
for i := 1, 2, 3 do S1[en, i] := 0;
for i := 1, 2, 3 do for j := 1, 2, 3 do S1[en, i] := S1[en, i] + S[i, j] * R[en, j];
end REKSPANNITERATIE;

```

```

procedure UITVOER(Ne, k, M);
value Ne; integer Ne, k; array M;
begin
integer i, j;
for i := 1 step 1 until Ne do
begin
CARRIAGE(2); ABSFIXT(3, 0, 1);
for j := 1 step 1 until k do
begin
SPACE(5); FLOT(5, 3, M[i, j]);
end
end
end UITVOER;

```

```

procedure VERMEKTOR(SI, DEDU, vektor, en); value en; integer en;
array SI, DEDU, vektor;
begin
integer i, j;
for i := 1 step 1 until 6 do vektor[i] := 0;
for i := 1 step 1 until 6 do for j := 1, 2, 3 do vektor[i] := vektor[i] + SI[en, j] * DEDU[j, i];
end VERMEKTOR;

```



```

procedure RECHTERLID(vektor, rechter, en, le, lnp);
value en; integer en; array vektor, rechter, le, lnp;
begin integer 1, j, 11, 12;
  for 1 := 1, 2 do for j := 1, 2, 3 do
    begin 11 := (1-1) * 5 + j; 12 := lnp[le[en, 1], j];
      if 12 > 0 then rechter[12] := rechter[12] + vektor[11];
    end;
  end RECHTERLID;
end RECHTERLID;

procedure BANDBREEDTE(ae, ake, avk, lnp, le2, bo); value ae, ake, avk; integer array lnp, le2;
begin integer en, max, mln, 1, j, k;
  bo := 0;
  for en := 1 step 1 until ae do
    begin max := 0; mln := ae * ake * avk;
      for 1 := 1 step 1 until ake do for j := 1 step 1 until avk do
        begin k := lnp[le[en, 1], j]; if k > 0 then
          begin if k > max then max := k;
            if k < mln then mln := k;
          end;
        end;
      if (max - mln) > bo then bo := max - mln;
    end;
  end;
CARRIAGE(10); PRINTTEXT(⟨Bandbreedte stijfheidsmatrix:⟩); ABSFIXT(5, 0, bo);
end BANDBREEDTE;

integer N, Ne, T, en, stap, uitvoer, test, 1, j, st, sp, itteratie, cond;
real macheps, E, I, A, a, b, c, d, e, f, co, si, absol, procent, pi, nu, na, nain, fout, conditie;
real array S[1:3, 1:3], Q1, Qeps[1:3, 1:6], G1, G2, G3, Gtot, qelm1, qelm2, qelm3, qtot, W[1:6, 1:6], Q1T[1:6, 1:3],
  uel[1:6], DEBU[1:3, 1:6], vektor[1:6];
CARRIAGE(2); PRINTTEXT(⟨ De starttijd = ⟩); FLOT(5, 3, TIME/100);
N := read; NIGR; PRINTTEXT(⟨ aantal knooppunten=⟩); ABSFIXT(3, 0, N); CARRIAGE(2);
Ne := read; PRINTTEXT(⟨ aantal elementen=⟩); ABSFIXT(5, 0, Ne); CARRIAGE(2);
E := read; PRINTTEXT(⟨ elasticiteitsmodulus=⟩); FLOT(5, 3, E); CARRIAGE(2);
I := read; PRINTTEXT(⟨ koppelvlaktragedismoment=⟩); FLOT(5, 3, I); CARRIAGE(2);
A := read; PRINTTEXT(⟨ koppelvlakte element=⟩); FLOT(5, 3, A); CARRIAGE(2);
absol := read; PRINTTEXT(⟨ de afwijking t.o.v. 0 mag zijn in de belastingsvektor ⟩); FLOT(5, 3, absol); CARRIAGE(2);
procent := read; PRINTTEXT(⟨ de procentuele afwijking in de belastingsvektor mag zijn ⟩); FLOT(5, 3, procent); CARRIAGE(2);
macheps := 2 * 10-12;
stap := read; PRINTTEXT(⟨ aantal geschatte belastingsstappen voor de berekening=⟩); ABSFIXT(3, 0, stap);
cond := read; CARRIAGE(2); PRINTTEXT(⟨ aantal toegelaten iteratiestappen=⟩); ABSFIXT(3, 0, cond);
CARRIAGE(5);
begin integer bb; integer array lnp[1:N, 1:3], le[1:Ne, 1:2];
  real array R[1:Ne, 1:3], KNH, KNRE, KN[1:N, 1:2], LEN[1:Ne, 1:2], SI[1:Ne, 1:3];

```

```

LENRE, PSIHRE, HOEK[1:Ne], PSIH[1:Ne], PSI, PSIRE[1:Ne,1:2];
for i := 1 step 1 until N do for j := 1 step 1 until 2 do KN[i, j] := read;
SPACE(10); PRINTTEXT(⟨de knooppuntskoordnaten in uitgangspostie-elementen-x koord-y koord⟩);
UITVOER(N, 2, KN);
for i := 1 step 1 until Ne do for j := 1, 2, 3 do R[i, j] := SI[i, j] := 0;
for i := 1 step 1 until Ne do for j := 1, 2 do LEN[i, j] := PSI[i, j] := 0;
for i := 1 step 1 until Ne do HOEK[i] := PSIH[i] := 0;
ONDERSTEUNING(N, T, lnp); CARRIAGE(5); PRINTTEXT(⟨de lnp-vektor van de constructie⟩);
UITVOER(N, 3, lnp); CARRIAGE(5);
INLE(Ne, le); PRINTTEXT(⟨de le-vektor van de constructie⟩); UITVOER(Ne, 2, le); CARRIAGE(5);
for i := 1 step 1 until Ne do UITGANGSHOEK(1, KN, le, lnp, HOEK);
for i := 1 step 1 until Ne do PSIH[i] := HOEK[i];
BANDBEREIDTE (Ne, 2, 3, lnp, le, lb); CARRIAGE(4);
Iteratie := 0;
begin integer con, hu, teller, conhulp, controle; real array qkon, qkonhulp[1:T, 0:bb], fr, rechter, fftot, ffrkon,
rechterlid, rechterlidhulp[1:T], u1, u2, deltau[1:T];

```

```

hu:= 0; st:= 0; con:= 1; teller:= 0; conhulp := 0;
for i:= 1 step 1 until T do fftot[i]:= rechterlid[i]:= u2[i] := u1[i] := deltau[i] := 0;
CARRIAGE(5); SPACE(5);
PRINTTEXT(⟨de totale belastingsvektor van de constructie⟩);
BELASTINGVEKTOR(T, lnp, ffrkon);
CARRIAGE(2); PRINTTEXT(⟨de nodig voor verwerken invoergegevens⟩); PLOT(5, 3, TIME/100);
for i:= 1 step 1 until T do ffr[i]:= ffrkon[i]/stap;
for i:= 1 step 1 until T do rechter[i]:= 0;
for i:= 1 step 1 until 6 do for j := 1 step 1 until 6 do w[i, j] := 0;
for i:= 1 step 1 until T do for j:= 0 step 1 until bb do qkon[i, j]:= 0;
CARRIAGE(2); PRINTTEXT(⟨t ijd start opbouwen stijfheidsmatrix en rechterlid⟩); PLOT(5, 3, TIME/100);
for en:= 1 step 1 until Ne do

```

```

begin HULP(a, b, c, d, e, f, LEN, con, en, le, KN);
STYFEL(E, I, A, LEN, 1, S);
GOM(LEN, 1, SI, LEN, 1, SI, LEN, 2, SI, LEN, 3, G1, G2, G3, Gtot, a, b, c, d, e, f);
ORDERS(a, b, LEN, 2, R, LEN, 1, R, LEN, 2, R, LEN, 3, Deps);
DEPSDU(a, b, LEN, 2, q1, q1T);
for i:= 1, 2, 3 do for j:= 1 step 1 until 6 do DEDU[i, j]:= q1[i, j] + Deps[i, j];
for i := 1, 2, 3 do for j := 1 step 1 until 6 do q1T[i, j] := DEDU[i, j];
VERMENIGVULDIGING(q1T, S, DEDU, qelm1, qelm2);
OPTELLING (qelm1, W, W, Gtot, qtot);
qkonstruktie (en, qtot, le, lnp, qkon);
VERVEKTOR(SI, DEDU, vektor, en);
RECHTERLID (vektor, rechter, en, le, lnp);
end;

```

```

CARRIAGE(2); PRINTTEXT(⟨t ijd⟩); PLOT(5, 3, TIME/100);
for i := 1 step 1 until T do rechterlid[i] := fftot[i] - rechter[i];

```

```

if st # 0 then
  begin for i:= 1 step 1 until T do
    begin if frot[i] = 0 then
      begin if abs (rechterlid[i]) > absol then
        begin hu:= hu + 1; goto OPLOSSEN end;
      end;
      if frot[i] # 0 then
        begin if abs (rechterlid[i] x 100/frot[i]) > procent then
          begin hu:= hu + 1; goto OPLOSSEN end;
        end
      end;
    end;
  end;
  if hu < 2 then
    begin for i:= 1 step 1 until T do fr[i]:= fr[i] x 2 end;
  end;
  if hu > 3 then
    begin for i:= 1 step 1 until T do fr[i]:= fr[i]/2 end;
  end;

```

```

end;
hu := 0;
for i:= 1 step 1 until T do
  begin if abs(frot[i]) > abs( rkon[i]) then goto BINDE;
    frot[i]:= frot[i] + fr[i];
    rechterlid[i]:= frot[i] - rechter[i];
  end;
  if st # 0 then UITVOERKONSIR(KN, SI, R, Ne, 3, st, N);
  st:= st + 1; con := 2;
  for i:= 1 step 1 until T do for j:= 0 step 1 until bb do Qkon hulp[i,j]:= Qkon[i,j];
  for i:= 1 step 1 until T do rechterlidhulp[i]:= rechterlid[i];
  for i:= 1 step 1 until N do for j := 1 step 1 until 2 do KNRE[i,j] := KN[i,j];
  for i:= 1 step 1 until N do begin LENRE[i] := LEN[i,2]; PSIRE[i] := PSIH[i];
    for j := 1, 2 do PSIRE[i,j] := PSIH[i,j];
  end;

```

```

  if st # 0 then UITVOERKONSIR(KN, SI, R, Ne, 3, st, N);
  ABSFIXT(3, 0, st); CARRIAGE(2);
  UITVOERFROT(N, frot, lmp);
  CHOIBD (T, bb, 0, Qkon, rechterlid, fail);
  for en:= 1 step 1 until N do REKSPANTTERATIE (en, ue, R, KN, KNH, LEN, le, lmp, rechterlid,
    SI, S, E, I, A, PSI, PSIH, HOEK);
  for i:= 1 step 1 until N do for j:= 1, 2 do KN[i,j]:= KNH[i,j];
  end;
  CARRIAGE(3); PRINTTEXT(De belastingscomponenten in de knooppunten na een aantal stappen van);
  ABSFIXT(3, 0, st); CARRIAGE(2);
  UITVOERFROT(N, frot, lmp);
  CHOIBD (T, bb, 0, Qkon, rechterlid, fail);
  for en:= 1 step 1 until N do REKSPANTTERATIE (en, ue, R, KN, KNH, LEN, le, lmp, rechterlid,
    SI, S, E, I, A, PSI, PSIH, HOEK);
  for i:= 1 step 1 until N do for j:= 1, 2 do KN[i,j]:= KNH[i,j];
  end;

```

```

OPNIEUW:
  CHOIBD (T, bb, 0, Qkon, rechterlid, fail);
  for en:= 1 step 1 until N do REKSPANTTERATIE (en, ue, R, KN, KNH, LEN, le, lmp, rechterlid,
    SI, S, E, I, A, PSI, PSIH, HOEK);
  for i:= 1 step 1 until N do for j:= 1, 2 do KN[i,j]:= KNH[i,j];
  end;
  goto VERDER;
  if hu < cond then
    begin CHOIBD (T, bb, 0, Qkon, rechterlid, fail);
      for en:= 1 step 1 until N do
        REKSPANTTERATIE (en, ue, R, KN, KNH, LEN, le, lmp, rechterlid, SI, S, E, I, A, PSI, PSIH, HOEK);
        for i:= 1 step 1 until N do for j:= 1, 2 do KN[i,j]:= KNH[i,j];
      end;
    end;
  end;

```

```

OPLOSSEN:
  if hu < cond then
    begin CHOIBD (T, bb, 0, Qkon, rechterlid, fail);
      for en:= 1 step 1 until N do
        REKSPANTTERATIE (en, ue, R, KN, KNH, LEN, le, lmp, rechterlid, SI, S, E, I, A, PSI, PSIH, HOEK);
        for i:= 1 step 1 until N do for j:= 1, 2 do KN[i,j]:= KNH[i,j];
      end;
    end;
  end;

```

```

con:= 2;
NLGR; PRINTTEXT(† er wordt uitgevoerd iteratiestap no:†); ABSFIXT(3,0,hu);
goto VERDER;
end;
if hu > cond then
begin
for i:= 1 step 1 until T do fff[i]:= fff[i]/2;
for i:= 1 step 1 until T do
begin rechterlid[i]:= rechterlidhulp[i] - fff[i]; rechterlidhulp[i] := rechterlid[i] end;
for i:= 1 step 1 until T do for j:= 0 step 1 until bb do qkon[i,j]:= qkonhulp[i,j];
for i:= 1 step 1 until N do for j:= 1 step 1 until 2 do KN[i,j] := KNRE[i,j];
for i:= 1 step 1 until Ne do begin LENRE[i,2] := LENRE[i,2]; PSIH[i] := PSIHRE[i];
for j:= 1, 2 do PSIL[i,j] := PSIRE[i,j];
end;
CARRIAGE(5);
PRINTTEXT(† tegens teveel iteraties wordt opnieuw met de voorgaande stap gestart met halve stapgrootte†);
con := 2; hu := 0 ;
for i:= 1 step 1 until T do fffot[i] := fffot [i] - fff[i];
CARRIAGE(5); PRINTTEXT(† De totale uitwendige belastingvektor is nu†); UITWOERFFTOT(N, fffot, lnp);
goto OPNIEUW;
end;
CARRIAGE(5); PRINTTEXT(† De stijfheidsmatrix is niet meer positief definit†);
NLGR; PRINTTEXT(† hetgeen duidt op de niet - lineaire stabiliteitswaarden†);
if st ≠ conulp then
begin conulp := st; teller := 0end;
if st = conulp then
begin teller := teller + 1;
for i:= 1 step 1 until T do fff[i] := fff[i]/2;
for i:= 1 step 1 until T do fffot[i] := fffot[i] - fff[i];
if teller < 5 then
begin for i:= 1 step 1 until T do
begin rechterlid[i]:= rechterlidhulp[i] - fff[i]; rechterlidhulp[i] := rechterlid[i]; end;
for i:= 1 step 1 until T do for j:= 0 step 1 until bb do qkon[i,j]:= qkonhulp[i,j];
for i:= 1 step 1 until N do for j:= 1 step 1 until 2 do KN[i,j] := KNRE[i,j];
for i:= 1 step 1 until Ne do begin LENRE[i,2] := LENRE[i,2]; PSIH[i] := PSIHRE[i];
for j:= 1, 2 do PSIL[i,j] := PSIRE[i,j];
end;
CARRIAGE(5);
PRINTTEXT(† Om een betere benadering voor de niet lineaire stabiliteitswaarden †);

```

```

NLCR; PRINTTEXT(†te krijgen wordt de stap gehalveerd†);
NLCR; PRINTTEXT(†en opnieuw getttereerd†);
  nu := 0;
  CARRIAGE(5); PRINTTEXT(†De totale belastingvektor is nu : †); UITVOERFFTOF(N, fftot, lmp);
  goto OPNIEUW;
end;
goto EINDR;
end;
EINDE : end;
end
progend

```

Tuwoer volgorde voor programma 05064608

$N$  = aantal knooppunten

$N_e$  = aantal elementen

$E$  = elasticiteitsmodulus

$I$  = oppervlakte traagheidsmoment van de dwarsdoorsnede

$A$  = oppervlakte van de dwarsdoorsnede

absol = absolute afwijking t.o.v. nul

prout = procentuele afwijking

stap = aantal geschikte stappen in de uitwendige belasting

cond = aantal iteratiestappen, dat beëindigd wordt voordat de belastingstap gehalveerd wordt.

- : Vullen van de knooppuntcoördinaten. De coördinaten inleren in dezelfde volgorde dan de knooppuntnummers.

- : Vullen van de lnp-vektor.

ao = aantal knooppunten met voorgeschreven verplaatsing

n = knooppuntnummer

av = aantal voorgeschreven richtingen.

v = richting, die voorgeschreven is.

- : vullen van de le-vektor. In volgorde van de elementnummers de knooppunten per element.

- : vullen van de belastingvektor.

ab = aantal knooppunten met voorgeschreven belasting

n = knooppuntnummer

ac = aantal voorgeschreven belastingen per knooppunt  
hierna richting en grootte van de voorgeschreven belastingen.

```

1algol05064355Beyers
begin comment berekening van de knikkkracht van een vakwerk, met behulp van de elementemethode, waarin tevens de verplaatsingen
en de krachten in de knooppunten bepaald kunnen worden;
library CHOLESKI DECOMPOSITION, CHOLESKI SOLUTION, INPROD, TRIDIAGONALIZATION, EIGENVALUE,
EIGENVECTOR, BACKTRANSFORMATION;
procedure DEPSDU(a, b, l, q1, q1T);
value a, l, b; real a, b, l; array q1, q1T;
begin integer i, j; real hulp;
for i := 1 step 1 until 3 do for j := 1 step 1 until 6 do q1[i, j] := 0;
hulp := 1/l;
q1[1, 1] := - b; q1[1, 4] := - q1[1, 1]; q1[1, 2] := - a; q1[1, 5] := - q1[1, 2];
q1[2, 1] := - a x hulp; q1[2, 2] := hulp x b; q1[2, 4] := q1[3, 1] := - q1[2, 1]; q1[3, 4] := q1[2, 1];
q1[2, 5] := q1[3, 2] := - q1[2, 2]; q1[3, 5] := q1[2, 2]; q1[2, 3] := - 1; q1[3, 6] := 1;
for i := 1 step 1 until 3 do for j := 1 step 1 until 6 do q1T[j, i] := q1[i, j];
end DEPSDU;

procedure VERNENIGVUIDIGING(A, B, C, D, DT);
array A, B, C, D, DT;
begin integer i, j, k; array HU[1:6, 1:3];
for i := 1 step 1 until 6 do for j := 1 step 1 until 3 do HU[i, j] := 0;
for i := 1 step 1 until 6 do for j := 1 step 1 until 6 do D[i, j] := DT[i, j] := 0;
for i := 1 step 1 until 6 do for j := 1 step 1 until 3 do
begin for k := 1 step 1 until 3 do HU[i, j] := HU[i, j] + A[i, k] x B[k, j]; end;
begin for k := 1 step 1 until 3 do D[i, j] := D[i, j] + HU[i, k] x C[k, j]; end;
for i := 1 step 1 until 6 do for j := 1 step 1 until 6 do DT[i, j] := D[j, i];
end VERNENIGVUIDIGING;

procedure STYFEL(E, I, A, l, S);
value E, l, I, A; real E, I, l, A; array S;
begin S[1, 1] := E x A/l; S[1, 2] := S[1, 3] := S[2, 1] := S[3, 1] := 0;
S[2, 2] := S[3, 3] := 4 x E x I/l; S[2, 3] := S[3, 2] := - 2 x E x I/l;
end STYFEL;

procedure HULP(a, b, c, d, e, f, LEN, st, en, le, KN);
value en, st; integer en, st; real a, b, c, d, e, f; integer array le; array LEN, KN;
begin integer i, j; real x1, x2, z1, z2, l;
i := le[en, 1]; j := le[en, 2];
x1 := KN[i, 1]; x2 := KN[j, 1]; z1 := KN[1, 2]; z2 := KN[j, 2];
l := ((z2 - z1) x (z2 - z1) + (x2 - x1) x (x2 - x1)) ^ 0.5; LEN[en] := l;
a := (z2 - z1)/l; b := (x2 - x1)/l; c := a x a; d := b x b; e := 2 x a x b; f := d - c;
end HULP;

```

```

10
Procedure PROFILKEUZE(Ne, keuze, dl, F, I, b, h);
Value Ne; Integer Ne, keuze; array dl, F, I, b, h;
Begin Integer i; real c, pi; c := arctan(1)/45; pi := 4 * arctan(1);
  For i := 1 step 1 until Ne do
    Begin keuze := read;
      If keuze = 1 then begin dl[i] := pi/4 * dl[i] * dl[i];
        I[i] := pi/64 * (dl[i] ^ 4); NLGR; ABSFIXT(3, 0, 1);
        SPACE(4); FLOT(5, 3, F[i]); SPACE(4);
        FLOT(5, 3, I[i]); SPACE(36); FLOT(5, 3, dl[i]);
      end;
      If keuze = 2 V keuze = 3 then begin b[i] := read; h[i] := read; F[i] := b[i] * h[i];
        If keuze = 3 then I[i] := 1/12 * h[i] * (b[i] ^ 3)
          else I[i] := 1/12 * b[i] * (h[i] ^ 3);
        NLGR; ABSFIXT(3, 0, 1); SPACE(4);
        FLOT(5, 3, F[i]); SPACE(4); FLOT(5, 3, I[i]); SPACE(3);
        FLOT(5, 3, b[i]); SPACE(3); FLOT(5, 3, h[i]);
      end;
      If keuze = 4 then begin F[i] := read; h[i] := read; I[i] := 2 * F[i] * h[i] * h[i] / 4;
        NLGR; ABSFIXT(3, 0, 1); SPACE(4);
        FLOT(5, 3, F[i]); SPACE(4); FLOT(5, 3, I[i]); SPACE(19);
        FLOT(5, 3, h[i]);
      end;
      If keuze = 5 then begin F[i] := read; I[i] := read; NLGR; ABSFIXT(3, 0, 1);
        SPACE(4); FLOT(5, 3, F[i]); SPACE(4);
        FLOT(5, 3, I[i]);
      end;
    End;
  End;
end PROFILKEUZE;

end
end EIGENVALUE PROBLEM;

procedure GENERAL EIGENVALUE PROBLEM(n, A, C, lambda, X, k1, k2, non definite, eivec);
Value n, k1, k2, eivec; Integer n, k1, k2; array A, C, lambda, X; label non definite; Boolean eivec;
Begin Integer i, j, l; array diag, codtag[1:n];
  For j := 1 step 1 until n do for i := 1 step 1 until n do
    A[i, j] := INPRD(1, 1, i-1, A[i, j])/C[i, 1];
  for j := 1 step 1 until n do for i := 1 step 1 until j do
    A[i, j] := A[i, 1] := INPRD(1, 1, i-1, C[i, 1], A[j, 1], A[j, 1])/C[i, 1];
  TRIAGONALIZATION(n, A, A, diag, codtag);
  EIGENVALUE(n, diag, codtag, k1, k2, lambda);
  If eivec then begin EIGENVECTOR(n, diag, codtag, k1, k2, lambda, X);
    BACKTRANSFORMATION(n, A, k1, k2, X);
    for j := k1 step 1 until k2 do for i := n step -1 until 1 do
      X[i, j] := INPRD(1, i+1, n, C[i, 1], X[i, j])/C[i, 1 ]
    end
  end EIGENVALUE PROBLEM;
end
end EIGENVALUE PROBLEM;

```







```

procedure QDM(1, sigma1, sigma2, sigma3, G1, G2, G3, G, a, b, c, d, e, f, sigma1, sigma2, sigma3, a, b, c, d, e, f);
value 1, sigma1, sigma2, sigma3, a, b, c, d, e, f; real 1, sigma1, sigma2, sigma3, a, b, c, d, e, f;
array G1, G2, G3, G;

```

```

begin integer 1, j; real hulpl, hulpl2, hulpl3;
for 1 := 1 step 1 until 6 do for j := 1 step 1 until 6 do G1[1, j] := G2[1, j] := G3[1, j] := G[1, j] := 0;

```

```

G1[1, 1] := sigma1 x 6 / (5 x 1) x c; G1[4, 4] := G1[1, 1]; G1[1, 4] := -G1[1, 1];
G1[4, 2] := -sigma1 x 3 / (5 x 1) x e; G1[1, 5] := G1[2, 4] := -G1[1, 2]; G1[4, 5] := G1[1, 2];
G1[1, 3] := 0.1 x sigma1 x a; G1[1, 6] := G1[1, 3]; G1[3, 4] := G1[4, 6] := -G1[1, 3];
G1[2, 2] := sigma1 x 6 / (5 x 1) x d; G1[5, 5] := G1[2, 2]; G1[2, 5] := -G1[2, 2];
G1[2, 3] := -0.1 x sigma1 x b; G1[2, 6] := G1[2, 3]; G1[5, 6] := G1[3, 5] := -G1[2, 3];
G1[3, 3] := sigma1 x 4 x 1 / 30; G1[6, 6] := G1[3, 3]; G1[3, 6] := -G1[3, 3] / 4;

```

```

hulpl2 := 1 / ((1 x 1) x sigma2);
G2[1, 1] := -hulpl2 x e; G2[1, 4] := G2[2, 2] := G2[5, 5] := -G2[1, 1]; G2[2, 5] := G2[4, 4] := G2[1, 1];
G2[1, 2] := hulpl2 x f; G2[4, 5] := G2[1, 2]; G2[1, 5] := G2[2, 4] := -G2[1, 2];
hulpl3 := 1 / ((1 x 1) x sigma3);
G3[1, 1] := hulpl3 x e; G3[1, 4] := G3[2, 2] := G3[5, 5] := -G3[1, 1]; G3[2, 5] := G3[4, 4] := G3[1, 1];
G3[1, 2] := -hulpl3 x f; G3[4, 5] := G3[1, 2]; G3[1, 5] := G3[2, 4] := -G3[1, 2];

```

```

for 1 := 1 step 1 until 6 do for j := 1 step 1 until 6 do G1[1, j] := G1[1, j] + G2[1, j] + G3[1, j];
for 1 := 2 step 1 until 6 do for j := 1 step 1 until 6 do G1[1, j] := G1[1, j] + G2[1, j] + G3[1, j];

```

```

end GDMETRISCHE MATRIX;

procedure QKONSTRUKTIV(en, Qtot, le, Imp, Qkon);
value en; integer en; array Qtot, le, Imp, Qkon;
begin integer s1, s2, v1, v2, l1, l2, i;
for s1 := 1, 2 do for v1 := 1, 2, 3 do
begin 1 := Imp|elen, s1, v1; l1 := (s1 - 1) x 3 + v1; if 1 > 0 then
begin for s2 := 1, 2 do for v2 := 1, 2, 3 do
begin j := Imp|elen, s2, v2; l2 := (s2 - 1) x 3 + v2;
if j > 1 then Qkon[l1, j] := Qkon[l1, j] + Qtot[l1, l2];
end
end
end
end

```

```

end QKONSTRUKTIV;

```

```

procedure UTRVOER(Ne, k, M);
value Ne; integer Ne, k; array M;
begin integer 1, j;
for 1 := 1 step 1 until Ne do
begin CARRIAGE(2); ABSFIXT(3, 0, 1);
for j := 1 step 1 until k do
begin SPACE(5); FLOT(5, 3, M[1, j]);
end
end
end UTRVOER;

```

```

end UTRVOER;

```



```

TRANSPORMATIE(ue, ueg, a, b);
ABSPTXT(3, 0, en);
SPACE(5);
  for j:= 1 step 1 until 6 do
    begin float(5, 3, ue[j]); SPACE(5) end;
    eps[1] := ueg[4] - ueg[1];
    eps[2] := (ueg[2] - ueg[5])/LEN[en] - ueg[3];
    eps[3] := (-ueg[2] + ueg[5])/LEN[en] + ueg[6];
    STEP[E, I, en], F[en], LEN[en], S);
    for j:= 1, 2, 3 do S[en, j] := 0;
    for j:= 1, 2, 3 do for k:= 1, 2, 3 do S[en, j] + S[j, k] x eps[k];
    GDM(LEN[en], S[en, 1], S[en, 2], S[en, 3], G1, G2, G3, Gtot, a, b, c, d, e, f);
    KONSTRUKTIE(en, Gtot, Ie, Imp, Gkon);
  CARRIAGE(2);
end;
for i:= 2 step 1 until T do for j:= 1 step 1 until i - 1 do Gkon[i, j] := Gkon[j, i];
CARRIAGE(5);
PRINTTEXT(⟨de belastingsvectoren van de elementen --- N --- M1 --- M2 --- ⟩);
CARRIAGE(2);
GENERAL EIGEN VALUE PROBLEM(T, Gkon, Gkon, lambda, X, 1, T, non definite, eigenvectoren = 1);
  if eigenvectoren = 1 then
    begin CARRIAGE(5);
      PRINTTEXT(⟨de eigenvectoren van de constructie⟩); CARRIAGE(2);
      URW(X, 1, T, 1, T); CARRIAGE(5);
    end;
  for j:= 1 step 1 until T do
    begin if an = 1 then
      begin PRINTTEXT(⟨eigenwaarde lambda = ⟩); FLOAT(5, 3, lambda[j]);
        PK := 1/lambda[j]; SPACE(5);
        PRINTTEXT(⟨de vermenigvuldigingsfactor = ⟩); FLOAT(5, 3, PK); CARRIAGE(2);
      end;
    end;
  if abs(lambda[1]) > abs(lambda[T]) then PK := 1/lambda[1] else PK := 1 / lambda[T];
  CARRIAGE(5); PRINTTEXT(⟨de kleinste vermenigvuldigingsfactor = ⟩); FLOAT(5, 3, PK);
  for i := 1 step 1 until T do f[i] := -f[i] x PK;
  CARRIAGE(5); PRINTTEXT(⟨De knikbelasting van de constructie = ⟩);
  CARRIAGE(2);
  UITVOERPTOT(N, f, Imp);
end;
end; goto KINDE;
non definite: PRINTTEXT(⟨strijheidsmatrix van de constructie is niet positief definit⟩);
KINDE:
end;
progend

```

Zwoervolgorde programma 05064355

"Stabiliteit waarin het effect van het moment is  
meegenomen."

$N$  = aantal knooppunten

$N_e$  = aantal elementen

$E$  = elasticiteitsmodulus

$kest$  = variabelen die gebruikt wordt voor hulpuitvoer, is niet  
in het definitieve programma gebruikt.

$Q_n = 1$  dan worden de eigenwaarden uitgevoerd.  
eigenvectoren = 1 dan uitvoer van de eigenvectoren.

- : inlezen knooppuntcoördinaten

keuze = 1 cirkelvormige dwars doorsnede

per element inlezen:  $d[i]$  = diameter

keuze = 2 rechthoekige dwars doorsnede  $b > h$

inlezen:  $b[i]$  = breedte element  $i$

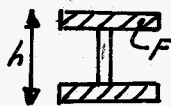
$h[i]$  = hoogte element  $i$

keuze = 3 rechthoekige dwars doorsnede  $b < h$

inlezen  $b[i]$  = breedte element  $i$

$h[i]$  = hoogte element  $i$

keuze = 4 elementen hebben de volgende dwars doorsnede.



$$I = 1. \frac{b^2 F}{4}$$

$F[i]$  = oppervlakte element  $i$

$h[i]$  = hoogte element  $i$

keuze = 5 Willekeurige dwars doorsnede:

$F[i]$  = oppervlakte element  $i$

$I[i]$  = oppervlakte traagheid.

Het op de bekende wijze vullen van de knop. vektor.

$ao$  = aantal knooppunten met voorgeschreven verplaatsigen

$n$  = knooppuntnummer

$av$  = aantal voorgeschreven verplaatsigen

$v$  = richting voorgeschreven verplaatsiging

Inlezen van de le-vektor.

Vullen van de belastingsvektor